

Rivero Sánchez
Gabriel Gerardo

Software interactivo para la simulación del
patrón de radiación de una antena Helicoidal

2026



Universidad Autónoma de
Querétaro

Facultad de Ingeniería

**Software interactivo para la
simulación del patrón de radiación de
una antena Helicoidal**

Tesis

Que como parte de los requisitos para obtener el
Grado de

Licenciado en

Ingeniería Física.

Presenta

Rivero Sánchez Gabriel Gerardo

Dirigido por:

Dr. Aldrin Melitón Cervantes Contreras.

Querétaro, Qro. Mayo de 2026.

La presente obra está bajo la licencia:
<https://creativecommons.org/licenses/by-nc-nd/4.0/deed.es>



CC BY-NC-ND 4.0 DEED

Atribución-NoComercial-SinDerivadas 4.0 Internacional

Usted es libre de:

Compartir — copiar y redistribuir el material en cualquier medio o formato

La licenciante no puede revocar estas libertades en tanto usted siga los términos de la licencia

Bajo los siguientes términos:



Atribución — Usted debe dar [crédito de manera adecuada](#), brindar un enlace a la licencia, e [indicar si se han realizado cambios](#). Puede hacerlo en cualquier forma razonable, pero no de forma tal que sugiera que usted o su uso tienen el apoyo de la licenciante.



NoComercial — Usted no puede hacer uso del material con [propósitos comerciales](#).



SinDerivadas — Si [remezcla, transforma o crea a partir](#) del material, no podrá distribuir el material modificado.

No hay restricciones adicionales — No puede aplicar términos legales ni [medidas tecnológicas](#) que restrinjan legalmente a otras a hacer cualquier uso permitido por la licencia.

Avisos:

No tiene que cumplir con la licencia para elementos del material en el dominio público o cuando su uso esté permitido por una [excepción o limitación](#) aplicable.

No se dan garantías. La licencia podría no darle todos los permisos que necesita para el uso que tenga previsto. Por ejemplo, otros derechos como [publicidad, privacidad, o derechos morales](#) pueden limitar la forma en que utilice el material.



Universidad Autónoma de
Querétaro
Facultad de Ingeniería
Licenciatura en Ingeniería Física

Software interactivo para la simulación del patrón de radiación de una antena Helicoidal

Tesis

Que como parte de los requisitos para obtener el Grado de
Licenciado en Ingeniería Física.

Presenta

Rivero Sánchez Gabriel Gerardo

Dirigido por

Dr. Aldrin Melitón Cervantes Contreras

Dr. Aldrin Melitón Cervantes Contreras.
Presidente

Dr. Marco Antonio Aceves Fernández.
Secretario

Dr. Josué de Jesús Trejo Alonso.
Vocal

Dr. Alberto Hernández Almada.
Vocal

Centro Universitario, Querétaro, Qro. México
Fecha de aprobación por el Consejo Universitario Mayo de 2026.

Dedicatoria

Este trabajo está dedicado especialmente a mi familia (Judith, Belén, Gerardo, Yaqueline y Pueblito), por formarme en los valores de la perseverancia, la gratitud, el respeto y la resiliencia.

A mis amigos (Daniel, Emilio, Miguel, Vanessa, Isabel, Marín y Luis), por su compañía y atención a lo largo de años difíciles.

A la propia vida y a mi etapa en la física, que me enseñaron la ética personal, la humildad de reconocer mi propia ignorancia y la obsesión por sumergirme en lo desconocido con el fin de alcanzar el conocimiento.

“Si quieres encontrar los secretos del universo, piensa en términos de energía, frecuencia y vibración”.

— Nikola Tesla

Agradecimientos

Quiero agradecer a la Universidad Autónoma de Querétaro por brindarme la oportunidad de realizar este trabajo. Agradezco especialmente al director de esta tesis, el Dr. Aldrin Melitón Cervantes Contreras, por el seguimiento, las observaciones y las correcciones realizadas a lo largo del desarrollo del proyecto. Asimismo, agradezco a los profesores Dr. Aceves Fernández, Dr. Trejo Alonso y Dr. Almada por fungir como sinodales de este trabajo.

Resumen

El presente trabajo analiza la formación de los patrones de radiación de una antena helicoidal a partir del estudio de las ondas electromagnéticas. Con el objetivo de facilitar la comprensión de este fenómeno, se desarrolló software especializado que permite la visualización y análisis del comportamiento del patrón de radiación bajo distintas condiciones.

Abstract

This thesis analyzes the formation of radiation patterns in a helical antenna based on the study of electromagnetic waves. In order to facilitate understanding of this phenomenon, specialized software was developed that allows visualization and analysis of radiation pattern behavior under different conditions.

Índice

Índice de figuras

Índice de cuadros	1
1. Introducción	2
1.1 Descripción del problema.	2
1.2 Justificación.	2
1.3 Planteamiento.	3
1.4 Hipótesis.	3
1.5 Objetivo General.	3
1.6 Objetivos Específicos.	3
2. Antecedentes	4
2.1 Sobre radiación.	4
2.1.1 Frecuencia y longitud de onda.	4
2.1.2 Espectro electromagnético.	5
2.1.3 Tipos de radiación.	6
2.2 Antenas.	6
2.2.1 Conceptos básicos.	7
2.2.2 ¿Cómo se forma una antena y cuáles son sus regiones? . . .	7
2.2.3 ¿Cómo sería una antena ideal?	9
2.2.4 Sobre satélites.	9
2.2.5 ¿Qué es el patrón de radiación?	11
2.2.6 ¿Cuál es la importancia y el uso de la radiación?	13
2.3 Análisis matemático de la radiación.	15
2.3.1 Tiempo retardado.	15
2.3.2 Potenciales retardados.	15
2.3.3 ¿Cómo se trabaja la radiación?	16
2.3.4 Potencia	18
2.4 Parámetros Fundamentales de una Antena	18
2.4.1 Directividad y ganancia.	19
2.4.2 Ancho de haz de media potencia (HPBW).	20
2.4.3 Eficiencia y pérdidas.	22
2.4.4 Impedancia.	23
2.4.5 Polarización	24
3. Fundamentación teórica	27
3.1 ¿Por qué se emiten ondas electromagnéticas en la naturaleza? . . .	27
3.2 La antena helicoidal.	28
3.2.1 ¿Cómo es su geometría?	28
3.2.2 ¿Qué campos se obtuvieron?	28

3.2.3	¿Para qué está diseñada una antena helicoidal?	30
3.2.4	Componentes.	31
3.2.5	Circuito de un Sintonizador.	31
3.2.6	Relaciones de longitudes de onda.	33
3.3	Radiación y modos de transmisión en las hélices.	34
3.4	Deducción del patrón de radiación.	36
3.4.1	El principio de multiplicación.	36
3.4.2	Arreglo lineal de n fuentes isotrópicas con misma amplitud y espacio.	37
3.4.3	¿Cómo se llega a la antena helicoidal?	38
3.4.4	Caso 1 del patrón de la helicoide.	39
3.4.5	¿Por qué existen diferentes condiciones para deducir la velocidad de fase?	40
3.4.6	Caso 2 del patrón de la helicoide.	41
3.4.7	Variaciones en la impedancia.	42
3.4.8	Caso 3 del tratamiento de la helicoide.	43
4.	Metodología	44
4.1	Enfoque general de la metodología	44
4.2	Herramientas computacionales empleadas	44
4.3	Arquitectura general del simulador	45
4.4	Simulación del patrón de manera general	47
4.5	Simulación del patrón en modo de Transmisión 1	50
4.6	Modelo basado en circuito RLC	53
4.7	Simulación acoplada: patrón de radiación y circuito RLC	56
4.8	Validación y alcance del modelo	58
4.9	Consideraciones finales de implementación	59
5.	Resultados y discusión	60
5.1	¿Por qué es relevante una simulación?	60
5.1.1	Precios de un software en el mercado.	60
5.1.2	Los softwares de libre uso.	61
5.1.3	La necesidad de tener nuestro propio software.	62
5.2	Sobre el software.	63
5.3	Larmor.	68
5.4	Validación contra la teoría.	69
5.4.1	A mayor número de vueltas, el patrón se estrecha.	69
5.4.2	A mayor modo de transmisión mayor tamaño y lóbulos.	70
5.4.3	El patrón tiene deformaciones fuera de rango de α	72
5.4.4	¿Qué sucede al variar la circunferencia?	75
5.4.5	El primer modo de transmisión y las variaciones de C/λ	76
5.4.6	¿Qué sucede al hacer cambios de voltaje?	78
5.4.7	¿Qué sucede al cambiar la corriente?	79

5.4.8	¿Qué sucede al el flujo magnético?	80
5.4.9	¿Cómo varía el patrón si se somete a cambios de voltaje?	81
5.4.10	¿Cómo varía el patrón si se somete a cambios de corriente?	82
5.4.11	¿Cómo varía el patrón si se somete a cambios de flujo?	83
5.4.12	Variaciones con el potenciómetro.	84
6.	Conclusiones	85
	Referencias bibliográficas	86
7.	Anexo I.	91
7.1	Código principal.	91

Índice de figuras

1	Usos de frecuencia en la tecnología (Side, 2021).	5
2	Espectro electromagnético (Voices and Voices, 2024).	6
3	La antena es una región de transición entre una guía de onda de transmisión lineal y el espacio libre de onda (Kraus, 1950).	8
4	Región de antena, región de Fresnel y región de Fraunhofer (Kraus, 1950).	8
5	Cómo se ve una antena en el espacio (NASA, 2023).	10
6	Órbita de una antena satelital (NASA, 2023).	10
7	Sistema de coordenadas para análisis de antenas (Balanis, 2005).	11
8	Lóbulos de radiación y anchos de haz de un patrón de antena (Balanis, 2005).	12
9	Patrón de radiación de una fuente isotrópica en 3D programada en Python (autoría propia).	12
10	Patrón de radiación de un dipolo en 3D programada en Python (autoría propia).	13
11	Parámetros para campos retardados (Pérez Navarro, 2011).	16
12	Zonas de radiación en electromagnetismo (autoría propia).	17
13	Descripción de lóbulos en el patrón de radiación World (2023).	20
14	¿Cómo se ve HPBW? (RF, 2023).	21
15	Intensidad de radiación en función del ángulo θ en decibeles, mostrando la referencia de -3 dB para determinar el HPBW (RF, 2023).	22
16	Diagrama de una antena con impedancia Z_T de incidencia de onda plana sobre la antena y su circuito correspondiente (Kraus, 1950).	23
17	Representación de la polarización en la esfera de Poincaré (Balanis, 2005).	24
18	Tipos de polarización.	24
19	Absorción, emisión espontánea, emisión estimulada (Mitofsky, 2025).	27
20	Representación gráfica del helicoide con la superficie reglada generada por una línea recta que se desliza helicoidalmente alrededor de un eje (autoría propia).	29

21	Regiones de los diferentes modos de operación (Kraus, 1950).	34
22	Distribuciones de carga en la helicoide (Kraus, 1950).	35
23	Patrones multilóbulos y cónicos (Kraus, 1950).	36
24	Arreglo lineal de n fuentes isotrópicas (Kraus, 1950).	37
25	Descripción geométrica de la helicoide (Kraus, 1950).	38
26	Helicoide con condiciones de frontera (Kraus, 1950).	41
27	Diagrama de flujo acerca del software (autoría propia).	46
28	Diagrama de flujo acerca de la opción 1 (autoría propia).	48
29	Diagrama de flujo acerca de la opción 2 (autoría propia).	51
30	Diagrama de flujo acerca de la opción 3 (autoría propia).	53
31	Circuito RLC equivalente utilizado en el módulo de diseño (Diagram, 2026).	55
32	Diagrama de flujo acerca de la opción 4 (autoría propia).	56
33	Interfaz del programa con 4 opciones (autoría propia).	63
34	Opción 1 del programa.	64
35	Opción 2 del programa, simulación (autoría propia).	65
36	Opción 3 del programa.	66
37	Opción 4 del programa.	67
38	Larmour simulado con parámetros específicos (autoría propia).	68
39	Comparación del patrón de radiación de la antena helicoidal para diferentes números de vueltas en el modo de transmisión $m = 1$ (autoría propia).	69
40	Comparación del patrón de radiación de la antena helicoidal con diferentes modos de transmisión parte 1 (autoría propia).	70
41	Comparación del patrón de radiación de la antena helicoidal con diferentes modos de transmisión parte 2 (autoría propia).	71
42	Comparación del patrón de radiación de la antena helicoidal variando el ángulo parte 1 (autoría propia).	72
43	Comparación del patrón de radiación de la antena helicoidal variando el ángulo parte 2 (autoría propia).	73
44	Comparación del patrón de radiación de la antena helicoidal variando el ángulo parte 3 (autoría propia).	74
45	Comparación del patrón de radiación de la antena helicoidal variando la circunferencia (autoría propia).	75
46	Comparación del patrón de radiación de la antena helicoidal variando C/λ parte 1 (autoría propia).	76
47	Comparación del patrón de radiación de la antena helicoidal variando C/λ parte 2 (autoría propia).	77
48	Resultados al variar el voltaje para una antena helicoidal con 5 vueltas, $\alpha = 14^\circ$, $\Phi = 2.3 \times 10^{-7}$ Wb e $I = 0.8$ A (autoría propia).	78
49	Resultados al variar la corriente para una antena helicoidal con 5 vueltas, $\alpha = 14^\circ$, $\Phi = 2.3 \times 10^{-7}$ Wb y $V = 150$ V (autoría propia).	79

50	Resultados al variar el flujo magnético para una antena helicoidal con 5 vueltas, $\alpha = 14^\circ$, $I = 0.8 \text{ A}$ y $V = 150 \text{ V}$ (autoría propia).	80
51	Cambios del patrón de radiación con variaciones de voltaje (autoría propia).	81
52	Cambios del patrón de radiación con variaciones de corriente (autoría propia).	82
53	Cambios del patrón de radiación con variaciones de flujo (autoría propia).	83
54	Cambios del patrón de radiación con variaciones en el potenciómetro (autoría propia).	84

Índice de cuadros

1	Clasificación de las bandas de frecuencia según la ITU (Rajib, 2025).	5
---	---	---

1.. Introducción

1.1. Descripción del problema.

Normalmente, resulta complejo visualizar el cómo se ve la emisión de radiación. Se requiere de herramientas visuales que normalmente hacen uso de softwares que requiere de un pago, normalmente excesivo, para poder hacer un análisis investigativo en lo que se refiere al electromagnetismo. Por lo que, se requiere ampliamente una herramienta de amplio alcance para la comunidad estudiantil para que se pueda entender de manera visual e intuitiva el funcionamiento de las antenas (en este caso las Helicoidales).

Para la actualidad académica se necesita de una herramienta que no limite la comprensión de este tipo de fenómenos que son de suma importancia en esta era tecnológica. El problema a abordar radica en poder analizar un entorno gráfico (con ayuda de python) para observar de manera tridimensional el espectro de radiación de una antena Helicoidal para dar una alternativa de análisis en la didáctica de este tipo de comportamiento.

1.2. Justificación.

Lo que motivó su ejecución e investigación fue el hecho de que los softwares existentes en el mercado para la explicación de patrones de radiación no proporcionan una comprensión clara de los fundamentos que hay detrás de los resultados. La razón principal de este trabajo es ofrecer un código de libre acceso y uso, que pueda ser modificado por cualquier persona según sus necesidades, además de explicar el proceso necesario para llegar a este tipo de solución. Otro de sus fines es que pueda ser utilizado como una herramienta de visualización y análisis de fenómenos electromagnéticos. Por esta razón, se decidió abordar el tema con mayor rigor académico, con la finalidad de aportar una contribución relevante a la didáctica de las antenas.

La elección de una antena helicoidal, y no de otro tipo, se debe a su gran valor dentro del campo de las telecomunicaciones, debido a sus características geométricas y físicas. Su análisis resulta conveniente, ya que permite integrar diversos conceptos del electromagnetismo, como la propagación de ondas, la geometría tridimensional y el comportamiento de la radiación. Por ello, contar con una herramienta visual facilita su comprensión. Su propósito no solo es didáctico, sino también permitir observar de manera clara cómo se desarrollan estos procesos.

Por otro lado, es importante señalar que el desarrollo de un software de código abierto es de gran relevancia, ya que permite realizar modificaciones y adaptaciones según las necesidades de cada usuario. Esto no pretende desvalorizar el trabajo de los softwares existentes en el mercado ni de aquellos de libre uso. Sin embargo, contar con un desarrollo propio reduce costos, evita el pago de licencias y elimina la necesidad de someterse a las políticas de cada empresa.

Además, este tipo de herramienta permite su optimización e integración con nuevos modelos, dependiendo del tipo de antena que se desee analizar. A diferencia de algunos

softwares de libre uso, que no explican el trasfondo de los diseños ni el funcionamiento de la teoría electromagnética, esta propuesta busca aportar claridad en dichos procesos.

De esta manera, se establece un cimiento hacia la independencia tecnológica, tanto para los estudiantes como para cualquier persona interesada en comprender y aprender estos conceptos.

1.3. Planteamiento.

Se propone hacer un estudio de antenas, con la finalidad de llegar al tipo Helicoidal, en el cual se pueda comprender la geometría y emisión del espectro de radiación. Por lo que se plantea desarrollar un software que permita el aprendizaje práctico con la inserción de parámetros físicos. Se requiere que este modelo visualice y analice el patrón de radiación de la antena de manera tridimensional con el uso de herramientas de programación en Python.

1.4. Hipótesis.

El desarrollo de un software interactivo permitirá simular el patrón de radiación de una antena helicoidal en función de sus parámetros, obteniendo resultados consistentes con la teoría electromagnética y facilitando su análisis y comprensión en un entorno académico.

1.5. Objetivo General.

Desarrollar una simulación del espectro de radiación de una antena helicoidal que permita insertar parámetros mediante una interfaz gráfica interactiva en Python, con el fin de facilitar la enseñanza y el análisis del diseño en telecomunicaciones.

1.6. Objetivos Específicos.

- Analizar la literatura de electromagnetismo hasta el desarrollo de las antenas helicoidales.
- Desarrollar una simulación que permita visualizar el comportamiento del campo radiado.
- Representar el patrón de radiación con ayuda de Python.
- Comparar la simulación teórica con los resultados obtenidos de cálculos propios.
- Diseñar una interfaz gráfica que permita modificar los parámetros de la antena y observar su efecto en tiempo real.

2.. Antecedentes

2.1. Sobre radiación.

El estudio de la radiación electromagnética constituye la base para comprender el funcionamiento de las antenas, ya que describe cómo la energía es generada, propagada y distribuida en el espacio. En este contexto, es necesario introducir los conceptos fundamentales que permiten caracterizar las ondas electromagnéticas, así como su clasificación dentro del espectro y los distintos tipos de radiación. Estos elementos proporcionan el marco teórico indispensable para analizar el comportamiento del campo radiado en aplicaciones de telecomunicaciones.

2.1.1. Frecuencia y longitud de onda.

Para describir cualquier onda electromagnética es necesario definir dos magnitudes fundamentales: la frecuencia y la longitud de onda. La frecuencia f representa el número de oscilaciones completas (ciclos) que realiza la onda por unidad de tiempo y se mide en hercios (Hz), donde 1 Hz equivale a un ciclo por segundo. La longitud de onda λ es la distancia mínima entre dos puntos de la onda que se encuentran en el mismo estado de vibración (por ejemplo, entre dos crestas consecutivas).

Ambas magnitudes están relacionadas con la velocidad de propagación de la onda. En el vacío, todas las ondas electromagnéticas viajan a la velocidad de la luz $c = 3 \times 10^8$ m/s (Young and Freedman, 2018), cumpliendo la relación expresada en la ecuación 1:

$$c = f\lambda \tag{1}$$

Esta ecuación muestra que frecuencia y longitud de onda son inversamente proporcionales: a mayor frecuencia, menor longitud de onda, y viceversa.

Como ejemplos cotidianos, un router de Wi-Fi opera típicamente en frecuencias de 2.4 GHz o 5 GHz, mientras que una estación de radio FM transmite alrededor de 0.1 GHz (Greiner, 2015).

La Unión Internacional de Telecomunicaciones (ITU) clasifica las bandas de frecuencia utilizadas en tecnología y comunicaciones, como se muestra en la Tabla 1.

Tabla 1: Clasificación de las bandas de frecuencia según la ITU (Rajib, 2025).

Nombre	Abreviatura inglesa	Banda ITU	Frecuencias	Longitud de onda
Extra baja frecuencia	ELF	1	Inferior a 3 Hz	más de 100 000 km
Súper baja frecuencia	SLF	2	3–30 Hz	100 000–10 000 km
Ultra baja frecuencia	ULF	3	30–300 Hz	10 000–1 000 km
Muy baja frecuencia	VLf	4	300–3 000 Hz (3–30 kHz)	1 000–100 km
Baja frecuencia	LF	5	30–300 kHz	100–1 km
Media frecuencia	MF	6	300–3 000 kHz	1 km–100 m
Alta frecuencia	HF	7	3–30 MHz	100–10 m
Muy alta frecuencia	VHF	8	30–300 MHz	10–1 m
Ultra alta frecuencia	UHF	9	300–3 000 MHz	1 m–100 mm
Súper alta frecuencia	SHF	10	3–30 GHz	100–10 mm
Extra alta frecuencia	EHF	11	30–300 GHz	10–1 mm
Por encima de los 300 GHz	–	–	Mayor a 300 GHz	menos de 1 mm

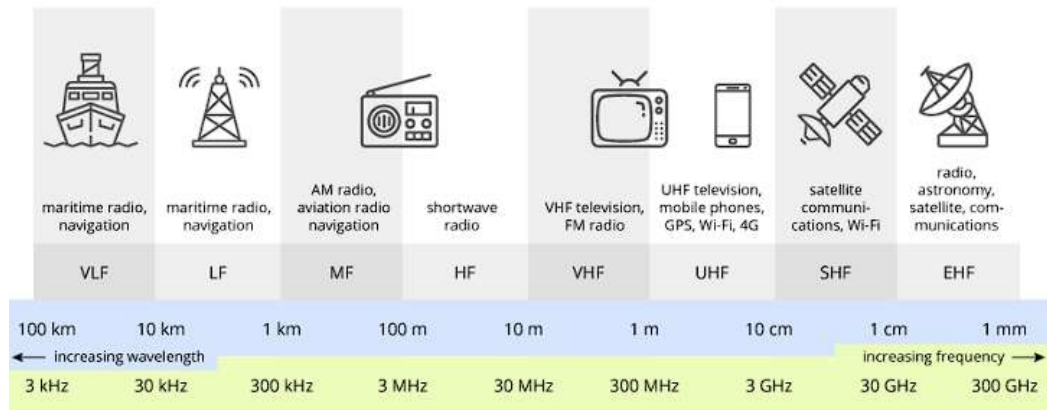


Figura 1: Usos de frecuencia en la tecnología (Side, 2021).

La Tabla 1 muestra la clasificación de las frecuencias y sus correspondientes longitudes de onda, mientras que la Figura 1 ilustra algunas aplicaciones tecnológicas de estas bandas.

2.1.2. Espectro electromagnético.

La radiación electromagnética abarca un amplio rango de frecuencias y longitudes de onda conocido como espectro electromagnético. Este espectro se divide en distintas regiones que, de menor a mayor frecuencia (o de mayor a menor longitud de onda), incluyen: ondas de radio, microondas, infrarrojo, luz visible, ultravioleta, rayos X y rayos gamma. Cada región posee propiedades características y aplicaciones específicas en ciencia y tecnología (Fontal et al., 2005).

Como se observa en la Figura 2, el espectro electromagnético se extiende desde ondas de radio (baja frecuencia, gran longitud de onda) hasta rayos gamma (alta frecuencia, longitud de onda muy pequeña). La luz visible, que es la región perceptible

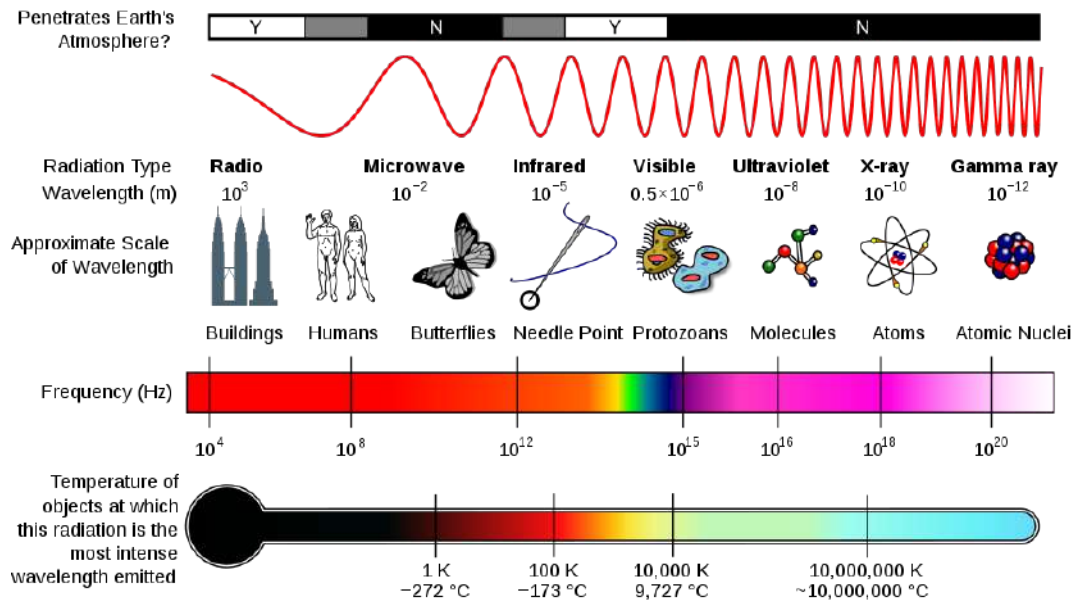


Figura 2: Espectro electromagnético (Voices and Voices, 2024).

2.1.3. Tipos de radiación.

La radiación se puede clasificar en tres tipos principales según la naturaleza de las partículas o fotones emitidos (Hoyt, 1958):

- Radiación α :** Consiste en núcleos de helio (dos protones y dos neutrones) emitidos a altas velocidades. Tienen baja capacidad de penetración y alta capacidad de ionización.
- Radiación β :** Son electrones (o positrones) de alta velocidad emitidos desde el núcleo de átomos radiactivos. Tienen mayor poder de penetración que las partículas α .
- Radiación γ :** Son fotones de alta energía, similares a los rayos X pero de origen nuclear. Corresponden a la radiación electromagnética más energética del espectro.

Finalmente, para la producción de ondas electromagnéticas es fundamental recordar que una carga eléctrica en reposo crea un campo eléctrico, mientras que una carga en movimiento (acelerada) crea un campo magnético y, cuando oscila, produce radiación electromagnética que se propaga en el espacio (Pérez Navarro, 2011).

2.2. Antenas.

En esta sección se abordan los fundamentos de las antenas, elementos esenciales en el estudio y aplicación de la radiación electromagnética. Se presentan los conceptos

básicos, su funcionamiento, así como sus principales características y aplicaciones en sistemas de comunicación (Kraus, 1950; Pozar, 2012; Balanis, 2005).

2.2.1. Conceptos básicos.

Kraus (1950) y Pozar (2012) ofrecen las siguientes definiciones útiles:

- La línea de transmisión es un dispositivo para transmitir o ganar energía de radiofrecuencia de un punto a otro.
- La guía de onda es cuando la onda pasa a través de una larga línea de forma unidimensional y no se difunde fuera del espacio.
- La onda estacionaria es la interferencia entre la onda incidente y la reflejada.
- El resonador es el dispositivo que genera ondas estacionarias.
- La cavidad del resonador es el flujo guiado de entrada y salida; no interviene en una sección corta de circuito de guía de onda.

Mientras que Huidobro (2013) establece las siguientes definiciones:

- Ancho de banda es un margen de las frecuencias.
- Directividad se puede describir como la potencia que tiene la onda en su dirección.
- La ganancia es la directividad aplicada pero a una distancia R .
- El rendimiento de la antena se ve en la relación entre potencia de radiación y la potencia total.
- La impedancia es la relación entre voltaje y corriente de una onda viajera.
- La anchura del haz es un intervalo angular en el que la densidad de potencia radiada es igual a la mitad de la máxima.
- La polarización es una dirección que traza la geometría del \vec{E} .

2.2.2. ¿Cómo se forma una antena y cuáles son sus regiones?

Podemos definir a una antena como aquella estructura transicional entre el espacio libre y un dispositivo de guía (la cual adopta la forma de una línea coaxial o un tubo, como se muestra en las Figuras 3 y 4). La antena sirve tanto para recibir como para transmitir energía electromagnética (Balanis, 2005).

Como se muestra en la Figura 3, el proceso de radiación inicia en una fuente de radiofrecuencia que genera una onda viajera a través de una línea de transmisión. Al llegar a la región de transición, correspondiente a la antena, esta onda deja de

estar confinada y se convierte en una onda que se propaga en el espacio libre. En esta zona, la energía guiada se transforma en radiación electromagnética, lo que permite la transmisión de señales a largas distancias.

Por otro lado, la Figura 4 ilustra las distintas regiones espaciales asociadas a una antena. En la región cercana o de Fresnel, los campos eléctricos y magnéticos presentan variaciones complejas y aún no forman un patrón de radiación definido. A medida que la distancia aumenta, se alcanza la región lejana o de Fraunhofer, donde las ondas se comportan de manera más uniforme y el patrón de radiación se estabiliza, permitiendo su análisis mediante aproximaciones más simples. La frontera entre ambas regiones depende de las dimensiones características de la antena y de la longitud de onda de operación (Kraus, 1950).

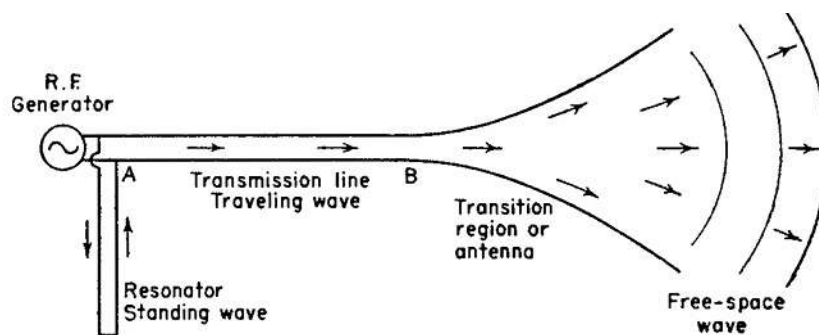


Figura 3: La antena es una región de transición entre una guía de onda de transmisión lineal y el espacio libre de onda (Kraus, 1950).

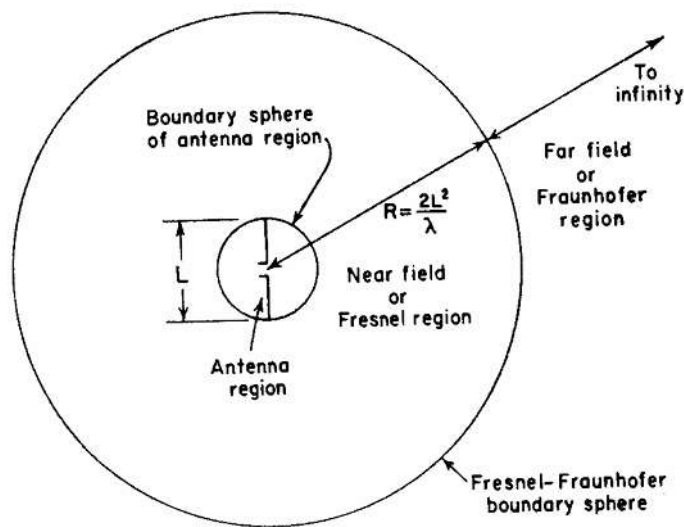


Figura 4: Región de antena, región de Fresnel y región de Fraunhofer (Kraus, 1950).

Las condiciones necesarias para la obtención de radiación son las siguientes. El mecanismo de radiación ocurre gracias al uso de cables conductores que serán el medio

por el cual las cargas eléctricas fluyen. Para que exista la radiación se debe hacer uso de la aceleración o desaceleración de cargas, o hacer que las cargas tengan una oscilación armónica (Balanis, 2005):

- a. Si la carga no se desplaza, no hay radiación.
- b. Si la carga se desplaza con velocidad uniforme:
 - No hay radiación si es en un alambre recto e infinito.
 - Sí hay radiación si es en un alambre curvado, doblado, discontinuo o trunco.
- c. Hay radiación si la carga oscila en movimiento armónico.

2.2.3. ¿Cómo sería una antena ideal?

La antena ideal es la de tipo isotrópica, que transmite energía de forma uniforme en todas direcciones. Sin embargo, en la teoría no es realizable, ya que existen pérdidas y no existe la transmisión perfecta. Se usa como concepto de referencia para evaluar las antenas (Kraus, 1950).

Esta antena hipotética, en el espacio libre, irradia energía de manera uniforme en todas direcciones. El flujo de la energía radiada por unidad de tiempo y de área se conoce como el vector de Poynting, expresado en la ecuación 2 (Kraus, 1950):

$$\vec{S} = \vec{E} \times \vec{H} \quad (2)$$

2.2.4. Sobre satélites.

Otra de las utilidades en las telecomunicaciones es el GPS, que se describe como una red de 24 satélites en órbitas de dos revoluciones por día; cuatro satélites comparten órbita y todos se posicionan a 55 grados de la línea ecuatorial. Operan a 1.575 GHz debido a que el agua en la atmósfera absorbe la radiación, por lo que deben superar los 1.228 GHz. Los satélites se ubican a cerca de los 35 786 km encima de la superficie (GPS, 2023; Kaplan, 2017), como se observa en las Figuras 5 y 6.

Como se observa en la Figura 5, las antenas en el espacio forman parte de sistemas satelitales que permiten la transmisión y recepción de señales electromagnéticas hacia la Tierra. Estas antenas, generalmente acopladas a satélites, están diseñadas para operar en condiciones de vacío y radiar energía de manera eficiente hacia regiones específicas del planeta, lo que posibilita aplicaciones como telecomunicaciones, navegación y monitoreo terrestre.

Por otro lado, la Figura 6 ilustra la trayectoria orbital de un satélite alrededor de la Tierra, así como la geometría involucrada en la transmisión de señales. En este contexto, los sistemas GPS se componen de una constelación de satélites distribuidos en órbitas específicas, lo que permite que un receptor en la superficie terrestre determine su posición mediante la recepción simultánea de señales de múltiples satélites. Este



Figura 5: Cómo se ve una antena en el espacio (NASA, 2023).

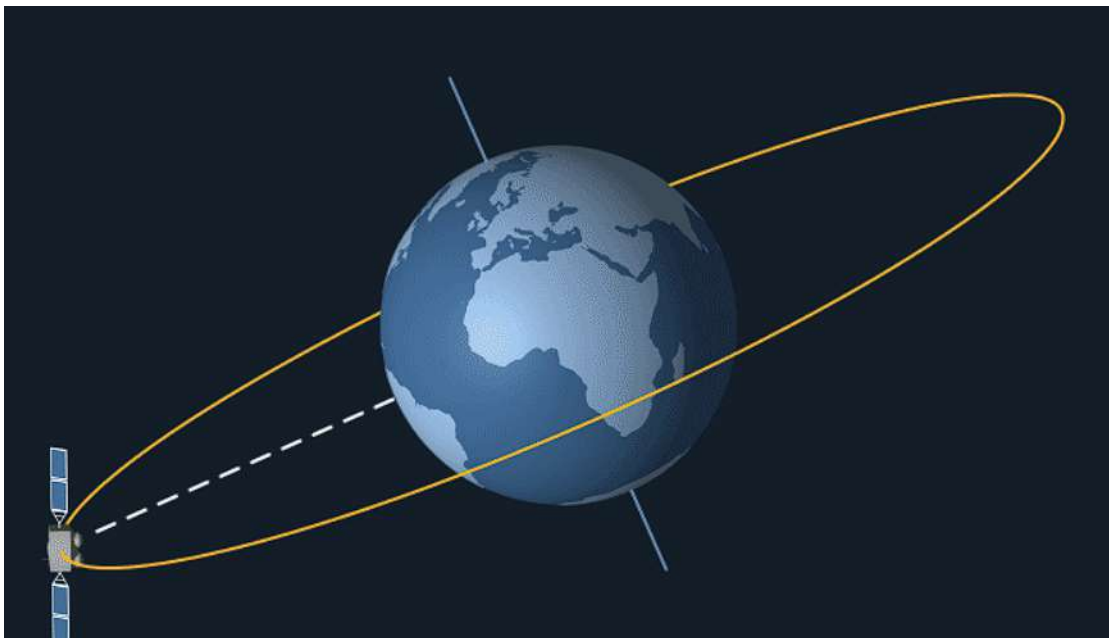


Figura 6: Órbita de una antena satelital (NASA, 2023).

proceso requiere al menos cuatro señales para obtener las tres coordenadas espaciales y la corrección temporal del sistema, lo que garantiza una localización precisa (GPS, 2023; Kaplan, 2017).

2.2.5. ¿Qué es el patrón de radiación?

Como se muestra en la Figura 7, el análisis del patrón de radiación de una antena se realiza comúnmente en un sistema de coordenadas esféricas, que permite describir la dirección de propagación de los campos electromagnéticos. En este sistema, la intensidad de radiación depende de la dirección, lo que da lugar a distribuciones no uniformes de energía en el espacio.

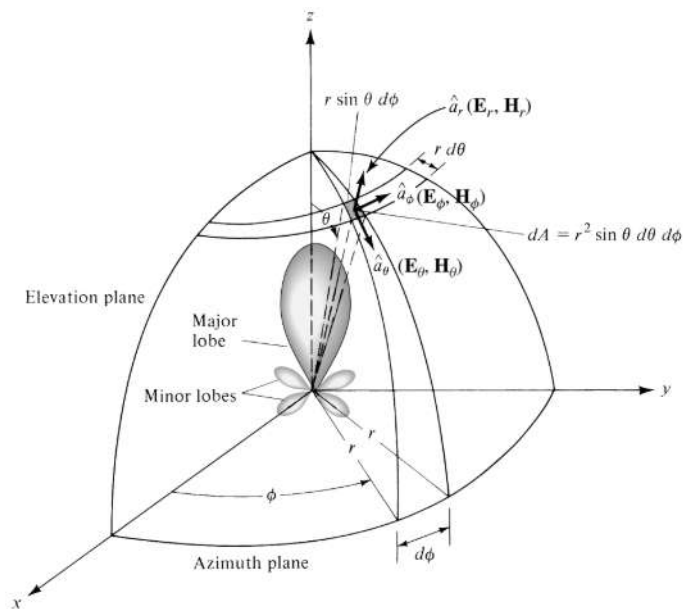


Figura 7: Sistema de coordenadas para análisis de antenas (Balanis, 2005).

Por otro lado, la Figura 8 presenta la forma típica de un patrón de radiación, donde se identifican los lóbulos principales y secundarios. El lóbulo principal indica la dirección en la que la antena radia la mayor cantidad de energía, mientras que los lóbulos secundarios representan radiación no deseada en otras direcciones. Asimismo, se definen parámetros importantes como el ancho de haz a media potencia (HPBW) y el ancho entre primeros nulos (FNBW), los cuales permiten caracterizar la directividad y el desempeño de la antena (Balanis, 2005).

El patrón de radiación es la forma en que una antena distribuye su potencia en el espacio y se define tomando como referencia una antena isótropa, que radia igual en todas direcciones. La relación entre la potencia radiada por la antena y la de la isótropa en una dirección se denomina ganancia directiva, expresada en dBi, cuyo valor máximo se conoce simplemente como ganancia (Fuentes, 2007).

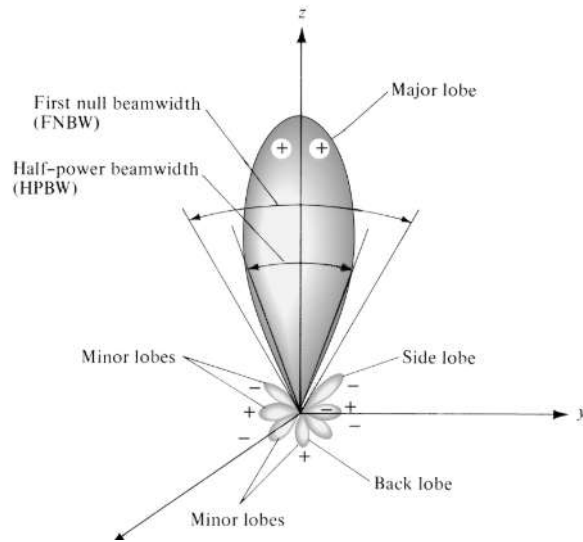


Figura 8: Lóbulos de radiación y anchos de haz de un patrón de antena (Balanis, 2005).

Normalmente, lo que se describe como patrón de radiación es la gráfica de campo eléctrico y magnético. Existen varias obtenciones de los campos dependiendo del tipo de configuraciones que se tengan. Algunos ejemplos son el de las fuentes isotrópicas y el del dipolo, que se forma como una dona.

Fuentes (2007) presenta los vectores de Poynting para este tipo de fuentes. Para una fuente isotrópica, el vector de Poynting promedio se expresa en la ecuación 3:

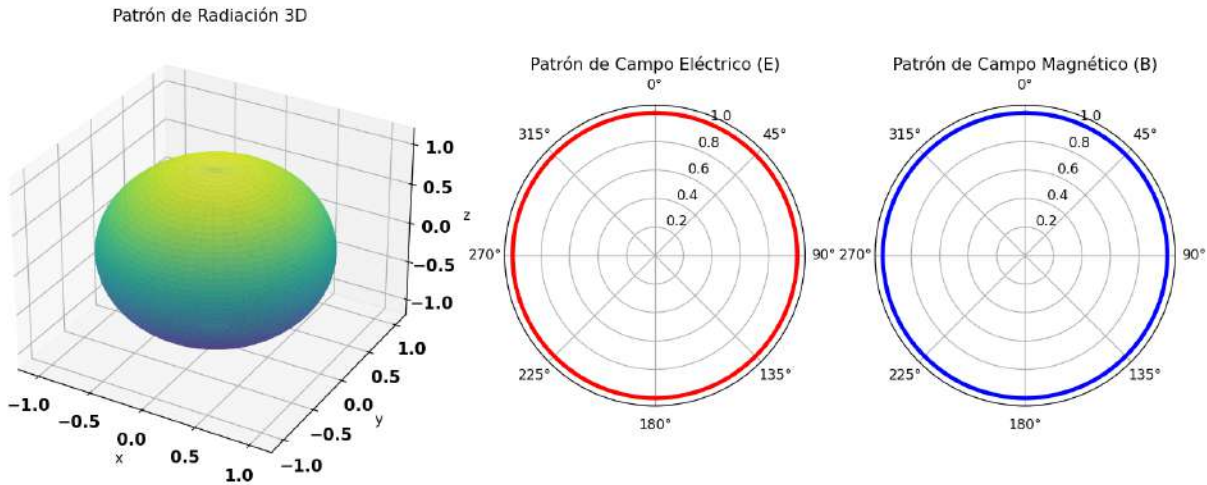


Figura 9: Patrón de radiación de una fuente isotrópica en 3D programada en Python (autoría propia).

$$\langle \vec{S} \rangle_{\text{iso}} = \frac{P_t}{4\pi r^2} \hat{r} \quad (3)$$

Para un dipolo eléctrico, el vector de Poynting promedio se expresa en la ecuación 4:

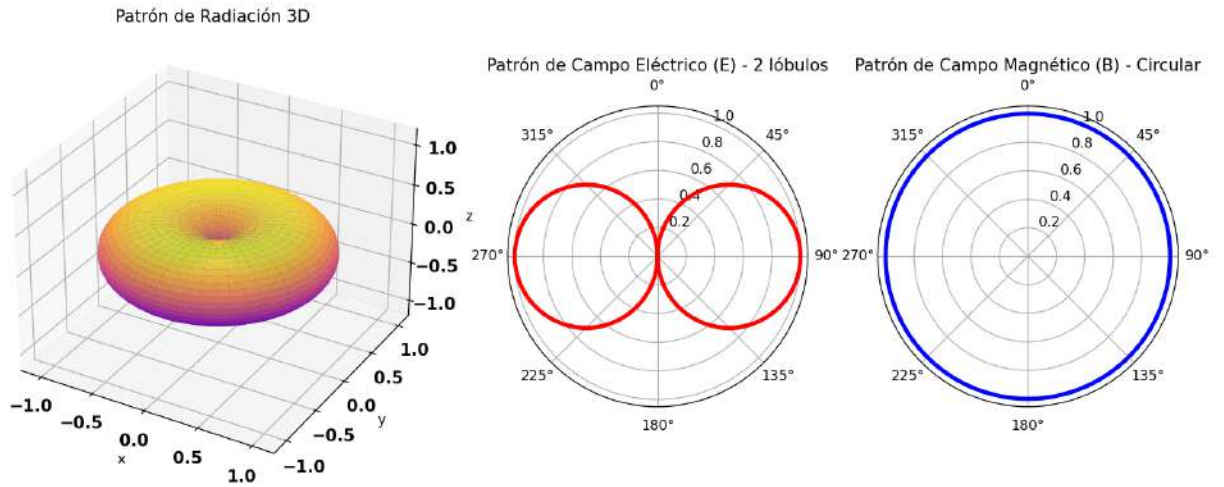


Figura 10: Patrón de radiación de un dipolo en 3D programada en Python (autoría propia).

$$\langle \vec{S} \rangle_{\text{Dipolo}} = \frac{3}{2} \frac{P_t}{4\pi r^2} \sin^2 \theta \hat{r} \quad (4)$$

Las Figuras 9 y 10 muestran los patrones de radiación tridimensionales obtenidos mediante simulación en Python para una fuente isotrópica y un dipolo eléctrico, respectivamente. En el caso de la fuente isotrópica (Figura 9), el patrón de radiación es esféricamente simétrico, lo que indica que la potencia radiada se distribuye por igual en todas las direcciones. Esto concuerda con la ecuación 3, cuya magnitud depende únicamente de la distancia r y no de los ángulos.

El vector de Poynting y el campo eléctrico son usados de la misma manera para hacer los patrones de radiación, siempre que r sea lo suficientemente grande para estar en la zona lejana del campo eléctrico (Kraus, 1950; Balanis, 2005). La razón matemática del porqué se hace uso de los campos eléctricos se fundamenta en la ecuación 5 (Griffiths, 2013):

$$\vec{S}_{\text{rad}} = \frac{1}{\mu_0 c} E_{\text{rad}}^2 \hat{r} \quad (5)$$

2.2.6. ¿Cuál es la importancia y el uso de la radiación?

Uno de los aparatos que usamos a diario y hace uso de la radiación electromagnética en la actualidad es el microondas.

- El horno de microondas, percibido desde 1946 como un accidente por parte de Percy Spencer al estar trabajando en investigaciones con el magnetrón, quien

notó que una barra de chocolate que tenía se había derretido. Funciona a partir de ondas electromagnéticas con longitud de onda entre 10^{-2} m y 10^{-3} m, donde las sustancias que tengan dipolos eléctricos verán oscilar sus partículas y se convertirán en calor. Funcionan con el magnetrón que convierte la energía eléctrica en ondas electromagnéticas (Fuentefría et al., 2011).

Otro ejemplo importante es la iluminación; las lámparas, los focos y el alumbrado hacen uso de la radiación electromagnética en el espectro visible (CONUEE, 2021).

El uso de los artefactos médicos es otro ámbito a considerar de importancia:

- La Resonancia Magnética, usada para observar estructuras internas del cuerpo con el uso de fuertes campos magnéticos y ondas de radiofrecuencia. Tiene un imán principal en el sistema de alrededor de 1.5 T a 3 T (Peña, 2025).
- Los rayos X, donde dependiendo la densidad del material por la que pasa se observan diferentes tonos en escala de grises. Huesos y metales aparecen en blanco; aire en pulmones en negro; grasa y músculos en diferentes tonalidades grisáceas (Mayo Clinic, sf).
- Los láseres de uso médico son utilizados para cirugía plástica, tratamientos de daño solar, tratamiento de acné, rejuvenecimiento, depilación láser, eliminación de tatuajes y tratamiento de lesiones vasculares (Martínez-Carpio and Trelles, 2010).

Para la ciencia y tecnologías actuales se pueden mencionar los aceleradores del CERN, computadoras y radares:

- Es importante señalar al físico Henri Becquerel, quien en 1896 descubrió la radiactividad de algunos átomos que emitían energía a partir de partículas y fotones. Se usó la descripción de radiación α , β y γ (Andrade, 1971).
- Rutherford, Marsden y Geiger usaron en 1911 las partículas α como proyectiles para verificar el modelo atómico de Thompson. La construcción de aceleradores requiere de una fuente de voltaje, fuente de iones y electrodos; se basa en la interacción de campos eléctricos sobre la carga de las partículas emitida por la fuente de iones (Andrade, 1971).

Además, el enfoque principal de esta tesis se encuentra en las comunicaciones, dado que se trabaja con antenas. Sus aplicaciones abarcan desde el internet inalámbrico hasta la radio, la televisión, los satélites y el GPS (Matan, 2023):

- Las antenas, así como el wifi, son capaces de recibir y emitir señales que se basan en unos y ceros. El funcionamiento de cualquier antena no es diferente (Brain et al., 2004).

- Las antenas son dispositivos diseñados para recibir o emitir ondas; su uso va también en los teléfonos, mandos y routers. El dipolo tiene la capacidad de captar energía para amplificarla (Huidobro, 2013).
- La energía que debe transmitirse debe serlo con la mayor eficiencia posible para el acoplamiento más óptimo. Se conoce que la línea de transmisión sirve para guiar los campos (Aznar et al., 2004).

2.3. Análisis matemático de la radiación.

La siguiente sección desarrolla la formulación matemática de la radiación electromagnética generada por una carga en trayectoria helicoidal. Para ello, se introduce en primer lugar el concepto de tiempo retardado. Posteriormente, se emplean los potenciales retardados para establecer la relación entre la dinámica de la carga y los campos radiados, lo que finalmente conduce a la expresión de la potencia emitida por el sistema.

2.3.1. Tiempo retardado.

En esta sección se siguen las explicaciones y formulaciones presentadas por Griffiths (2013) en su obra *Introduction to Electrodynamics* y por Pérez Navarro (2011).

Empecemos con que un dipolo no es más que la unión de una carga positiva y otra negativa a cierta distancia, donde se define al momento dipolar en la ecuación 6:

$$\vec{p} = q \vec{d} \quad (6)$$

Lo siguiente a mencionar es el tiempo retardado. Al desplazarse la carga, la información electromagnética no se transmite de manera instantánea, sino que se propaga con velocidad finita c . Sea \mathcal{R} la distancia entre la posición de la fuente en el instante de emisión y el punto de observación. Entonces, el tiempo que tarda la señal en propagarse está dado por la ecuación 7:

$$t_{\text{prop}} = \frac{\mathcal{R}}{c} \quad (7)$$

De esta manera, si t es el tiempo de observación y t_r el instante de emisión (tiempo retardado), ambos se relacionan como se expresa en la ecuación 8:

$$t_r = t - \frac{\mathcal{R}}{c} \quad (8)$$

2.3.2. Potenciales retardados.

El potencial escalar temporal se formula en la ecuación 9:

$$\Phi(\mathbf{r}, t) = \frac{1}{4\pi\epsilon_0} \int_V \frac{\rho(\mathbf{r}', t_r)}{|\mathbf{r} - \mathbf{r}'|} dV' \quad (9)$$

Mientras que el potencial vectorial se expresa en la ecuación 10:

$$\mathbf{A}(\mathbf{r}, t) = \frac{\mu_0}{4\pi} \int_V \frac{\mathbf{J}(\mathbf{r}', t_r)}{|\mathbf{r} - \mathbf{r}'|} dV' \quad (10)$$

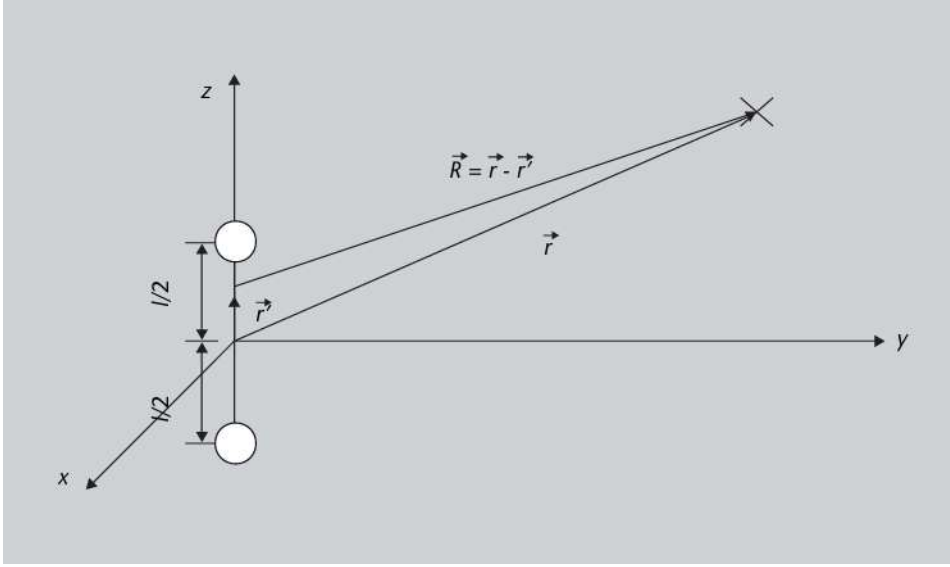


Figura 11: Parámetros para campos retardados (Pérez Navarro, 2011).

Al hablar de cargas puntuales, se llega a los potenciales de Liénard-Wiechert. El potencial vectorial se expresa en la ecuación 11 y el potencial escalar en la ecuación 12:

$$\mathbf{A}(\mathbf{r}, t) = \frac{\mu_0}{4\pi} \frac{q \mathbf{v}}{(1 - \hat{\mathcal{R}} \cdot \boldsymbol{\beta}) \mathcal{R}} = \frac{\mathbf{v}}{c^2} \phi \quad (11)$$

$$\phi(\mathbf{r}, t) = \frac{kq}{(1 - \hat{\mathcal{R}} \cdot \boldsymbol{\beta}) \mathcal{R}} = \frac{kqc}{\mathcal{R}c - \mathcal{R} \cdot \mathbf{v}} \quad (12)$$

Gracias al uso de la Figura 11 se puede deducir de buena manera el potencial escalar temporal y vectorial.

2.3.3. ¿Cómo se trabaja la radiación?

Con el uso de los potenciales de Liénard-Wiechert es que se puede deducir la fórmula de Larmor, expresada en la ecuación 13:

$$P = \frac{\mu_0 q^2 a^2}{6\pi c} \quad (13)$$

Donde q es la carga, a es la aceleración de la carga, μ_0 es la permeabilidad magnética en el vacío, c es la velocidad de la luz y P corresponde a la potencia radiada.

Primero debemos saber que existen dos maneras de generar radiación:

- Oscilar.
- Acelerar.

En el estudio de la radiación electromagnética es conveniente distinguir tres regiones espaciales, como se muestra en la Figura 12. Para ello, se define r como la distancia desde el centro de la fuente hasta el punto de observación, mientras que d representa la dimensión característica de la región donde se encuentra distribuida la carga (o el radio de la trayectoria en nuestro caso).

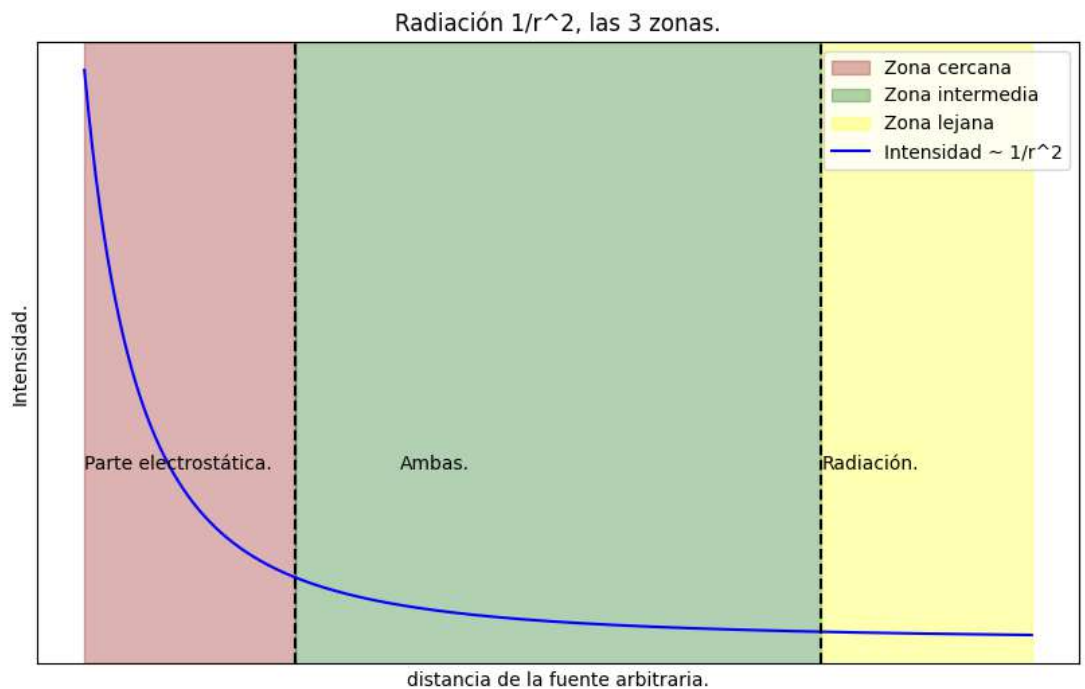


Figura 12: Zonas de radiación en electromagnetismo (autoría propia).

La primera corresponde a la región cercana o zona electrostática, en la cual se cumple que $d \ll r$. En esta región predominan los campos cuasiestáticos.

La segunda región, conocida como zona intermedia o de inducción, satisface la condición $d \ll r \sim \lambda$. Aunque no es el foco principal de este trabajo, es importante mencionarla ya que representa la transición entre los campos cercanos y radiados.

Finalmente, la tercera región corresponde a la zona lejana o de radiación, donde se cumple que $d \ll \lambda \ll r$. En esta zona predominan los campos radiados, los cuales decrecen como $1/r$ en amplitud y como $1/r^2$ en intensidad, siendo esta la región de mayor interés en este análisis.

Manejando la radiación debida a una fuente arbitraria de carga, es necesario definir claramente las distancias involucradas. Usando la Figura 11 como referencia y la ley de cosenos, se deduce la relación geométrica fundamental expresada en la ecuación ??:

- La distancia desde el punto de observación hasta un elemento de carga dq ubicado en la fuente es $\mathcal{R} = |\mathbf{r} - \mathbf{r}'|$.
- Aquí, \mathbf{r} es el vector de posición desde el origen (centro de la fuente) hasta el punto de observación.
- \mathbf{r}' es el vector de posición desde el origen hasta el elemento de carga dq dentro de la fuente.
- Por lo tanto, \mathcal{R} es la distancia total que debe recorrer la información electromagnética (y es la que se usa en el tiempo retardado $t_r = t - \mathcal{R}/c$).
- Es crucial notar que esta \mathcal{R} es una variable dinámica que depende de \mathbf{r} y \mathbf{r}' , y no debe confundirse con el radio constante R_0 de la trayectoria helicoidal definido anteriormente.

Se obtienen las fórmulas en coordenadas esféricas expresadas en las ecuaciones 14, 15 y 16 (Griffiths, 2013):

$$\mathbf{E} = \frac{\mu_0}{4\pi r} \ddot{p} \sin \theta \hat{\boldsymbol{\theta}} \quad (14)$$

$$\mathbf{B} = \frac{\mu_0}{4\pi cr} \ddot{p} \sin \theta \hat{\boldsymbol{\phi}} \quad (15)$$

$$\mathbf{S} = \frac{\mu_0}{16\pi^2 c} (\ddot{p})^2 \left(\frac{\sin \theta}{r} \right)^2 \hat{\mathbf{r}} \quad (16)$$

2.3.4. Potencia

Para una carga puntual en movimiento arbitrario, el campo eléctrico radiado está dado por la ecuación 17 (Griffiths, 2013):

$$\mathbf{E}_{\text{rad}} = \frac{q}{4\pi\epsilon_0} \frac{\mathcal{R}}{(\mathbf{r} \cdot \mathbf{u})^3} [\mathbf{r} \times (\mathbf{u} \times \mathbf{a})] \quad (17)$$

2.4. Parámetros Fundamentales de una Antena

Se introducen los parámetros fundamentales que permiten caracterizar el comportamiento de una antena desde el punto de vista físico e ingenieril. Se comienza con los conceptos de directividad y ganancia, los cuales describen cómo se distribuye la potencia radiada en el espacio y qué tan eficiente es la antena al concentrarla en una dirección específica. Posteriormente, se analiza el ancho de haz de media potencia (HPBW), que

permite cuantificar la apertura angular del lóbulo principal de radiación. También se estudian la eficiencia y las pérdidas, destacando los mecanismos físicos que limitan el rendimiento real de una antena. Asimismo, se aborda la relación entre frecuencia y longitud de onda, esencial para comprender el funcionamiento en distintas bandas del espectro electromagnético. Finalmente, se incluyen conceptos clave como la impedancia, que determina la correcta transferencia de energía, y la polarización, que describe la orientación del campo eléctrico radiado y su impacto en la transmisión y recepción de señales.

2.4.1. Directividad y ganancia.

Para poder llegar a este concepto se necesita primero un concepto elemental ya mencionado: la potencia radiada. Para fuentes isotrópicas en electrodinámica se conoce como la integral de la ecuación ???. Se transforma en la ecuación 18 cuando la fuente es isotrópica (Griffiths, 2013; Kraus, 1950):

$$W = P_r 4\pi r^2 \quad (18)$$

Se llega al concepto de intensidad de radiación, que es la potencia por unidad de ángulo sólido, expresada en la ecuación 19:

$$U = P_r r^2 \quad (19)$$

Para una fuente isótropa, de la ecuación 18 y 19 se obtiene la ecuación 20:

$$W = 4\pi U_o \quad (20)$$

Donde U_o es la potencia por radián cuadrado. La intensidad de radiación del hemisferio norte de una esfera se conoce como U_m ; la del hemisferio sur es cero. La intensidad de radiación se reescribe en la ecuación 21 (Kraus, 1950):

$$W = \int_0^{2\pi} \int_0^{\pi/2} U_m \sin \theta d\theta d\phi = 2\pi U_m \quad (21)$$

Al igualar las ecuaciones 20 y 21 se obtiene la Directividad expresada en la ecuación 22:

$$D = \frac{U_m}{U_o} \quad (22)$$

Una vez que ya se conoce la Directividad, es necesario conocer la Ganancia, se define en la ecuación 23 (Kraus, 1950):

$$G_0 = \frac{\text{intensidad máxima de radiación de la antena en estudio}}{\text{intensidad de radiación isotrópica (sin pérdidas), misma potencia de entrada}} \quad (23)$$

Poniendo al valor máximo de intensidad de radiación subjetiva de una antena como U'_m y al de máxima eficiencia como U_m , e implementando un factor de eficiencia de radiación k , se llega a la ecuación 24:

$$U'_m = k U_m, \quad 0 \leq k \leq 1 \quad (24)$$

De donde se obtiene la relación entre ganancia y directividad en la ecuación 25:

$$G_o = \frac{U'_m}{U_o} = \frac{k U_m}{U_o} = k D \quad (25)$$

Expresados en decíbeles, la directividad y ganancia toman la forma de las ecuaciones 26 y 27:

$$D \text{ (dB)} = 10 \log_{10} D \quad (26)$$

$$G \text{ (dB)} = 10 \log_{10} G \quad (27)$$

2.4.2. Ancho de haz de media potencia (HPBW).

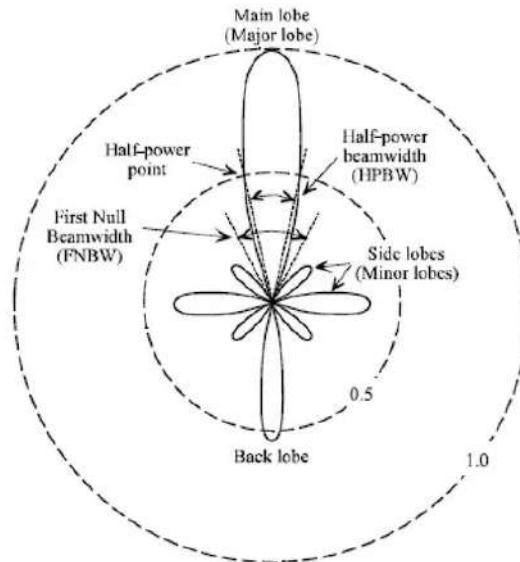


Figura 13: Descripción de lóbulos en el patrón de radiación World (2023).

Para poder desglosar este tema, lo más fundamental es describir lo que se está tratando en el patrón de radiación. ¿Qué incluye cada uno? (World, 2023), se muestra en la Figura 13:

- Lóbulo principal. Aquí se describe la principal dirección en que una antena radia; existe mayor potencia.

- Lóbulo menor. Todo aquel que no sea el principal.
- Lóbulo lateral. Es un lóbulo que existe en una dirección no prevista.
- Lóbulo posterior. Es el lóbulo que está en el lado opuesto del principal.

El HPBW es un término expresado en grados que describe la medida del lóbulo principal en puntos de media potencia; es la separación angular en la que la radiación disminuye al 50 % del pico al haz principal (RF, 2023).

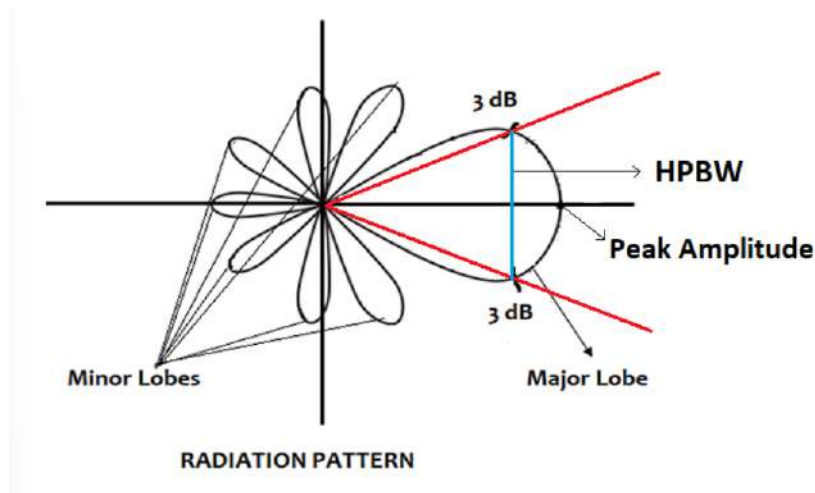


Figura 14: ¿Cómo se ve HPBW? (RF, 2023).

En la Figura 14 se muestra la representación del ancho de haz de media potencia (HPBW, por sus siglas en inglés: Half Power Beam Width). En dicha gráfica se observa el lóbulo principal del patrón de radiación, cuya máxima amplitud corresponde a la dirección donde la antena irradia mayor potencia. Los puntos señalados a -3 dB respecto al máximo indican el nivel en el cual la potencia se reduce al 50 % de su valor máximo, ya que una disminución de 3 dB equivale a la mitad de la potencia en escala logarítmica. El HPBW se define entonces como la separación angular entre estos dos puntos de media potencia, delimitando la región donde se concentra la mayor parte de la energía radiada. Este parámetro es fundamental para caracterizar la directividad de la antena, ya que un menor ancho de haz implica una mayor concentración de potencia en una dirección específica.

Como se observa en la Figura 15, la representación en decibelios permite identificar la variación de la potencia con el ángulo θ . En particular, el nivel de -3 dB delimita los puntos de media potencia respecto al máximo del lóbulo principal, lo cual permite determinar el HPBW. Este concepto no debe confundirse con el ancho de banda, el cual describe el rango de frecuencias en el que una antena opera de manera eficiente y se mide en Hz (Y, 2024).

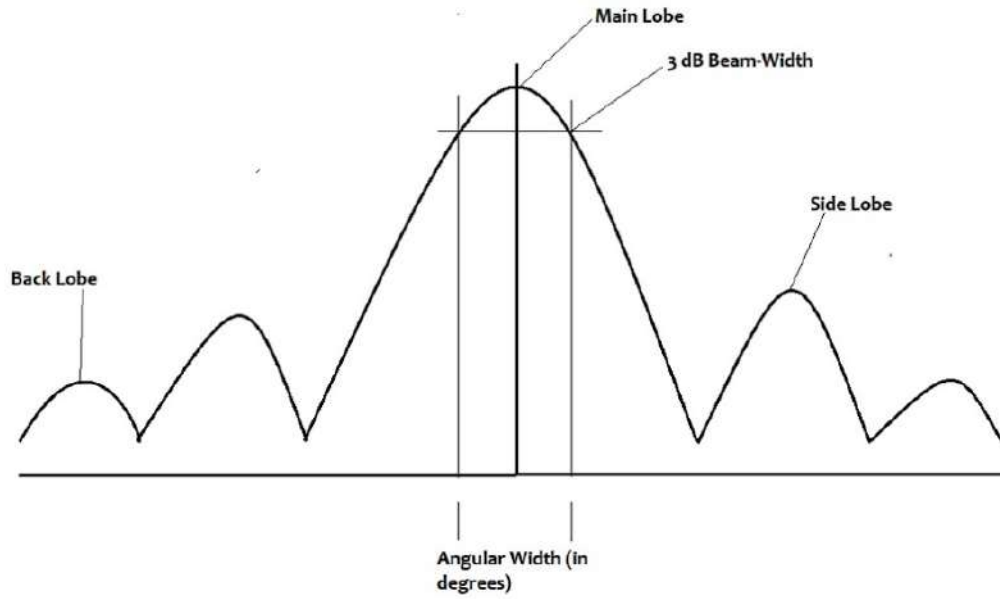


Figura 15: Intensidad de radiación en función del ángulo θ en decibelios, mostrando la referencia de -3 dB para determinar el HPBW (RF, 2023).

2.4.3. Eficiencia y pérdidas.

La relación de potencia radiada se define en la ecuación 28:

$$\eta = \frac{P_r}{P_{en}} \quad (28)$$

Esta expresión representa un porcentaje del 0 al 100 %, donde el 0 indica que no radia y el 100 indica el mejor funcionamiento (Matan, 2024).

El porcentaje de eficiencia también puede descomponerse en sus factores de pérdida, como se expresa en la ecuación 29:

$$\eta = \eta_{cond} \eta_{die} \quad (29)$$

Combinando las ecuaciones 22, 25 y 29, la ganancia que no incluye la pérdida de impedancia se calcula con las ecuaciones 30 y 31:

$$G = \eta \cdot D \quad (30)$$

$$G_R = \eta_R \cdot G \quad (31)$$

Para poder explicar el concepto de tangente de pérdida primero se necesita definir la constante dieléctrica compleja en la ecuación 32 (Blattenberger, 2025):

$$\epsilon = \epsilon_R + j\epsilon_I \quad (32)$$

Entonces la tangente de pérdida se define como un factor de disipación en la ecuación 33:

$$\tan \delta = \frac{\epsilon_I}{\epsilon_R} \quad (33)$$

Esta relación representa la proporción de energía perdida por ciclo respecto a la energía almacenada. A menor valor, menores pérdidas.

2.4.4. Impedancia.

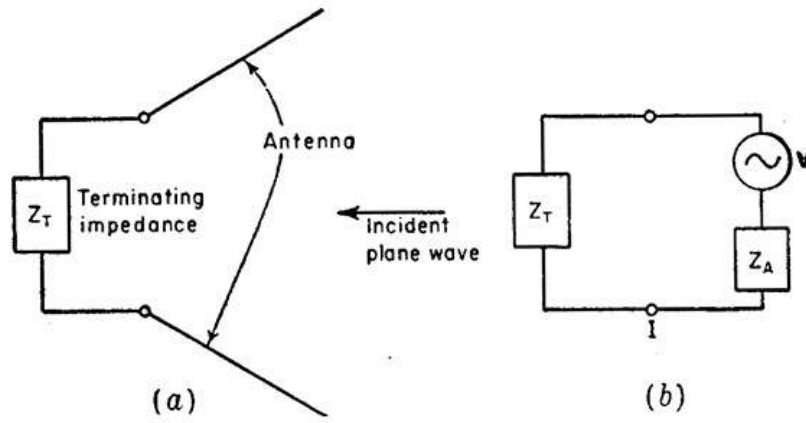


Figura 16: Diagrama de una antena con impedancia Z_T de incidencia de onda plana sobre la antena y su circuito correspondiente (Kraus, 1950).

En el circuito de la Figura 16, la antena obtiene su potencia desde la incidencia de una onda y la dirige hacia la terminal de la impedancia Z_T . La antena se reemplaza por un generador equivalente con un voltaje equivalente y una impedancia de la antena Z_A . La corriente resultante se expresa en la ecuación 34 (Kraus, 1950):

$$I = \frac{V}{Z_T + Z_A} \quad (34)$$

Las impedancias se consideran números complejos, expresados en las ecuaciones 35 y 36:

$$Z_T = R_T + jX_T \quad (35)$$

$$Z_A = R_A + jX_A \quad (36)$$

Donde X es la autoreactancia y la resistencia R_A de la antena tiene dos partes: la resistencia de radiación y la resistencia de pérdida, como se expresa en la ecuación 37:

$$R_A = R_r + R_I \quad (37)$$

2.4.5. Polarización

La polarización se define como aquella curva trazada por el campo eléctrico instantáneo radiado por una antena en un plano perpendicular en dirección radial. Se caracteriza por el radio axial, el sentido de la rotación y el ángulo de inclinación τ (Balanis, 2005). El ángulo transmitido τ_t y el recibido τ_m se relacionan en la ecuación 38:

$$\tau_t = 180^\circ - \tau_m \quad (38)$$

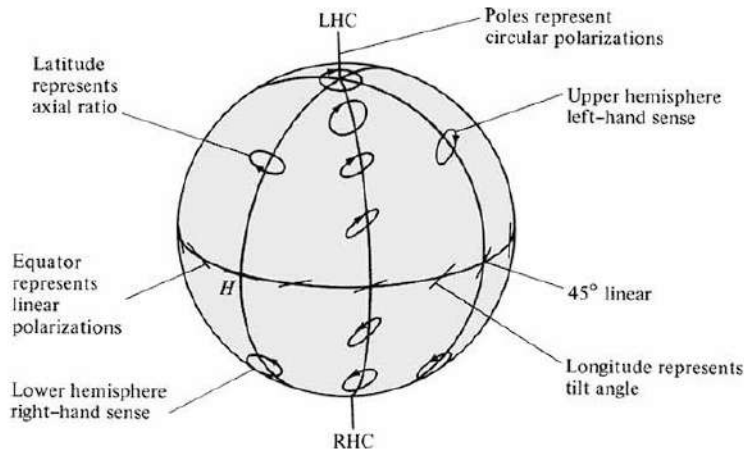
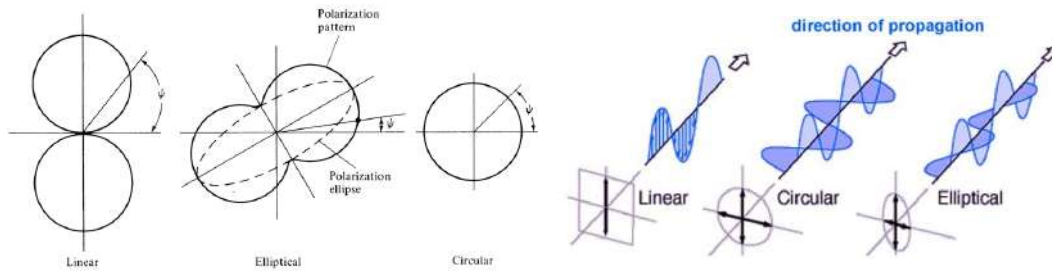


Figura 17: Representación de la polarización en la esfera de Poincaré (Balanis, 2005).

En la Figura 17 se puede observar cómo la polarización de una antena se puede apreciar mejor en la superficie de una esfera de Poincaré (Balanis, 2005). Si se usa un punto para representar la polarización de la onda incidente y otro para la antena receptora, el ángulo entre ambos es usado para determinar las pérdidas por polarización.

Mientras que en la Figura 18 se observa la forma de las polarizaciones más comunes (Hardesty, 2024), se describen algunos tipos comunes:



(a) Tipos de polarización más comunes (Balanis, 2005).

(b) Otra forma de ver las polarizaciones (Hardesty, 2024).

Figura 18: Tipos de polarización.

- Polarización lineal: oscilación de E en el plano horizontal o vertical.
- Polarización oblicua: oscilación de 45° respecto al plano horizontal o vertical.
- Polarización circular: onda que gira a medida que la señal es propagada.
- Polarización elíptica: E se propaga en forma de hélice elíptica.

Si vamos a una parte más matemática, se manejan a los campos eléctricos en dos coordenadas. Tomando las coordenadas x e y , el campo se expresa en las ecuaciones 39 y 40 (Saleh, 2019; Hecht, 2017):

$$E(x, t) = E_0 \exp[i(kx - \omega t)] \quad (39)$$

$$E(y, t) = E_0 \exp[i(ky - \omega t)] \quad (40)$$

Si la polarización es lineal solo existe una de estas ecuaciones. A otro grado, se toma la forma de las ecuaciones 41 y 42:

$$E_x(z, t) = \text{Re}\{E_0 \cos \alpha \exp[i(kz - \omega t)]\} \quad (41)$$

$$E_y(z, t) = \text{Re}\{E_0 \sin \alpha \exp[i(kz - \omega t)]\} \quad (42)$$

Un término importante para la clasificación de las polarizaciones es el vector de Jones (Collett, 2005), que se expresa como la ecuación 43:

$$\mathbf{E} = \begin{bmatrix} E_x \\ E_y \end{bmatrix} \quad (43)$$

Las polarizaciones circulares se expresan en las ecuaciones 44 y 45:

$$E_x(z, t) = \text{Re}\{E_0 \exp[i(kz - \omega t)]\} = |E_0| \cos(kz - \omega t) \quad (44)$$

$$E_y(z, t) = \text{Re}\{\pm i E_0 \exp[i(kz - \omega t)]\} = \mp |E_0| \sin(kz - \omega t) \quad (45)$$

Si va a la derecha se usa signo menos; si va a la izquierda se usa signo más. Al usar el vector de Jones de la ecuación 43, se llega a:

$$\frac{\mathbf{E}}{E_x} = \begin{bmatrix} 1 \\ \pm i \end{bmatrix} \quad (46)$$

Para las polarizaciones elípticas se tienen las ecuaciones 47 y 48:

$$E_x(z, t) = \text{Re}\{E_{0x} \exp[i(kz - \omega t)]\} = |E_{0x}| \cos(kz - \omega t - \theta_x) \quad (47)$$

$$E_y(z, t) = \text{Re}\{E_{0y} \exp[i(kz - \omega t)]\} = |E_{0y}| \cos(kz - \omega t - \theta_y) \quad (48)$$

Y el vector de Jones de la ecuación 43 se reescribiría como la ecuación 49:

$$\frac{\mathbf{E}}{E_x} = \begin{bmatrix} 1 \\ \frac{E_{0y}}{E_{0x}} \exp\{i [\theta_x(t) - \theta_y(t)]\} \end{bmatrix} \quad (49)$$

3.. Fundamentación teórica

3.1. ¿Por qué se emiten ondas electromagnéticas en la naturaleza?

La emisión de ondas electromagnéticas tiene su origen en las transiciones de energía que ocurren a nivel atómico y molecular. De acuerdo con la mecánica cuántica, los electrones sólo pueden ocupar niveles de energía discretos, por lo que al pasar de un estado a otro intercambian energía en forma de radiación electromagnética. Este proceso explica fenómenos fundamentales como la emisión de luz y permite entender mecanismos como la absorción, la emisión espontánea y la emisión estimulada, los cuales describen cómo la materia interactúa con los campos electromagnéticos.

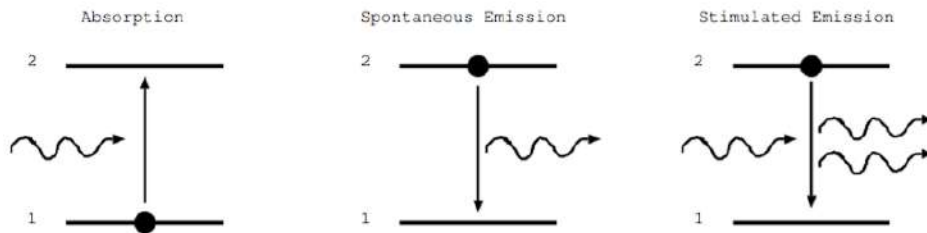


Figura 19: Absorción, emisión espontánea, emisión estimulada (Mitofsky, 2025).

Si bien este tema no es estrictamente necesario para el desarrollo del trabajo, sí es fundamental para el entendimiento. La naturaleza de los átomos y moléculas contiene vibraciones que en mecánica cuántica se conocen como niveles de energía. Los saltos de energía que van de un estado excitado al estado fundamental, o viceversa como se ve en la ecuación 50 (Saleh, 2019):

$$\Delta E = \hbar\nu \quad (50)$$

donde ν es la frecuencia con la que el átomo vibra.

La mayor parte de la luz se emite por vibraciones atómicas (Mitofsky, 2025). Como se ilustran en la Figura 19:

- El primer fenómeno es la emisión espontánea: un electrón decae al estado fundamental por sí solo y emite un fotón.
- El segundo es la absorción: un electrón en estado fundamental interactúa con un campo electromagnético, absorbe el fotón y transita a un estado excitado.
- El tercero es la emisión estimulada: un electrón ya excitado interactúa con un campo electromagnético; el fotón estimula la transición al estado fundamental y hace que se emita un segundo fotón con la misma frecuencia, dirección, fase y polarización. Este mecanismo es la base de los láseres.

3.2. La antena helicoidal.

En esta sección se describe la configuración física de la antena helicoidal, poniendo énfasis en la geometría de su trayectoria. Esta descripción es fundamental, ya que permite modelar el movimiento de la carga y establecer las bases para el análisis de los campos electromagnéticos que genera. Por otro lado, esta antena se destaca por su capacidad de operar con polarización circular y generar patrones de radiación altamente directivos en ciertas condiciones. Su diseño se basa en una geometría en forma de hélice, cuyas dimensiones están directamente relacionadas con la longitud de onda de operación. A continuación, se describen los principios de funcionamiento, componentes y condiciones que permiten optimizar su desempeño.

3.2.1. ¿Cómo es su geometría?

Se inicia con la parametrización diferenciable (Kuhnel, 2015), expresada en la ecuación 51:

$$\alpha(t) = (a \cos(\omega t), b \sin(\omega t), vt), \quad t \in \mathbb{R} \quad (51)$$

Su límite queda dentro de un cilindro trazado por la ecuación 52:

$$x^2 + y^2 = a^2 \quad (52)$$

A esta superficie se le denomina helicoides, y su parametrización está dada por la ecuación 53:

$$\mathbf{x}(u, v) = (v \cos u, v \sin u, au), \quad 0 < u < 2\pi, \quad -\infty < v < \infty \quad (53)$$

Los coeficientes de la primera forma fundamental asociados a esta parametrización se presentan en la ecuación 54:

$$E(u, v) = v^2 + a^2, \quad F(u, v) = 0, \quad G(u, v) = 1 \quad (54)$$

Estos coeficientes permiten estudiar las propiedades métricas de la superficie. En particular, E y G están relacionados con la variación de los vectores tangentes en las direcciones de u y v , mientras que $F = 0$ indica que dichas direcciones son ortogonales entre sí, lo que refleja la naturaleza reglada y ortogonal de la parametrización del helicoides. En la Figura 20 se muestra la representación gráfica de esta superficie.

3.2.2. ¿Qué campos se obtuvieron?

Para describir la geometría de la trayectoria helicoidal de una carga en movimiento, es necesario definir la magnitud $r(t)$, la cual representa la distancia radial desde el origen hasta la posición instantánea de la partícula. Para una trayectoria helicoidal, la posición de la partícula puede descomponerse en un movimiento circular en el plano transversal

Helicoide

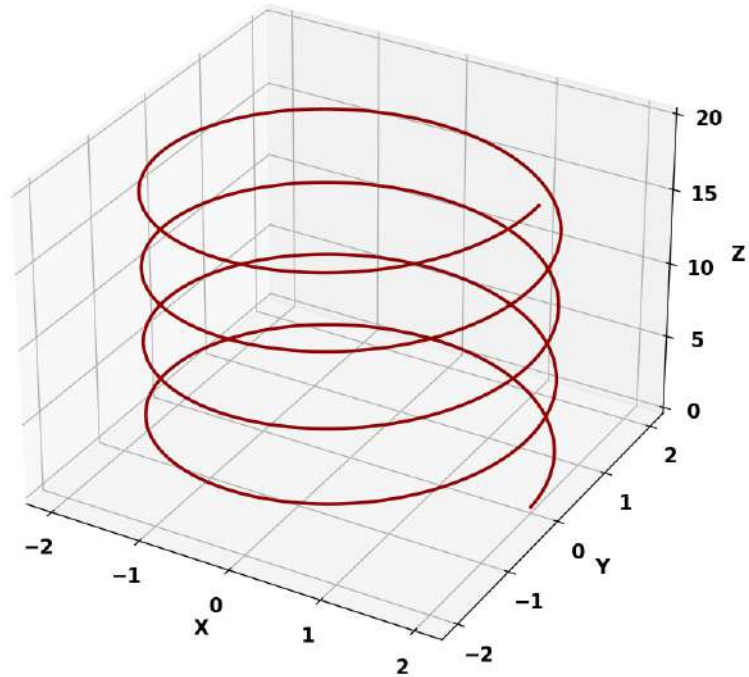


Figura 20: Representación gráfica del helicoide con la superficie reglada generada por una línea recta que se desplaza helicoidalmente alrededor de un eje (autoría propia).

y un movimiento uniforme a lo largo del eje longitudinal. La expresión general de la distancia radial se presenta en la ecuación 55:

$$r(t) = \sqrt{R_0^2 \cos^2(\omega t) + R_0^2 \sin^2(\omega t) + (vt)^2} \quad (55)$$

Simplificando la expresión de la ecuación 55 se obtiene la ecuación 56:

$$r(t) = \sqrt{R_0^2 + (vt)^2} \quad (56)$$

Esta expresión muestra que la distancia radial resulta de la combinación de un radio constante R_0 asociado al movimiento circular y un término creciente en el tiempo debido al desplazamiento longitudinal. A partir de la ecuación 56, se obtienen sus derivadas temporales, expresadas en las ecuaciones 57 y 58:

$$\dot{r}(t) = \frac{v^2 t}{\sqrt{R_0^2 + (vt)^2}} \quad (57)$$

$$\ddot{r}(t) = \frac{v^2 R_0^2}{(R_0^2 + v^2 t^2)^{3/2}} \quad (58)$$

El momento dipolar eléctrico del sistema se expresa en la ecuación 59:

$$\vec{P}(t) = q r(t) \hat{r} = q \sqrt{R_0^2 + (vt)^2} \hat{r} \quad (59)$$

La segunda derivada temporal del momento dipolar, que es la cantidad relevante en la radiación, resulta en la ecuación 60:

$$\vec{P}''(t) = \frac{q v^2 R_0^2}{(R_0^2 + v^2 t^2)^{3/2}} \hat{r} \quad (60)$$

A partir de la formulación de Larmor para radiación de dipolos (Griffiths, 2013), se obtienen los campos eléctrico y magnético en la zona de radiación. El campo eléctrico se expresa en la ecuación 61 y el campo magnético en la ecuación 62:

$$\vec{E} = -\frac{\mu_o}{4\pi} \frac{q v^2 R_0^2}{(R_0^2 + v^2 t^2)^{3/2}} \frac{\sin \theta}{r} \hat{\theta} \quad (61)$$

$$\vec{B} = \frac{\mu_o}{4\pi c} \frac{q v^2 R_0^2}{(R_0^2 + v^2 t^2)^{3/2}} \frac{\sin \theta}{r} \hat{\phi} \quad (62)$$

Las ecuaciones 61 y 62 muestran que los campos radiados dependen de la aceleración del sistema (contenida en la ecuación 60) y presentan la dependencia angular característica $\sin \theta$, propia de la radiación dipolar. El flujo de energía electromagnética se describe mediante el vector de Poynting en la ecuación 63:

$$\vec{S} = \frac{\mu_o}{16\pi^2 c} \frac{q^2 v^4 R_0^4}{(R_0^2 + v^2 t^2)^3} \frac{\sin^2 \theta}{r^2} \hat{r} \quad (63)$$

Finalmente, integrando la ecuación 63 sobre toda la superficie sólida, se obtiene la potencia radiada en la ecuación 64:

$$P = \frac{\mu_o}{6\pi c} \frac{q^2 v^4 R_0^4}{(R_0^2 + v^2 t^2)^3} \quad (64)$$

3.2.3. ¿Para qué está diseñada una antena helicoidal?

El mejor funcionamiento de una antena helicoidal corresponde al primer modo de transmisión (Kraus, 1950), mediante la condición de la ecuación 65:

$$0.75 < \frac{C}{\lambda} < 1.25, \quad S < \frac{\lambda}{4} \quad (65)$$

Las características que describen qué longitud de onda puede transmitirse se expresan mediante la aproximación de la ecuación 66:

$$C \approx \lambda \quad (66)$$

Para la aproximación más simple se hace un barrido de frecuencias (normalmente de 100 MHz a 3 GHz), verificando que se cumpla la condición de la ecuación 65 para que la

frecuencia sea óptima. Cabe aclarar que la frecuencia óptima no es con la que opera la antena, sino la frecuencia con la que opera mejor si se la alimenta con ella. Fuera de ese rango se puede operar con cualquier frecuencia, pero se obtendrán patrones diferentes. Para saber con qué frecuencia opera una antena determinada se requiere conectar un analizador de redes para la medición de las resonancias, o bien construir el circuito sintonizador que sirve como filtro pasa-bandas.

3.2.4. Componentes.

Los componentes del circuito de una antena son los siguientes:

- Fuente: Ya tiene una frecuencia determinada (en México es de 60 Hz).
- Receptor: Recibe señal inducida.
- Circuito de adaptación (RLC): Este circuito es útil para ajustar la impedancia; lo que se busca es que la señal se emita como onda electromagnética en la antena y no se regrese por el circuito. Esto se logra con la condición de la ecuación 67:

$$Z_{\text{antena}} + Z_{\text{adaptación}} \approx Z_{\text{transmisor}} \quad (67)$$

- Bobinas (L): aportan la reactancia inductiva.
- Capacitores (C): aportan la reactancia capacitiva.
- Resistencias (R): controlan el ancho de banda.
- Antena: Puede ser cualquiera, dependiendo de lo que se desee lograr.
- Alimentación: Es la conexión de la antena con la fuente (normalmente una guía de onda con una impedancia característica de $50\ \Omega$ – $75\ \Omega$).

3.2.5. Circuito de un Sintonizador.

Cuando se trata de corriente alterna, el voltaje y la corriente del sistema no son constantes. El voltaje y la corriente se expresan en las ecuaciones 68 y 69:

$$V(t) = V_o \sin(2\pi ft) \quad (68)$$

$$I(t) = I_o \sin(2\pi ft) \quad (69)$$

Para averiguar la frecuencia se usa un osciloscopio y se observa el periodo para deducir la ecuación 70:

$$f = \frac{1}{T} \quad (70)$$

Es importante señalar que en el momento de transmisión de la antena existen varias frecuencias en la propia corriente. Normalmente, para filtrarlas se emplean circuitos RLC. La impedancia total del sistema se expresa en la ecuación 71:

$$Z = R_{\text{sistema}} + Z_{\text{antena}} + jX \quad (71)$$

Se tienen varios conceptos eléctricos con sus fórmulas (ALLELCO, 2025; Alexander, 2018). La capacitancia está dada por la ecuación 72:

$$C = \frac{Q}{V} \quad (72)$$

Donde Q es la carga del capacitor. La inductancia viene dada por la ecuación 73:

$$L = \frac{\Phi}{I} \quad (73)$$

donde Φ es el flujo magnético. La resistencia se calcula con la ley de Ohm en la ecuación 74:

$$R = \frac{V}{I} \quad (74)$$

Para un circuito RLC en serie, la impedancia compleja se expresa en la ecuación 75:

$$Z(\omega) = R + j\left(\omega L - \frac{1}{\omega C}\right) \quad (75)$$

La parte imaginaria de la impedancia es la reactancia, expresada en la ecuación 76:

$$X(\omega) = \omega L - \frac{1}{\omega C} \quad (76)$$

Si se conocen los valores de L y C , así como la reactancia X , la ecuación 76 conduce a la ecuación diferencial 77:

$$\omega^2 LC - \omega XC - 1 = 0 \quad (77)$$

cuya solución es la ecuación 78:

$$\omega = \frac{XC \pm \sqrt{(XC)^2 + 4LC}}{2LC} \quad (78)$$

Una vez conocida la frecuencia angular a partir de la ecuación 78, la frecuencia se calcula con la ecuación 79:

$$f = \frac{\omega}{2\pi} \quad (79)$$

Lo que se busca en una antena es una resonancia eficiente, que sólo se logra cuando el sistema está en resonancia, condición expresada en la ecuación 80:

$$X_L = X_C \quad (80)$$

Si queremos producir longitudes de onda más largas, se requieren resonancias más bajas, y viceversa. Cuando $X = 0$, la solución de la ecuación 77 conduce primero a la frecuencia angular de resonancia en la ecuación 81:

$$\omega_o = \frac{1}{\sqrt{LC}} \quad (81)$$

y, de manera equivalente, a la frecuencia de resonancia en la ecuación 82:

$$f_o = \frac{1}{2\pi\sqrt{LC}} \quad (82)$$

Para conocer si la reactancia es la adecuada, se expresa la impedancia en forma polar en la ecuación 83:

$$Z = |Z| e^{j\psi}, \quad X = |Z| \sin \psi, \quad R = |Z| \cos \psi \quad (83)$$

Sabiendo la impedancia y la resistencia del sistema, la reactancia puede deducirse de la ecuación 83 como se muestra en la ecuación 84:

$$X = \pm \sqrt{|Z|^2 - R^2} \quad (84)$$

3.2.6. Relaciones de longitudes de onda.

Todas las antenas gozan de un ancho de banda que pueden transmitir o recibir, por lo que existe un rango ideal para cada tipo. En el caso de la antena helicoidal (Kraus, 1950), para el primer modo de transmisión conforme a la condición de la ecuación 65:

- $C/\lambda < 0.75$: la antena opera en modo normal (radiación broadside). La corriente en la hélice está en fase. Similar a un dipolo; baja ganancia; polarización casi lineal. Usado para comunicaciones locales.
- $0.75 < C/\lambda < 1.25$ con $S < \lambda/4$: la antena opera en modo axial (radiación end-fire). Corriente en desfase progresivo; máxima ganancia; se forma un haz en la dirección del eje. Polarización circular. Puede ser usado para satélites.
- $C/\lambda > 1.25$: el patrón se degrada y aparecen lóbulos múltiples. La radiación se dispersa, hay pérdida de directividad; baja eficiencia de radiación; polarización elíptica o irregular.

3.3. Radiación y modos de transmisión en las hélices.

El comportamiento electromagnético de una antena helicoidal puede analizarse a partir de dos enfoques complementarios: la propagación de ondas a lo largo de la estructura (modo de transmisión) y la forma en que esta energía es radiada al espacio (modo de radiación). La relación entre ambos permite comprender cómo la geometría de la hélice determina el tipo de patrón radiado, la polarización y la directividad. En particular, el estudio de estos modos resulta fundamental para identificar las condiciones bajo las cuales la antena presenta un desempeño óptimo.

El modo de transmisión se usa cuando una onda electromagnética es propagada en una hélice infinita dentro de una guía de onda ideal. Por otro lado, el modo de radiación describe el patrón de radiación en campo lejano de la antena helicoidal (Kraus, 1950). Como se mencionó previamente, existen dos modos principales: el modo normal, asociado a R_0 , y el modo axial, asociado a R_1 .

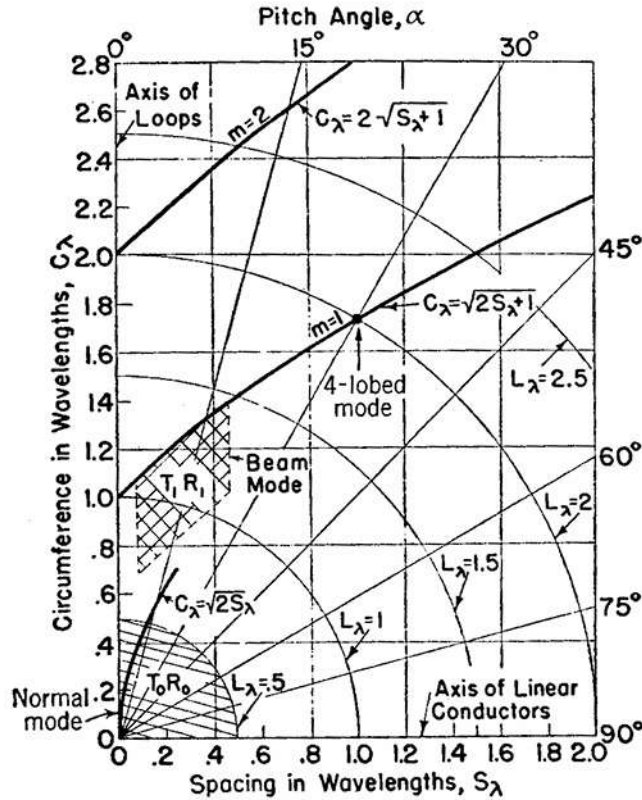


Figura 21: Regiones de los diferentes modos de operación (Kraus, 1950).

En la Figura 21 se presenta el diagrama propuesto por Kraus (1950), el cual permite identificar los distintos modos de operación de la antena en función de dos parámetros normalizados: la circunferencia respecto a la longitud de onda ($C_\lambda = C/\lambda$) y la separación entre espiras ($S_\lambda = S/\lambda$). El eje horizontal corresponde a S_λ , mientras que el eje vertical representa C_λ .

Dentro de este diagrama, la región inferior izquierda, identificada como T_0R_0 , corresponde al modo normal de operación. En esta zona, la corriente en la hélice se encuentra prácticamente en fase, por lo que el patrón de radiación es similar al de un dipolo, con baja directividad y polarización principalmente lineal.

En contraste, la región central, correspondiente a T_1R_1 , describe el modo axial. En este caso, la corriente presenta un desfase progresivo a lo largo de la hélice, lo que da lugar a un patrón de radiación altamente directivo en la dirección del eje (*end-fire*), con polarización circular. Esta es la región de mayor interés en aplicaciones prácticas.

Las demás regiones del diagrama representan transiciones hacia comportamientos más complejos, donde aparecen múltiples lóbulos y la predicción del patrón de radiación se vuelve más difícil.

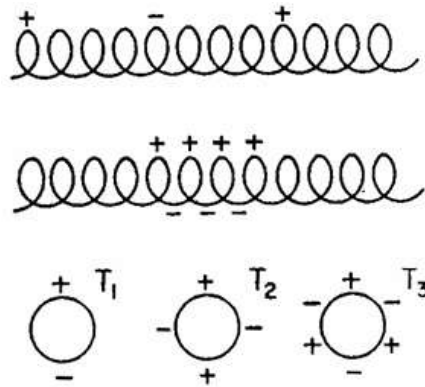


Figura 22: Distribuciones de carga en la helicoide (Kraus, 1950).

La Figura 22 complementa este análisis al mostrar cómo se distribuyen las cargas a lo largo de la hélice. Estas distribuciones pueden interpretarse como arreglos de dipolos, cuadripolos u órdenes superiores, dependiendo de la geometría y de la relación entre la longitud de onda, la circunferencia y el espaciado entre espiras. Cuando las contribuciones longitudinales y circunferenciales de la corriente se encuentran en proporciones adecuadas (particularmente cuando $0.75 < C_\lambda < 1.25$, conforme a la condición de la ecuación 65), se favorece la formación de un patrón bien definido.

Los valores designados con el subíndice 1 corresponden al caso en que la circunferencia es del orden de una longitud de onda ($m = 1$), cuyo patrón es de polarización circular. Existen dos campos calculados: uno para ϕ (plano a la página) y otro para θ (normal a la página); bajo los parámetros de T_1R_1 las diferencias son mínimas, lo que da lugar a la polarización circular. En general, para $m \geq 2$, los patrones presentan múltiples lóbulos o características cónicas, como se puede ver en la Figura 23.

El campo de la helicoide es en general elípticamente polarizado; sólo bajo ciertos parámetros la polarización que se presenta es circular o lineal. Cabe señalar que los modos T_0 se atenúan rápidamente, mientras que los modos de onda para T_1 son relativamente constantes en amplitud.

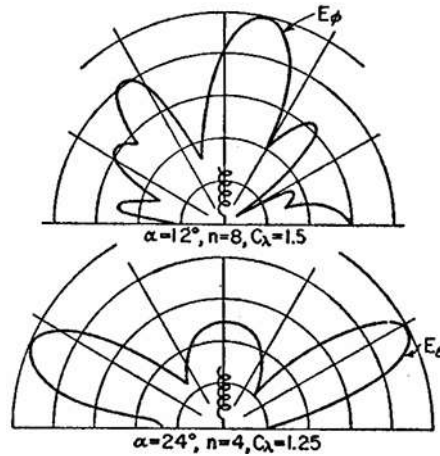


Figura 23: Patrones multilóbulos y cónicos (Kraus, 1950).

3.4. Deducción del patrón de radiación.

La deducción del patrón de radiación de la antena helicoidal se fundamenta en el modelado de la estructura como un arreglo de fuentes elementales, lo que permite describir su comportamiento en el campo lejano mediante herramientas de teoría de antenas. En este contexto, resulta esencial emplear el principio de multiplicación de patrones, el cual establece una relación directa entre el patrón de una fuente individual y el factor de arreglo asociado a su distribución espacial.

3.4.1. El principio de multiplicación.

Para llegar a la deducción del patrón de radiación se debe saber que la antena tiene varias posibilidades de ser tratada: como una fuente puntual, como una apertura o, de manera general, como un arreglo de fuentes puntuales.

Se llega al **principio de multiplicación de patrones**, cuyo enunciado es: “El patrón de campo total de un arreglo de fuentes no isotrópicas pero similares es el producto del patrón de la fuente individual y el patrón de un arreglo de fuentes puntuales isotrópicas, cada una ubicada en el centro de fase de la fuente individual y teniendo la misma amplitud y fase relativas, mientras que el patrón de fase total es la suma de los patrones de fase de la fuente individual y del arreglo de fuentes puntuales isotrópicas” (Kraus, 1950).

Para explicar este concepto se toma el caso de **dos fuentes no isotrópicas pero similares**, donde F es designada al arreglo de fuentes puntuales isotrópicas y f a una fuente individual. Esto viene del principio de superposición de campos, expresado en la ecuación 85:

$$E_{\text{total}} = E_1 + E_2 + \dots + E_n \quad (85)$$

El campo de una fuente no isotrópica individual se expresa en la ecuación 86:

$$\vec{E}_{\text{individual}} = f(\theta, \phi) \exp[jf_p(\theta, \phi)] \quad (86)$$

El campo del arreglo de fuentes isotrópicas se expresa en la ecuación 87:

$$E_{\text{arreglo}} = \sum_{i=1}^N a_i e^{j\delta_i} e^{j\vec{k} \cdot \vec{r}_i} = F(\theta, \phi) \exp[jF_p(\theta, \phi)] \quad (87)$$

Al aplicar el principio de multiplicación a las ecuaciones 86 y 87, el campo total resulta en la ecuación 88:

$$E_{\text{total}} = f(\theta, \phi) F(\theta, \phi) \exp[f_p(\theta, \phi) + F_p(\theta, \phi)] \quad (88)$$

Gracias a la ecuación 88, se puede llegar sin problemas al patrón producido por un arreglo deseado. Si las fuentes son **disímiles**, entonces no se puede aplicar el principio de multiplicación de patrones y los campos deben sumarse en cada ángulo.

3.4.2. Arreglo lineal de n fuentes isotrópicas con misma amplitud y espacio.

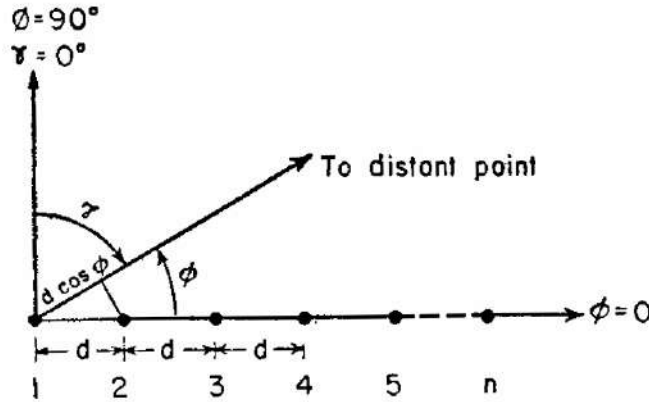


Figura 24: Arreglo lineal de n fuentes isotrópicas (Kraus, 1950).

Se llega a este tema porque es la mejor descripción que se puede tener de los componentes de las antenas helicoidales (Kraus, 1950). En la Figura 24 se puede observar en qué consiste el arreglo. El campo eléctrico a una distancia lejana y con dirección ϕ se toma como la serie geométrica de la ecuación 89:

$$E = 1 + e^{j\psi} + e^{2j\psi} + \dots + e^{j(n-1)\psi} \quad (89)$$

Con una pequeña diferencia de fase dada por δ , la fase de los campos es $\psi = d_r \cos \phi + \delta$. Las amplitudes de los campos se toman como iguales. Si se multiplica la ecuación 89 por $e^{j\psi}$ se obtiene la ecuación 90:

$$E e^{j\psi} = e^{j\psi} + e^{2j\psi} + \dots + e^{jn\psi} \quad (90)$$

Al restar la ecuación 89 de la ecuación 90 y operar, se llega a la ecuación 91:

$$E = \frac{1 - e^{jn\psi}}{1 - e^{j\psi}} \quad (91)$$

Reescribiendo la ecuación 91 mediante la identidad $e^{j\theta} - e^{-j\theta} = 2j \sin \theta$, y centrado la fase en el arreglo, se llega a la ecuación clave (Kraus, 1950):

$$E = \frac{\sin(n\psi/2)}{\sin(\psi/2)} \quad (92)$$

3.4.3. ¿Cómo se llega a la antena helicoidal?

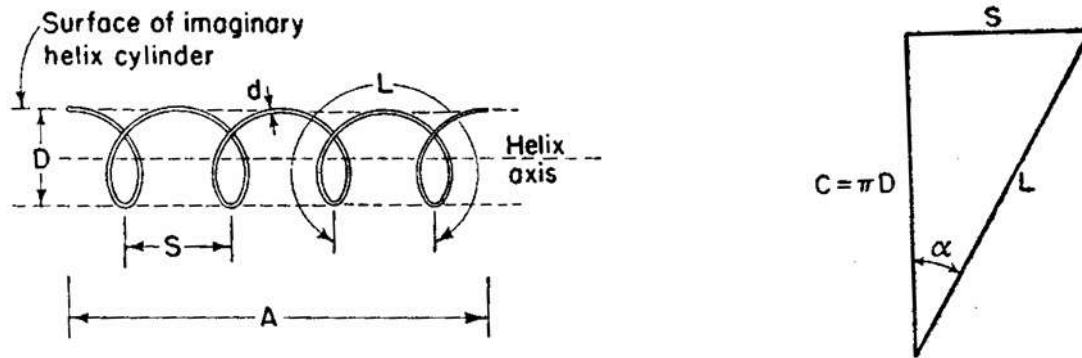


Figura 25: Descripción geométrica de la helicoide (Kraus, 1950).

La antena helicoidal es el conjunto de las antenas de tipo loop y lineal. Tiene dos tipos de radiación (Kraus, 1950):

- a. Modo de radiación axial: el campo es máximo en la dirección del eje de la hélice con polarización circular. Es la representación más práctica del patrón de radiación.
- b. Modo de radiación normal: el campo es máximo en una dirección normal al eje de la hélice; el patrón es aproximado al de un dipolo (Balanis, 2005).

Las dimensiones de la helicoide están dadas de la siguiente manera: D es el diámetro de la hélice; $C = \pi D$ es la circunferencia; S es el espaciado entre vueltas; α es el ángulo de paso ($S/\pi D$); L es la longitud de una vuelta; n es el número de vueltas; $A = nS$ es la longitud axial; y d es el diámetro del filamento. Cuando $\alpha = 0^\circ$ la antena es de tipo loop; cuando $\alpha = 90^\circ$ es de tipo lineal (Kraus, 1950).

Para continuar con el entendimiento de la antena helicoidal es necesario el concepto de arreglo *end-fire* (Balanis, 2005), que concentra la radiación a lo largo del eje del arreglo. Su factor de fase se expresa en la ecuación 93:

$$\psi = kd \cos \theta + \beta \quad (93)$$

donde $k = 2\pi/\lambda$, d es la distancia entre elementos, β es la diferencia de fase progresiva entre elementos y θ es el ángulo de observación. Si se desea que el máximo ocurra hacia adelante ($\theta = 0$), de la ecuación 93 se obtiene:

$$\beta = -kd \quad (94)$$

Otro concepto clave es la condición de Hansen-Woodyard, propuesta en 1938 e introducida por Balanis (2005), que se aplica cuando se requiere suprimir los lóbulos traseros y mejorar la directividad. La condición es la ecuación 95:

$$\beta = -\left(kd + \frac{\pi}{N}\right) \quad (95)$$

Esta condición asegura que el máximo desplazado cumpla la ecuación 96 y que el lóbulo trasero quede suprimido según la ecuación 97:

$$|\psi|_{\theta=0^\circ} = \frac{\pi}{N} \quad (96)$$

$$|\psi|_{\theta=180^\circ} = \pi \quad (97)$$

3.4.4. Caso 1 del patrón de la helicoide.

Recordando la ecuación 92, que es la forma no normalizada del factor de arreglo de n fuentes isotrópicas, y aplicando la condición de Hansen-Woodyard de la ecuación 95 para mayor directividad, la máxima magnitud ocurre en $\psi = -\pi/n$, lo que conduce al patrón normalizado de la ecuación 98:

$$E_{\text{nom}} = \sin\left(\frac{\pi}{2n}\right) \frac{\sin(n\psi/2)}{\sin(\psi/2)} \quad (98)$$

Usando el principio de multiplicación de la ecuación 88, se hace el producto de la ecuación 98 por el campo de la vuelta individual $E_{\text{ind}} = \cos \phi$. El patrón de la helicoide queda expresado en la ecuación 99 (Kraus, 1950):

$$E = \sin\left(\frac{\pi}{2n}\right) \frac{\sin(n\psi/2)}{\sin(\psi/2)} \cos \phi \quad (99)$$

Para conocer el factor de fase en la antena helicoidal, se adapta la ecuación 93 a la helicoide, donde $S_r = 2\pi S/\lambda$, obteniendo la ecuación 100:

$$\psi = 2\pi \left(S_\lambda \cos \phi - \frac{L_\lambda}{p} \right) \quad (100)$$

donde p es la velocidad relativa de fase (v/c), siendo v la velocidad a lo largo del conductor y c la velocidad de la luz. Usando la condición *end-fire* ($\psi = -2\pi m$) con máxima directividad ($\phi = 0$) en la ecuación 100, se llega a la ecuación 101:

$$m + S_\lambda = \frac{L_\lambda}{p} \quad (101)$$

En la ecuación 101, m representa los modos de radiación: $m = 0$ corresponde a la aproximación de un dipolo; $m = 1$ al modo de radiación con polarización circular ($\lambda \approx C$); $m = 2$ cuando $\lambda \approx 2C$; y así sucesivamente. La relación geométrica de la hélice se expresa en la ecuación 102:

$$L^2 = \pi^2 D^2 + S^2 \quad (102)$$

Al reducir la ecuación 101 a $m = 1$ y $p = 1$, se obtiene la relación para la radiación en modo axial, de donde se deducen las ecuaciones 103 y ??:

$$D_\lambda = \frac{\sqrt{2S_\lambda + 1}}{\pi}, \quad C_\lambda = \sqrt{2S_\lambda + 1} \quad (103)$$

3.4.5. ¿Por qué existen diferentes condiciones para deducir la velocidad de fase?

Para el modo T_1R_1 , se tiene plantea la velocidad de fase a partir del principio *end-fire*, donde los campos están en fase, obteniendo la ecuación 104 (Kraus, 1950):

$$p = \frac{1}{\sin \alpha + (\cos \alpha / C_\lambda)} \quad (104)$$

Al aplicar el principio de Hansen y Woodyard de la ecuación 95 sobre la ecuación 104, se obtiene la ecuación 105:

$$p = \frac{1}{\sin \alpha + \frac{2n + 1 \cos \alpha}{2n C_\lambda}} \quad (105)$$

Otro caso para la velocidad de fase se obtiene midiendo el ángulo ϕ_0 en el campo lejano con ψ_0 . Partiendo de $\psi = -(2\pi m + \psi_0)$ y usando la ecuación 101 con $m = 1$, la velocidad de fase queda como la ecuación 106:

$$p = \frac{L_\lambda}{S_\lambda \cos \phi_0 + 1 + (\psi_0 / 2\pi)} \quad (106)$$

La ecuación 106 corresponde al primer caso nulo de la medición del patrón de radiación.

Existe una cuarta relación para la velocidad de fase, apropiada para el primer modo de transmisión, que se obtiene aplicando condiciones de frontera para un conductor helicoidal en coordenadas cilíndricas a través de dos puntos c y d , como se ve en la Figura 26. Bajo estas condiciones, la velocidad de fase se expresa en la ecuación 107:

$$p = \frac{C_\lambda}{m \cos \alpha + hR \sin \alpha} \quad (107)$$

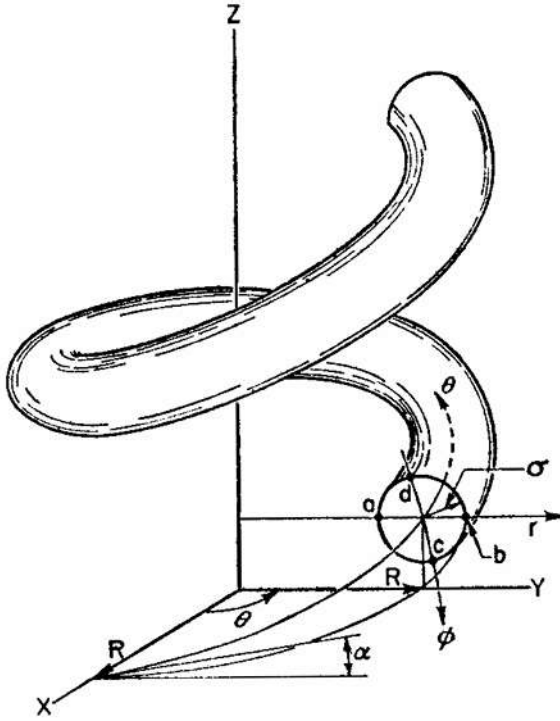


Figura 26: Helicoide con condiciones de frontera (Kraus, 1950).

con el parámetro hR definido en la ecuación 108:

$$hR = \tan \alpha \frac{m J_m^2(kR)}{J_{m-1}(kR) J_{m+1}(kR)} \quad (108)$$

donde m está dado por el orden de transmisión, R es el radio de la hélice y J son las funciones de Bessel de argumento kR . El argumento se define en la ecuación 109:

$$kR = \sqrt{C_\lambda^2 - (hR)^2} \quad (109)$$

3.4.6. Caso 2 del patrón de la helicoide.

Por otro lado, el tratamiento de las antenas para el modo T_1R_1 considera $m = 1$ en la ecuación 101 (Kraus, 1950):

$$p = \frac{L_\lambda}{S_\lambda + 1} \quad (110)$$

que se reduce, usando la ecuación 104, a:

$$p = \frac{1}{\sin \alpha + (\cos \alpha / C_\lambda)} \quad (111)$$

Esto indica que se radia en el modo axial ($\frac{3}{4} < C_\lambda < \frac{4}{3}$). Sin embargo, esto no es suficiente para que el resultado graficado concuerde con el calculado, por lo que se opta por más consideraciones. Al usar la condición de Hansen-Woodyard de la ecuación 95 (Kraus, 1950):

$$\psi = -\left(2\pi m + \frac{\pi}{n}\right) \quad (112)$$

Si $\phi = 0$, se obtiene la expresión intermedia de la ecuación 113:

$$p = \frac{L_\lambda}{S_\lambda + m + (1/2n)} \quad (113)$$

Poniendo $m = 1$ en la ecuación 113, se llega a la ecuación 114:

$$p = \frac{L_\lambda}{S_\lambda + (2n + 1)/(2n)} \quad (114)$$

Al juntar y simplificar las ecuaciones 100 y 93, se tiene la ecuación 115 para el factor de fase del modo T_1R_1 :

$$\psi = 360^\circ \left[S_\lambda(1 - \cos \phi) + \frac{1}{2n} \right] \quad (115)$$

Dependiendo de las condiciones deseadas (ya sea de manera generalizada o específica con T_1R_1), la ecuación 115 permite obtener el patrón de radiación para las condiciones $12^\circ < \alpha < 15^\circ$, $\frac{3}{4} < C_\lambda < \frac{4}{3}$ y $n > 3$. El patrón de radiación completo se expresa en la ecuación 116:

$$E = \sin\left(\frac{90^\circ}{n}\right) \frac{\sin(n\psi/2)}{\sin(\psi/2)} \cos \phi \quad (116)$$

Ya con esas consideraciones se tienen los dos casos de patrón de la helicoide, con las variaciones de las ecuaciones 115 y 100 aplicadas en la ecuación 116.

3.4.7. Variaciones en la impedancia.

Cuando $C_\lambda < 2/3$ la impedancia terminal resulta muy sensible a cambios en la frecuencia. Cuando se está en el orden 1 y $2/3 < C_\lambda < 4/3$, la impedancia terminal es constante en función de la frecuencia. En general, la impedancia en modo axial de la antena helicoidal tiene un valor de 100 a 200 ohmios y viene dada por la ecuación 117 (Kraus, 1950):

$$R = 140 C_\lambda \quad [\text{ohmios}] \quad (117)$$

que es $\pm 20\%$ aproximadamente de las mediciones empíricas cuando se aplica a las condiciones $12^\circ < \alpha < 15^\circ$, $2/3 < C_\lambda < 4/3$ y $n > 3$.

3.4.8. Caso 3 del tratamiento de la helicoide.

Con lo anterior se puede hacer una tercera aproximación del patrón de radiación para los circuitos RLC. Si se considera que para el modo axial de transmisión 1 la resistencia va de 100 a 200 ohmios y que $R = 140 C_\lambda$ de la ecuación 117, aproximando $C_\lambda \approx 1$, con las condiciones $12^\circ < \alpha < 15^\circ$, $2/3 < C_\lambda < 4/3$ y $n > 3$, se pueden generar variaciones de patrones y frecuencias debidas a la naturaleza del patrón de radiación con un circuito RLC, haciendo uso de las ecuaciones 115 y 116 como base de la simulación.

4.. Metodología

4.1. Enfoque general de la metodología

El presente trabajo se desarrolla como un enfoque mixto que consta del análisis teórico de la conducta electromagnética de las antenas helicoidales y, después, de la aplicación computacional de los hallazgos mediante simuladores interactivos. El propósito de esta investigación es adoptar los modelos matemáticos obtenidos en los capítulos anteriores y traducirlos en herramientas visuales que permitan estudiar el comportamiento del modelo en cuestión de manera intuitiva y reproducible. En síntesis, consta de dos hitos por hacer. La primera parte implica la revisión y sistematización del marco contextual: geometría helicoidal, consideraciones sobre el funcionamiento en modo axial, función de velocidad de fase y el modelo general del patrón de radiación propuesto por MSV; los cuales se pueden recuperar, de los avatares previos, en los capítulos anteriores. En la segunda, se naturaliza todo el marco teórico al generar módulos interactivos de software donde sea posible manipular los parámetros físicos y observar el comportamiento en tiempo real. Se idearon cuatro módulos para ello, cada uno enfocado en un caso específico de funcionamiento.

Para todos los propósitos, el módulo uno se encarga de la simulación general del patrón de radiación para cualquier combinación posible de parámetros. El segundo restringe el análisis al primer modo de transmisión axial. El tercero incorpora el diseño desde una perspectiva circuital mediante un modelo RLC equivalente. El cuarto integra el análisis circuital con la simulación del patrón del primer modo de transmisión.

Esto representa el módulo más completo. Este diseño modular permite la comparación de resultados entre casos, la extrapolación del efecto de variables aisladas y la validación cualitativa de los resultados con respecto a las expresiones teóricas. La progresión de la complejidad desde los módulos más simples ayuda en la comprensión gradual del sistema a los futuros usuarios o investigadores.

4.2. Herramientas computacionales empleadas

Para la implementación de los simuladores se empleó el lenguaje de programación Python, elegido por su amplio ecosistema de librerías científicas y su capacidad para integrar cálculo numérico, visualización gráfica y desarrollo de interfaces en un mismo entorno.

Las librerías principales utilizadas se describen a continuación:

- NumPy proporciona las estructuras de arreglos y las rutinas de cálculo numérico que sostienen toda la evaluación matemática de los modelos, incluyendo funciones trigonométricas vectorizadas y operaciones de álgebra lineal.
- SciPy, específicamente su submódulo de funciones especiales, se empleó para evaluar las funciones de Bessel de primera especie que intervienen en el cálculo de la velocidad de fase.

- `Matplotlib` fue la librería central para la generación de gráficos, tanto en representaciones polares del patrón de radiación como en proyecciones tridimensionales de la helicoide. A través de su módulo de animación se generaron las secuencias de cuadros que conforman los archivos GIF de visualización dinámica.
- `Tkinter` se utilizó para la construcción de las interfaces gráficas de usuario, permitiendo al operador ingresar parámetros mediante campos de texto y controles deslizantes, y visualizar los resultados sin necesidad de modificar el código fuente.
- `Matplotlib.widgets` complementó la interacción dentro de las propias figuras, habilitando controles como potenciómetros deslizantes integrados en la ventana gráfica.

La combinación de estas herramientas permite la generación de gráficos tridimensionales, animaciones y la manipulación interactiva de parámetros, cubriendo de manera integral los requerimientos de visualización planteados en los objetivos del trabajo.

4.3. Arquitectura general del simulador

En la Figura 27 y el Pseudocódigo 1, se describe en modo de diagrama de flujo cómo es que trabaja la ventana principal del software. En ella se ha de notar la elección por parte del usuario para la resolución del problema de la helicoide de 4 maneras distintas, donde cada una de las opciones contiene una variedad de lo que se pretende hacer, entre ellas la ejecución de la simulación, la generación del gif, el muestreo de los cálculos obtenidos, la limpieza del gráfico en caso de que el usuario desee hacer una nueva visualización con la introducción de otros parámetros, calcular los parámetros y dibujar la helicoide.

El desarrollo del software se estructuró en módulos independientes, cada uno encargado de un tipo específico de simulación. Esta decisión de diseño obedece a criterios de claridad, mantenibilidad y extensibilidad: al mantener cada caso de uso en un módulo propio se facilita la identificación y corrección de errores, la reutilización de funciones auxiliares comunes y la incorporación de nuevas funcionalidades en el futuro.

De manera general, todos los simuladores siguen la misma lógica de funcionamiento, articulada en las etapas que se describen a continuación.

- a. Definición de parámetros de entrada: El usuario proporciona, a través de la interfaz gráfica, los valores de los parámetros físicos que caracterizan la antena helicoidal: ángulo de paso α , circunferencia C , número de vueltas, modo de operación y, según el módulo, parámetros eléctricos adicionales como voltaje, corriente y carga del capacitor. Cada campo incluye restricciones de rango que impiden la introducción de valores físicamente inválidos.
- b. Cálculo de parámetros geométricos y electromagnéticos: A partir de las entradas, se evalúan las relaciones derivadas que caracterizan completamente la geometría

helicoidal: radio R , diámetro D , espaciado entre vueltas S , longitud de arco L , altura máxima h y los parámetros normalizados C_λ , S_λ y L_λ , conforme a las ecuaciones 118 a 126.

- c. Evaluación del modelo matemático del patrón de radiación: Con los parámetros calculados se evalúa la función de velocidad de fase y, a partir de ella, la expresión del patrón de radiación correspondiente al módulo en cuestión. En esta etapa se aplican las restricciones físicas necesarias, como la limitación de la velocidad de fase a valores no superiores a la velocidad de la luz.
- d. Generación de la geometría de la helicoide: Se calculan las coordenadas tridimensionales de la curva helicoidal parametrizada, que representa la estructura física de la antena. Esta geometría sirve tanto como referencia visual como punto de partida para la animación del patrón de radiación a lo largo del eje de propagación.
- e. Visualización y animación de resultados: Los datos calculados se presentan mediante gráficas polares del patrón, representaciones tridimensionales de la helicoide y animaciones en formato GIF que ilustran la evolución del patrón conforme la señal recorre la antena. Los valores numéricos relevantes se despliegan en la interfaz como texto formateado.

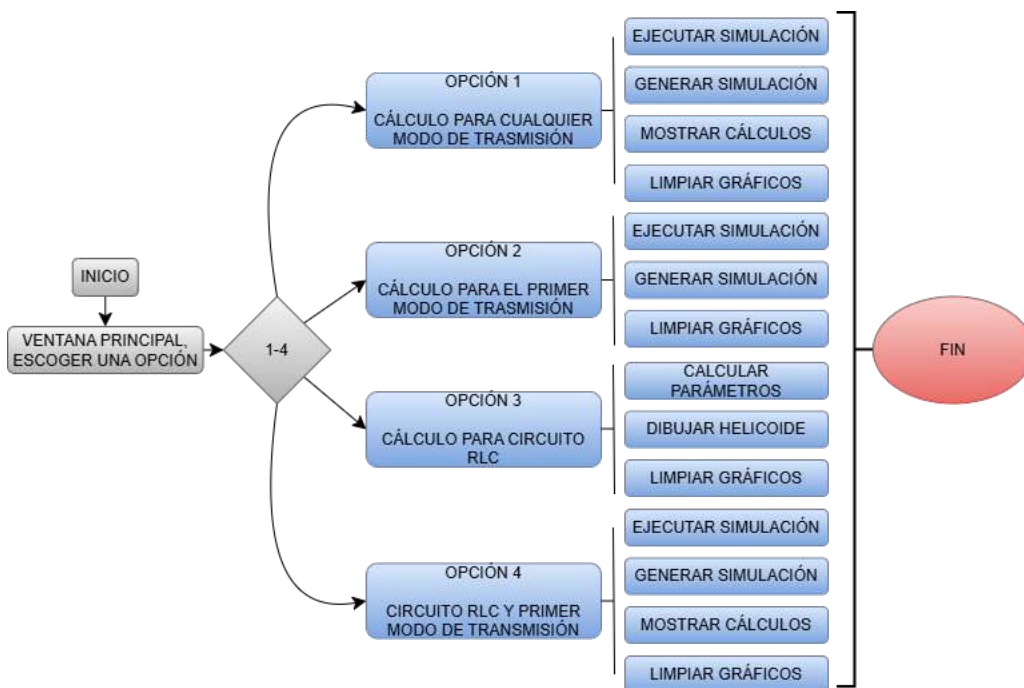


Figura 27: Diagrama de flujo acerca del software (autoría propia).

1 INICIO
2

```

3  Mostrar ventana principal
4
5  Mostrar menu con 4 opciones:
6      1. Simulacion completa
7      2. Primer modo de transmision
8      3. Circuito RLC
9      4. Simulacion acoplada RLC
10
11 Leer seleccion del usuario
12
13 SI opcion = 1:
14     Ejecutar modulo de simulacion general
15
16 SI opcion = 2:
17     Ejecutar modulo del primer modo de transmision
18
19 SI opcion = 3:
20     Ejecutar modulo de circuito RLC
21
22 SI opcion = 4:
23     Ejecutar modulo acoplado RLC
24 FINALIZAR

```

Código 1: Pseudocódigo del software (autoría propia).

Esta estructura común permite reutilizar funciones de cálculo y visualización entre módulos, y facilita la extensión del software hacia nuevos casos de operación.

4.4. Simulación del patrón de manera general

En la Figura 28 y el Pseudocódigo 2, se observa el diagrama de flujo de la primera opción que describe la simulación del patrón de radiación de manera general, donde se introduce los parámetros $0^\circ < \alpha < 90^\circ$, C , factor, $n > 0$ y m . Se valida la introducción, se hace el cálculo geométrico, se calcula la velocidad de fase a partir de un Bessel de primera especie donde se pone la condición de que $p < 1$ y el modo de transmisión m que se introduce en la ecuación ψ . A partir de esto ya se puede hacer la ejecución de la simulación, la generación del gif, el muestreo de los cálculos obtenidos, la limpieza del gráfico.

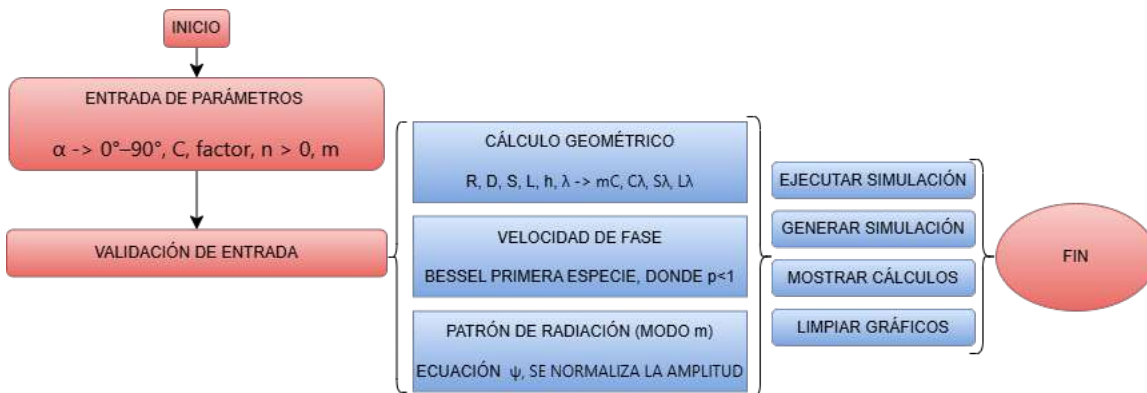


Figura 28: Diagrama de flujo acerca de la opción 1 (autoría propia).

```

1 INICIO
2
3 Leer parametros de entrada:
4   alpha, C, factor, n, m
5
6 Validar rangos fisicos:
7   0 < alpha < 90
8   C > 0
9   n > 0
10  m > 0
11
12 SI los parametros no son validos:
13   Mostrar mensaje de error
14   FINALIZAR
15
16 Calcular parametros geometricos:
17   R, D, S, L, h
18
19 Calcular longitud de onda:
20   lambda approx mC
21
22 Calcular parametros normalizados:
23   Clambda, Slambda, Llambda
24
25 Evaluar velocidad de fase:
26   Usar funciones de Bessel
27
28 SI p > 1:
29   p = 1
30
31 Evaluar patron de radiacion:
32   Usar ecuacin psi
33
34 Normalizar amplitud
35
36 Mostrar grafica tridimensional
  
```

```

37
38 SI usuario selecciona Ejecutar Simulacion:
39     Mostrar patron de radiacion
40
41 SI usuario selecciona Generar Simulacion:
42     Crear GIF
43
44 SI usuario selecciona Mostrar Calculos:
45     Mostrar resultados numericos
46
47 SI usuario selecciona Limpiar Graficos:
48     Limpiar interfaz
49
50 FIN

```

Código 2: Pseudocódigo acerca de la opción 1 (autoría propia).

El primer módulo tiene como propósito ofrecer una visión amplia del comportamiento del patrón de radiación de la antena helicoidal sin restricciones sobre el modo de operación, permitiendo explorar el espacio de parámetros de forma libre.

Los parámetros de entrada requeridos son el ángulo de paso α (entre 0° y 90°), la circunferencia C en metros (mayor a cero), un factor de escala para ajustar la visibilidad del patrón en pantalla, el número de vueltas (mayor a cero) y el modo de operación m , que es un entero positivo. El papel de m es central en este módulo: a mayor valor, el patrón incorpora más lóbulos interiores y su tamaño escala proporcionalmente, lo que corresponde físicamente a modos de orden superior de la antena helicoidal.

Con estos datos se calculan los parámetros geométricos derivados conforme a las siguientes relaciones. El radio de la hélice se obtiene como:

$$R = \frac{C}{2\pi} \quad (118)$$

el diámetro como:

$$D = 2R \quad (119)$$

el espaciado entre vueltas como:

$$S = C \tan \alpha \quad (120)$$

la longitud de arco por vuelta como:

$$L = \sqrt{C^2 + S^2} \quad (121)$$

la altura total de la antena como:

$$h = \text{vueltas} \cdot S \quad (122)$$

Para la normalización se adopta la aproximación:

$$\lambda \approx m \cdot C \quad (123)$$

de donde se obtienen directamente los parámetros normalizados:

$$C_\lambda = \frac{C}{\lambda} \quad (124)$$

$$S_\lambda = \frac{S}{\lambda} \quad (125)$$

$$L_\lambda = \frac{L}{\lambda} \quad (126)$$

A continuación se evalúa la función de velocidad de fase, cuya formulación general se apoya en las funciones de Bessel de primera especie, tal como se expresa en las ecuaciones 107, 108 y 109. Se aplica una restricción explícita: si el valor calculado de la fase supera la unidad, se fija en uno, pues un valor superior implicaría propagación superlumínica, lo cual carece de sustento físico. Adicionalmente se implementa una guarda contra divisiones entre cero para garantizar la estabilidad numérica del cálculo en condiciones extremas de los parámetros.

El patrón de radiación se evalúa con la forma generalizada de la ecuación 100. La amplitud se normaliza para que la representación gráfica sea consistente independientemente de la magnitud absoluta de los valores. Se introduce un factor de escala progresiva que amplía el patrón conforme la posición recorre la longitud de la hélice, facilitando la lectura visual de la animación. El parámetro de factor de entrada permite al usuario agrandar o reducir adicionalmente el patrón si las dimensiones en pantalla no resultan adecuadas.

La geometría tridimensional de la helicoide se genera mediante una parametrización en coordenadas cartesianas y se dibuja en un sistema de ejes tridimensionales. Sobre esta geometría se superpone la animación del patrón de radiación, mostrando cómo éste evoluciona a medida que la señal recorre cada vuelta de la antena. Finalmente, la interfaz presenta los valores numéricos de todos los parámetros calculados, incluyendo radio, diámetro, espaciado, longitud de arco, altura total y parámetros normalizados.

4.5. Simulación del patrón en modo de Transmisión 1

En la Figura 29 y el Pseudocódigo 3, se observa el diagrama de flujo de la segunda opción que describe la simulación del patrón de radiación abordado con resoluciones solamente con el primer modo de transmisión, donde se introduce los parámetros $12^\circ < \alpha < 15^\circ$, C , factor, $n > 3$ y $.75^\circ < C\lambda < 1.25$. Se valida la introducción, se hace el cálculo geométrico, se calcula la velocidad de fase a partir de un Bessel de primera especie donde se pone la condición de que $p < 1$ y el primer modo de transmisión en la ecuación ψ . A partir de esto ya se puede hacer la ejecución de la simulación, la generación del gif, el muestreo de los cálculos obtenidos, la limpieza del gráfico.

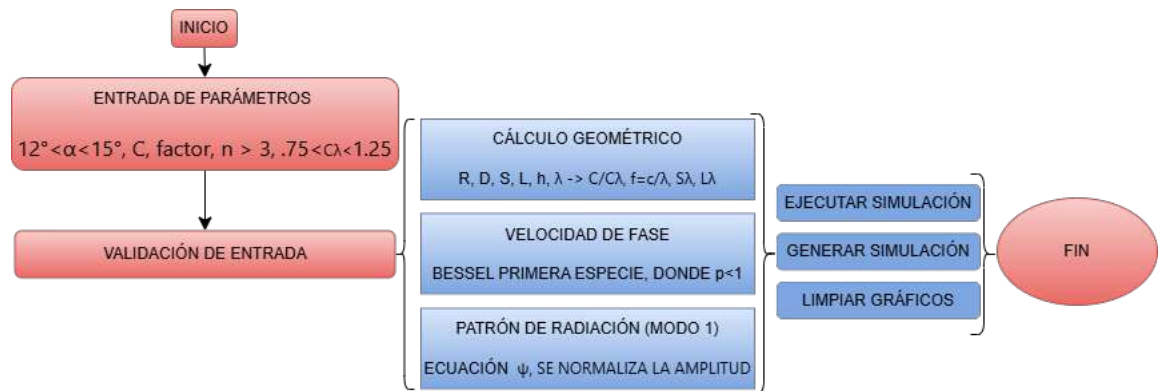


Figura 29: Diagrama de flujo acerca de la opción 2 (autoría propia).

```

1 INICIO
2
3 Leer parametros:
4   alpha, C, factor, n, Clambda
5
6 Validar condiciones:
7   12 < alpha < 15
8   n >= 3
9   0.75 < Clambda < 1.25
10
11 SI los parametros no son validos:
12   Mostrar mensaje de error
13   FINALIZAR
14
15 Calcular geometria:
16   R, D, S, L, h
17
18 Calcular longitud de onda:
19   lambda = C / Clambda
20 Calcular frecuencia:
21   f = c / lambda
22
23 Calcular parametros normalizados:
24   Slambda, Llambda
25
26 Evaluar velocidad de fase:
27   Funciones de Bessel
28
29 SI p > 1:
30   p = 1
31
32 Evaluar patron de radiacion:
33   Modo de transmision 1
34
35 Normalizar amplitud
  
```

```

36
37 Mostrar simulacion tridimensional
38
39 SI usuario selecciona Ejecutar Simulacion:
40     Mostrar patron de radiacion
41
42 SI usuario selecciona Generar Simulacion:
43     Crear GIF
44
45 SI usuario selecciona Limpiar Graficos:
46     Limpiar interfaz
47
48 FIN

```

Código 3: Pseudocódigo acerca de la opción 2 (autoría propia).

El segundo módulo restringe el análisis al primer modo de transmisión axial de la antena helicoidal, que es el modo de operación de mayor interés práctico, ya que produce un patrón con máximo de radiación en la dirección del eje de la hélice.

Para garantizar la operación en este modo, los parámetros de entrada se limitan a rangos específicos. El ángulo de paso α se acota entre 12° y 15° , que corresponde al intervalo donde se verifica empíricamente y teóricamente la operación axial. El número de vueltas debe ser mayor a tres, condición mínima para establecer un patrón axial estable. El parámetro C_λ se admite en el rango de 0.75 a 1.25, que define la banda de frecuencias en torno a la condición de resonancia circunferencial. El valor de la circunferencia C y el factor de escala se solicitan con las mismas restricciones que en el módulo anterior.

A diferencia del primer módulo, en este caso el patrón de radiación se evalúa mediante la ecuación 115, que incorpora la fase específica del primer modo de transmisión y garantiza la obtención del lóbulo axial característico. La normalización y la representación gráfica siguen el mismo procedimiento descrito anteriormente.

Los parámetros derivados se calculan con las mismas ecuaciones geométricas. La longitud de onda se obtiene mediante:

$$\lambda \approx \frac{C}{C_\lambda} \quad (127)$$

y la frecuencia de operación se calcula como:

$$f = \frac{c}{\lambda} \quad (128)$$

donde c es la velocidad de la luz en el vacío. Estos valores, junto con los parámetros geométricos y normalizados, se presentan en la interfaz al término de la simulación.

Se destaca que este módulo restringe los parámetros de entrada para garantizar la operación en modo axial, lo que permite validar los resultados obtenidos con la teoría presentada en capítulos anteriores y apreciar directamente el efecto de pequeñas variaciones en α y C_λ sobre la forma del patrón.

4.6. Modelo basado en circuito RLC

En la Figura 30 y el Pseudocódigo 4, se observa una parte del software que se encarga de dar la geometría necesaria en la antena para poder emitir diferentes patrones de radiación a partir de la introducción de los parámetros. Se introduce los parámetros $12^\circ < \alpha < 15^\circ$, V, I, carga, escala, flujo, n. Se valida la introducción, se hace el cálculo del circuito, se obtiene el rango de las impedancias para operar en el primer modo de transmisión y se da los resultados de la geometría de la antena. A partir de esto se dan resultados, se dibuja la helicoide y se limpian los gráficos.

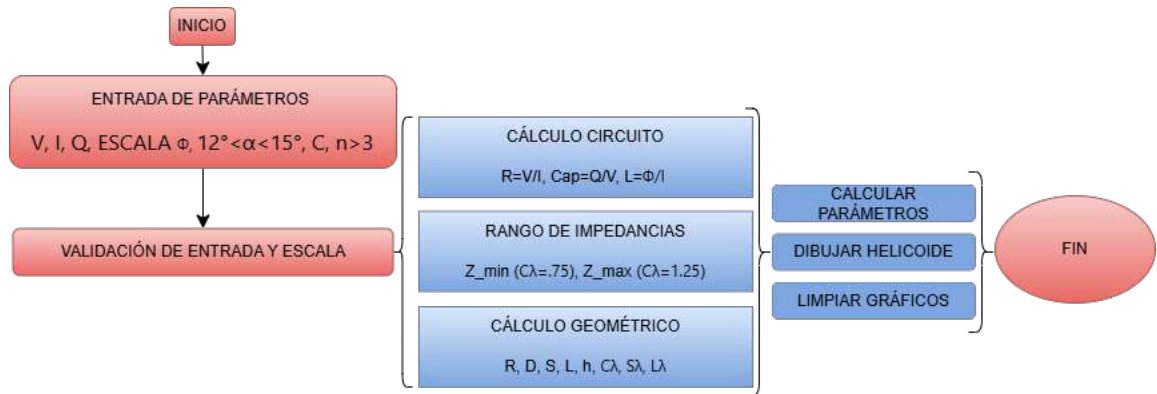


Figura 30: Diagrama de flujo acerca de la opción 3 (autoría propia).

```

1 INICIO
2
3 Leer parametros:
4   V, I, Q, phi, alpha, C, n
5
6 Validar parametros:
7   V > 0
8   I > 0
9   C > 0
10  n > 0
11  12 < alpha < 15
12
13 SI los parametros no son validos:
14   Mostrar mensaje de error
15   FINALIZAR
16
17 Calcular resistencia:
18   R = V / I
19
20 Calcular capacitancia:
21   Cap = Q / V
22
23 Calcular inductancia:
24   L = phi / I
25 Calcular rango de impedancias:
  
```

```

26     Zmin
27     Zmax
28
29 Calcular parametros geometricos:
30     R, D, S, L, h
31
32 Calcular parametros normalizados:
33     Clambda, Slambda, Llambda
34
35 SI usuario selecciona Calcular Parametros:
36     Mostrar resultados electricos y geometricos
37
38 SI usuario selecciona Dibujar Helicoide:
39     Mostrar helicoide 3D
40
41 SI usuario selecciona Limpiar Graficos:
42     Limpiar interfaz
43
44 FIN

```

Código 4: Pseudocódigo acerca de la opción 3 (autoría propia).

El tercer módulo aborda el diseño de la antena helicoidal desde una perspectiva circuital, estableciendo una analogía entre el comportamiento electromagnético de la antena y un circuito resonante de tipo RLC. Esta analogía facilita la interpretación del sistema desde un enfoque eléctrico clásico y permite estimar los valores de los componentes de un circuito equivalente que opera a la frecuencia de resonancia de la antena.

El punto de partida conceptual es que una antena tiene su máxima utilidad cuando la reactancia total del circuito equivalente es nula, condición que corresponde a la resonancia. Bajo esta premisa, los parámetros de entrada del módulo son: voltaje V , corriente I , carga del capacitor Q , una opción numérica entre uno y cuatro para seleccionar la escala del flujo magnético Φ en el inductor, el ángulo de paso α (entre 0° y 90°) y el número de vueltas (mayor a cero).

La resistencia equivalente se determina mediante la ley de Ohm:

$$V = I \cdot R \quad (129)$$

La capacitancia se calcula como:

$$C_{\text{cap}} = \frac{Q}{V} \quad (130)$$

y la inductancia como:

$$L_{\text{ind}} = \frac{\Phi}{I} \quad (131)$$

La condición de reactancia nula, combinada con la aproximación:

$$C \approx \lambda \quad (132)$$

permite derivar los valores extremos de impedancia que definen el rango de operación del potenciómetro simulado:

$$Impedancia_{\text{mín}} = Q \Phi \left(\frac{2\pi c}{C/0.75} \right)^2 \quad (133)$$

$$Impedancia_{\text{máx}} = Q \Phi \left(\frac{2\pi c}{C/1.25} \right)^2 \quad (134)$$

Estos límites corresponden respectivamente a los valores de C_λ de 0.75 y 1.25, es decir, a los extremos de la banda de operación del modo axial.

El módulo implementa funciones auxiliares específicas para este cálculo. Una función selecciona la escala del flujo magnético según la opción indicada por el usuario, cubriendo rangos desde valores en el orden de los microweber hasta los miliweber. Otra función determina el orden en circunferencia m más adecuado a los parámetros dados. Dos funciones adicionales se encargan de expresar la inductancia y la capacitancia calculadas con su notación científica correcta y sus unidades correspondientes, facilitando la lectura de los resultados.

El módulo genera el gráfico tridimensional de la helicoide y presenta todos los parámetros calculados: dimensiones geométricas de la antena, valores de los componentes RLC, rango de impedancias y parámetros normalizados. Como apoyo visual en la interfaz se incorpora el diagrama esquemático del circuito RLC implementado, mostrado en la Figura 31, elaborado con la herramienta Circuit Diagram (Diagram, 2026).

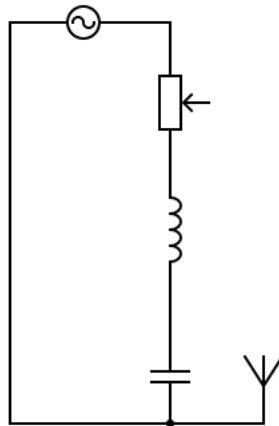


Figura 31: Circuito RLC equivalente utilizado en el módulo de diseño (Diagram, 2026).

Este modelo permite establecer una analogía entre el comportamiento electromagnético de la antena y sistemas eléctricos clásicos, facilitando su interpretación desde un enfoque circuital y abriendo la posibilidad de dimensionar físicamente los componentes de un circuito de alimentación.

4.7. Simulación acoplada: patrón de radiación y circuito RLC

En la Figura 32 y el Pseudocódigo 5, se observa el diagrama de flujo de la cuarta opción que describe una respuesta acoplada entre los resultados del circuito RLC y la simulación del patrón de radiación con el primer modo de transmisión, donde se introduce los parámetros $12^\circ < \alpha < 15^\circ$, V , I , factor, escala, valor de flujo, C , $n > 3$, rango del potenciómetro. Se valida la introducción, se hace el cálculo geométrico, el cálculo del circuito, el rango del potenciómetro, se calcula la velocidad de fase a partir de un Bessel de primera especie donde se pone la condición de que $p < 1$ y el primer modo de transmisión m que se introduce en la ecuación ψ . A partir de esto ya se puede hacer la ejecución de la simulación, la generación del gif, el muestreo de los cálculos obtenidos, la limpieza del gráfico.

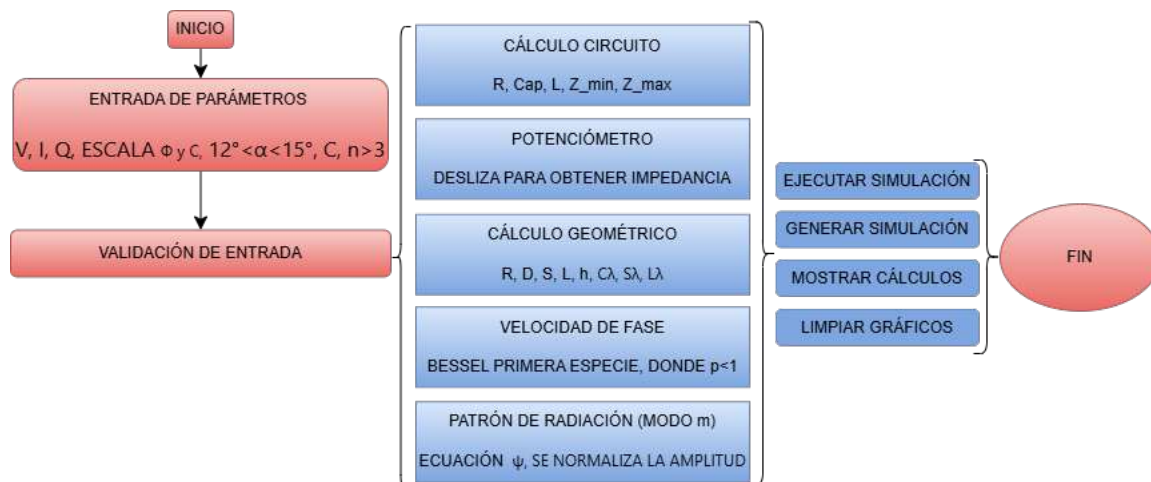


Figura 32: Diagrama de flujo acerca de la opción 4 (autoría propia).

```

1 INICIO
2
3 Leer parametros:
4   V, I, Q, phi, alpha, C, n
5
6 Validar parametros:
7   12 < alpha < 15
8   n => 3
9
10 SI los parametros no son validos:
11   Mostrar mensaje de error
12   FINALIZAR

```

```

13
14 Calcular circuito RLC:
15     R, Cap, L
16
17 Calcular rango de impedancias:
18     Zmin, Zmax
19
20 Inicializar potencioetro
21
22 Mientras el potencioetro cambie:
23     Recalcular impedancia
24     Recalcular corriente
25     Recalcular frecuencia
26     Recalcular lambda
27
28 Calcular geometria:
29     R, D, S, L, h
30
31 Calcular velocidad de fase:
32     Funciones de Bessel
33
34 Evaluar patrón de radiación:
35     Primer modo de transmisión
36
37 Normalizar amplitud
38
39 SI usuario selecciona Ejecutar Simulación:
40     Mostrar patrón
41
42 SI usuario selecciona Generar Simulación:
43     Crear GIF
44
45 SI usuario selecciona Mostrar Cálculos:
46     Mostrar resultados eléctricos y geométricos
47
48 SI usuario selecciona Limpiar Gráficos:
49     Limpiar interfaz
50
51 FIN

```

Código 5: Pseudocódigo acerca de la opción 4 (autoría propia).

El cuarto módulo representa la integración completa de los enfoques anteriores, combinando el modelo circuital RLC con la simulación del patrón de radiación del primer modo de transmisión. Es el módulo de mayor complejidad y el que ofrece una visión más completa de la relación entre los parámetros eléctricos y el comportamiento radiante de la antena.

Los parámetros de entrada son los mismos que en el módulo RLC, con la adición de los que garantizan la operación en el primer modo axial: el ángulo de paso α se restringe al rango entre 12° y 15° , el número de vueltas debe ser mayor a tres, y se

solicitan el valor de la circunferencia C en metros y un parámetro de orden c para seleccionar la escala de magnitud de dicha circunferencia. Esta última incorporación permite al usuario trabajar con antenas de distintas dimensiones físicas sin modificar los valores adimensionales del problema.

El elemento central de este módulo es la función de potenciómetro, que simula el ajuste continuo de la resistencia dentro del rango definido por las ecuaciones 133 y 134. A medida que el usuario desplaza el control deslizante en la interfaz, el módulo recalcula en tiempo real los valores de corriente, inductancia, frecuencia de operación, longitud de onda y los parámetros normalizados C_λ , S_λ y L_λ . Este mecanismo ilustra cómo el ajuste de la impedancia del circuito de alimentación modifica las condiciones de operación electromagnética de la antena.

El patrón de radiación se evalúa y grafica empleando la ecuación 115, consistente con el primer modo de transmisión. La animación se genera con el mismo mecanismo de inicialización y actualización de cuadros descrito en los módulos anteriores. De esta forma, el usuario puede observar simultáneamente la geometría de la antena, el patrón de radiación animado y los valores numéricos que cambian en función de la posición del potenciómetro.

Este módulo representa la integración completa del modelo, permitiendo observar la influencia de parámetros eléctricos en el patrón de radiación y constituyendo la herramienta de análisis más rica de las cuatro desarrolladas.

4.8. Validación y alcance del modelo

Los resultados obtenidos mediante los simuladores se comparan cualitativamente con las expresiones teóricas desarrolladas en los capítulos anteriores, verificando su coherencia dentro de los rangos de operación establecidos. Esta comparación se realiza en dos niveles.

- a. En este nivel se verifica que las tendencias observadas en el patrón de radiación al variar cada parámetro son consistentes con lo predicho por la teoría. Por ejemplo, al incrementar el número de vueltas manteniendo fijos los demás parámetros, el lóbulo principal del patrón en modo axial se estrecha, comportamiento que es coherente con la expresión teórica del patrón y con los resultados reportados en la literatura de referencia. De manera análoga, las variaciones en α fuera del rango óptimo producen la degradación del lóbulo axial esperada por la teoría.
- b. En el segundo nivel se comprueba que los valores numéricos calculados por el software, como la frecuencia de operación, la longitud de onda y los parámetros normalizados, corresponden correctamente a los que se obtendrían evaluando manualmente las expresiones teóricas con los mismos parámetros de entrada. Esta verificación se realizó para un conjunto representativo de configuraciones durante el proceso de desarrollo.

Es importante señalar que el modelo implementado corresponde a una aproximación teórica basada en las expresiones de MSV para la velocidad de fase y el patrón de radiación. Su validez depende de las condiciones asumidas en el análisis: hélice conductora ideal, espacio libre homogéneo, ausencia de efectos de borde y de la estructura de soporte físico de la antena. Los resultados obtenidos son por tanto una representación del comportamiento ideal del sistema y deben interpretarse como una herramienta de análisis y diseño preliminar, no como una sustitución de la simulación electromagnética de onda completa o de la medición experimental.

Dentro de estos límites, el conjunto de simuladores desarrollados cumple el objetivo de proporcionar una herramienta intuitiva y computacionalmente accesible para el estudio y la enseñanza del comportamiento radiante de las antenas helicoidales.

4.9. Consideraciones finales de implementación

La finalidad de esta sección ha sido proporcionar una descripción general y razonada del funcionamiento de los simuladores desarrollados, explicando la lógica de cada etapa y las decisiones de diseño que la sustentan. No se ha pretendido detallar exhaustivamente cada rutina de cálculo, sino ofrecer una guía clara del proceso seguido que permita a un lector familiarizado con programación científica reproducir el trabajo o extenderlo.

Algunas consideraciones prácticas merecen mención adicional. En todos los módulos se implementaron validaciones de los parámetros de entrada que informan al usuario cuando un valor introducido cae fuera del rango permitido, evitando la generación de resultados sin sentido físico. Las funciones de dibujo y animación se parametrizaron de modo que el número de cuadros y la velocidad de la animación pueden ajustarse fácilmente sin modificar la lógica del cálculo. La separación entre las funciones de cálculo, las de generación gráfica y las de construcción de la interfaz facilita el mantenimiento y la reutilización del código.

El código fuente completo de los cuatro módulos se presenta en el Anexo 1, con el propósito de permitir su reproducción, modificación y extensión en trabajos futuros. Se incluyen comentarios en línea que explican las secciones menos evidentes, con especial atención a la implementación de las funciones de Bessel, la lógica de la animación y el manejo de la interfaz gráfica.

5.. Resultados y discusión

5.1. ¿Por qué es relevante una simulación?

Existen múltiples razones que justifican la relevancia de una simulación. De los principales que se consideran es que se tiene la necesidad de poder construir un comportamiento adecuado sin el uso de un software que requiera de un gran precio.

Con esto se puede identificar la direccionalidad, la ganancia, las zonas de radiación y sus lóbulos.

5.1.1. Precios de un software en el mercado.

Se dedica una sección especialmente a los distintos precios del mercado, donde una de las estrategias más utilizadas es ofrecer mensualidades o anualidades para la obtención de licencias de los softwares más empleados en el campo de la ingeniería (Polimetro, 2025), como Ansys, SolidWorks, AutoCAD o Mathematica. Junto a estos, también se desarrollan otros programas orientados al uso, la investigación y el desarrollo en electromagnetismo.

Se consultó acerca de algunos precios en el mercado. Algunos de ellos fueron:

- AN-SOF. Es un software que se encarga del análisis ... Sus precios oscilan entre 799-1199 USD por el uso de su licencia de software, con mayor precio, mayores son los beneficios. Se puede hacer la gráfica de diagramas de Smith para las impedancias, graficar los lóbulos en coordenadas esféricas y observar el patrón de radiación en 3D de antenas con diferentes configuraciones. Esta información se obtuvo de su página web (Engineering, 2025).
- Por otro lado tenemos el Software ofrecido por REMCOM con su programa XFtdt o XGtd que es un software que utiliza el método de diferencias finitas con dominio de tiempo. Se ven análisis de dipolos, parches, celulares con sus antenas, manejo de 5G, solucionador de circuitos, editor de esquemas, predicción de ruptura dieléctrica, optimizador de elementos, simulación electromagnética, etc. Esta información fue verificada gracias a (Remcom, 2024).
- Podemos tener la opción de uso, si se conoce cómo programar con MATLAB, hacer uso de Antena Toolbox que diseña, analiza, visualiza elementos de Antenas, solucionador electromagnético, estudio de ubicaciones de Antenas, cálculos de sección transversal de radar, flujos de trabajo con IA, reconstrucción de patrones de radiación con Deep Learning, optimización de diseños de Antenas, exportación de archivos CAD, integrar arrays de Antenas, simulación de algoritmos Beamforming, etc. Verificando el precio de la licencia, se puede otorgar por anualidades o de por vida y el precio depende del tipo de plan que se desee contratar (MathWorks, 2019):
 - Standard anual: 2440 USD.

- Standar perpetuo: 6100 USD.
 - Startups anual: 4090 USD.
 - Académico anual: 275 USD.
 - Académico mensual: 550 USD.
 - Estudiantil perpetuo: 99 USD.
 - Para casa perpetuo: 149 USD.
- Otra manera de hacer análisis de antenas es con el uso de ANSYS y su extensión llamada HFSS. Donde una licencia anual individual comienza por 40000 USD o por un plan empresarial alcanzar hasta 500000 USD (Lavi, 2025).

5.1.2. Los softwares de libre uso.

El propósito de esta sección es mencionar que, en el mundo tecnológico, sí existen softwares en el mercado que son de libre uso. Uno de ellos, y de los más completos, es VEMSA3D. Entonces, ¿con qué fin se realiza algo que ya existe? Este tipo de cuestionamientos resultan reduccionistas en su perspectiva, ya que el software desarrollado en este trabajo contempla cuatro casos distintos enfocados específicamente en la antena helicoidal: un análisis sin restricciones de modo de operación, la explicación del primer modo de transmisión, un modelo basado en circuitos RLC y su simulación acoplada. Por lo tanto, es claro que no se trata del mismo tipo de trabajo, ni del mismo problema, ni del mismo enfoque que los ya existentes.

A continuación, se presentan algunos softwares de libre uso disponibles en el mercado:

- 4nec2: es una herramienta utilizada para la visualización y optimización de antenas en formato 2D y 3D, que sí permite simular patrones de radiación (Voors, 2021). Proporciona el cálculo de diversos parámetros previamente mencionados, como SWR, ganancia, impedancia, entre otros.
- Antennavis: puede ejecutarse a través de OnWorks mediante el uso de comandos. Permite visualizar antenas y sus patrones desde distintos ángulos, trabajando con NEC para la parte electromagnética (OnWorks, 2026).
- openEMS: es un simulador de nivel investigativo que se utiliza mediante Python y MATLAB. Es una herramienta de código abierto que no es amigable para usuarios sin experiencia, ya que requiere conocimientos en programación (similares a los empleados en este trabajo). Es ampliamente utilizado en el área de antenas (Fedeli et al., 2019).
- VEMSA3D (Visual EM Simulator for 3D Antennas): es un software de código abierto enfocado en la visualización y enseñanza, con diseños avanzados que permiten la modificación del código. Ofrece opciones como el cambio de colores en

los patrones de radiación, así como la obtención de resultados y representaciones gráficas (Kostis et al., 2010).

Los dos primeros softwares mencionados son accesibles para cualquier usuario. Sin embargo, funcionan como una “caja negra”, ya que no explican los procesos internos, aunque permiten visualizar correctamente los patrones de radiación.

Por otro lado, los dos últimos softwares requieren un mayor nivel de conocimientos en programación, uso de computadoras y fundamentos de física. De estos, VEMSA3D destaca como el más completo, como ya se ha mencionado anteriormente.

Al realizar una comparación, se observa que estos softwares están diseñados de manera general para el análisis y diseño de antenas, aprovechando su naturaleza de código abierto. Esto evidencia que existe una amplia variedad de herramientas disponibles en el mercado. No obstante, la diferencia del software desarrollado en este trabajo radica en que está orientado a un problema específico, abordado desde cuatro enfoques distintos, además de ser más interactivo y didáctico. Adicionalmente, incorpora la generación de animaciones de la emisión, a diferencia de otras herramientas.

5.1.3. La necesidad de tener nuestro propio software.

- Cabe destacar que la libertad de que al tener a la mano un Software de código abierto se permite modificar el algoritmo con la geometría y el patrón de radiación para así poder obtener la información requerida dependiendo del tipo de nueva Antena que deseen analizar los estudiantes.
- No se subestima el trabajo, ni el propósito es desvalorizar el valor intelectual, pero un Software propio reduciría los costos al evitar pagar licencias y se tendría mayor independencia frente al uso de políticas que se requieren aceptar con el uso de estos.
- Es posible hacer uso nuevamente de este Software para su optimización, integración de información sobre otros tipos de Antenas, la independencia tecnológica al no depender de empresas que podrán ya no existir o, a pesar de existir software de acceso libre, este suele funcionar como una caja negra, en la que no son claros los procesos que subyacen a los cálculos.
- Sobre todo, es una gran contribución académica para el uso de futuras investigaciones o implementaciones del programa en la carrera de ingeniería física. El valor intelectual permanece dentro de la institución.

Si se observa esta información, es claro que se puede considerar que los precios están sobrevalorados. Es razonable decir que la formación en ingeniería física proporciona las capacidades de poder desarrollar un Software gracias a la formación que la institución le imparte, con ayuda de las herramientas que se le proporcionaron, teniendo los cimientos del electromagnetismo, la electrodinámica, el análisis de radiación, el pensamiento crítico, la formación físico-matemática, el razonamiento lógico, el uso de lenguajes de programación como Python.

5.2. Sobre el software.

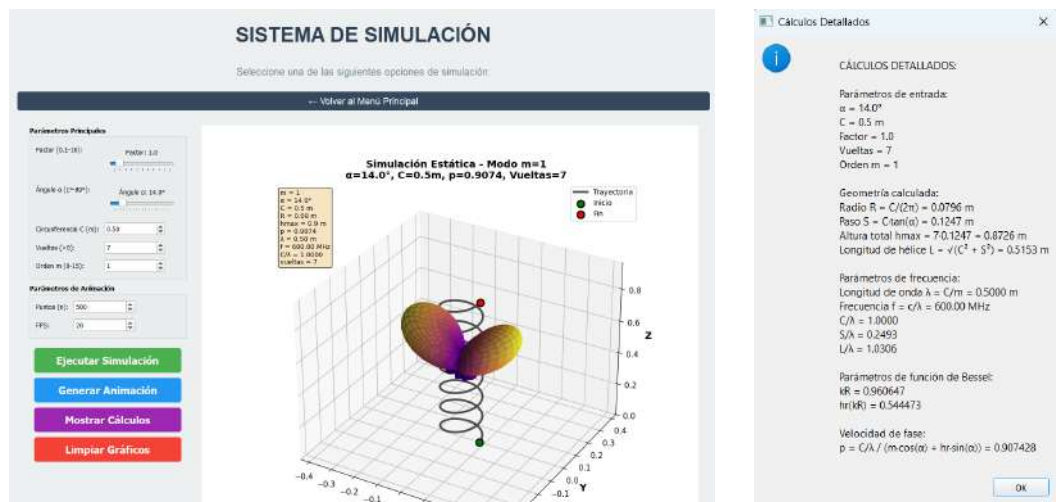
Se procedió a elaborar la ventana gráfica que incluyera las 4 opciones. El diseño se ve en la figura 33. Las listas de opciones son:

- a. Simulación completa del patrón en una Helicoide. Esta opción se usa para la descripción del patrón de radiación de manera general, con todos los modos de transmisión posibles.
- b. Simulación patrón de orden de transmisión 1. Esta interfaz describe de manera adecuada al primer modo de transmisión y sus límites físicos.
- c. Cálculo de diseño de la Helicoide con circuito RLC. Se usa para diseñar un circuito muy sencillo que pueda describir los parámetros que se ocupan para que la Helicoide transmita en el primer modo y su rango de impedancias que se traten por un potenciómetro.
- d. Simulación del patrón de orden 1 con circuito RLC. Con ayuda de la opción 3, se introducen las características y opera conforme al primer modo de transmisión en un circuito RLC.



Figura 33: Interfaz del programa con 4 opciones (autoría propia).

Una vez hecha la parte teórica para las ecuaciones y la experimental para los códigos, se diseñó la interfaz para la primera opción ya comentada. Esta opción solicita el “factor” que permite aumentar o disminuir el tamaño del patrón de radiación; se solicita un ángulo entre 0 y 90, una circunferencia, un número de vueltas mayor a 0 y el modo de transmisión. Existen varias opciones: la opción de “Ejecutar Simulación”, que ejecuta y muestra la imagen de cómo se observa el patrón, como se muestra en la figura 34a; la opción de “Generar Animación”, que crea el GIF de animación; la opción de “Mostrar Cálculos”, que presenta los resultados de geometría, los parámetros de emisión, los parámetros de la función de Bessel y la velocidad de fase, como se muestra en la figura 34b; y la opción de “Limpiar Gráficos”.



(a) Opción 1 del programa, simulación (autoría propia).

(b) Opción 1 del programa, cálculos (autoría propia).

Figura 34: Opción 1 del programa.

La siguiente interfaz que se generó fue destinada para el modo de transmisión 1 ya explicado. En esta se solicita el ángulo $12 < \alpha < 15$, la circunferencia, el factor que aumenta el tamaño del patrón, el número de vueltas con $n \geq 3$ y el valor de $.75 < C_\lambda < 1.25$ para determinar la frecuencia. Se cuenta con la opción de “Ejecutar Simulación”, que ejecuta y muestra la imagen de cómo se observa el patrón; la opción de “Generar Animación”, que crea el GIF; y la opción de “Limpiar Gráficos”. Todo esto se puede observar en la figura 35.

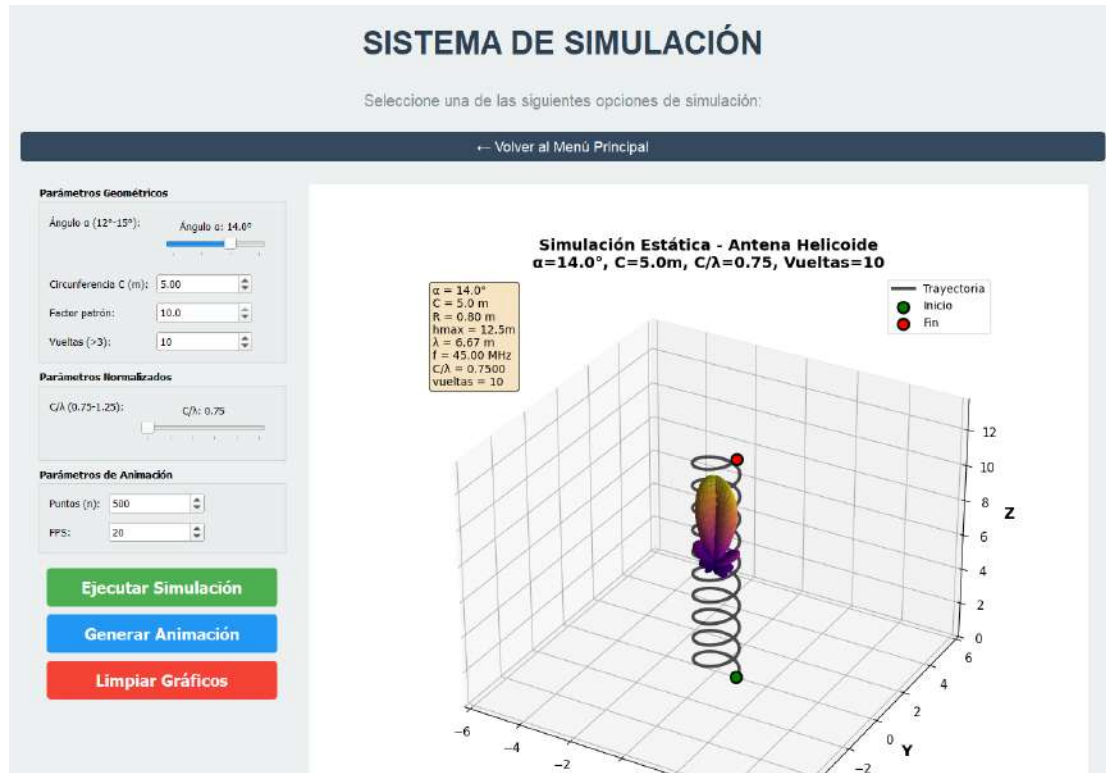


Figura 35: Opción 2 del programa, simulación (autoría propia).

Para la tercera interfaz, se incorporó la imagen de un circuito RLC con el fin de hacer más representativa la relación con el programa. Esta sección opera en el modo de transmisión 1, por lo que se solicita el ángulo $12 < \alpha < 15$, la circunferencia, el factor que aumenta el tamaño del patrón, el número de vueltas con $n \geq 3$, el voltaje del circuito, la corriente, la carga del capacitor y el flujo del inductor.

Se cuenta con la opción de “Calcular Parámetros”, mostrada en la figura 36b, la cual calcula $C_\lambda = 1$, la capacitancia, la inductancia, la frecuencia, λ , la circunferencia, el radio, la altura, la longitud de vuelta, el rango de frecuencias que se pueden adaptar para $m = 1$, así como el rango de impedancias necesario para la implementación de un potenciómetro en el circuito. También se dispone de la opción de “Dibujar Helicoide”, que genera la imagen como se observa en la figura 36a, y la opción de “Limpiar”. Todo esto se puede observar en la figura 36.



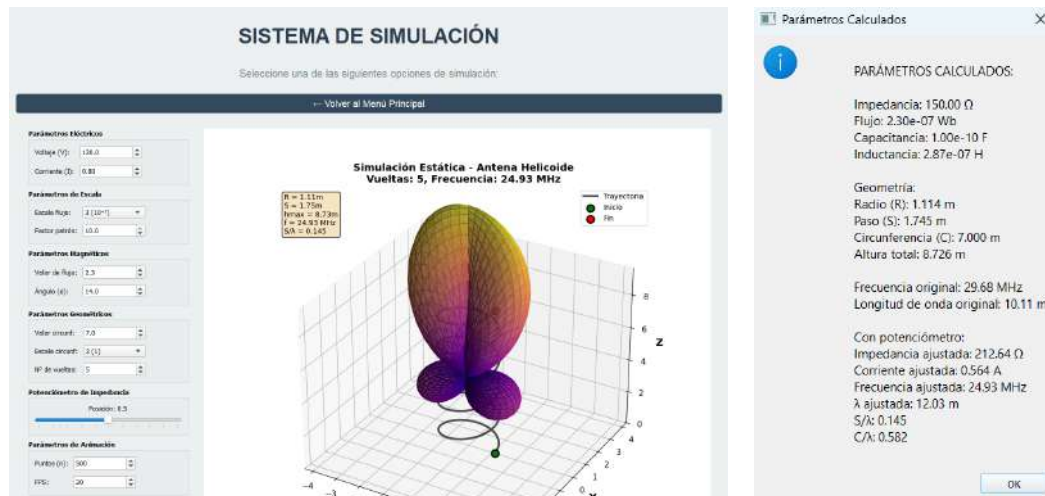
(a) Opción 3 del programa, diseño (autoría propia).

(b) Opción 3 del programa, cálculos (autoría propia).

Figura 36: Opción 3 del programa.

La opción 4 genera una interfaz que solicita los parámetros para el modo de transmisión 1. En esta se requiere el ángulo $12 < \alpha < 15$, la circunferencia, el factor que aumenta el tamaño del patrón, el número de vueltas con $n \geq 3$, el voltaje del circuito, la corriente, la carga del capacitor y el flujo del inductor; además, se introduce un potenciómetro para abarcar la impedancia correspondiente a este modo de transmisión.

Se cuenta con la opción de “Ejecutar Simulación”, que ejecuta y muestra la imagen de cómo se observa el patrón, como se presenta en la figura 37a; la opción de “Generar Animación”, que crea el GIF; la opción de “Mostrar Cálculos”, que presenta los resultados de la impedancia, el flujo, la capacitancia, la inductancia, el radio, la longitud entre vueltas, la circunferencia, la altura, el rango del potenciómetro, la corriente ajustada a $C_\lambda = 1$, la frecuencia y λ ajustadas a $C_\lambda = 1$, así como los valores de C_λ y S_λ , como se observa en la figura 37b; y la opción de “Limpiar Gráficos”.



(a) Opción 4 del programa, simulación (autoría propia).

(b) Opción 4 del programa, cálculos (autoría propia).

Figura 37: Opción 4 del programa.

5.3. Larmor.

Durante el desarrollo de este trabajo se piensa que el análisis de Larmor no funcionaba ya que era obsoleto, sin embargo al observar la Figura 21, se puede ver una región específica tomada para valores de orden de transmisión $m = 0$, donde su región va en el rango de valores de L_λ, C_λ y S_λ son menores a 0.5. Cuando esto sucede, pasa algo interesante. Si graficamos con ayuda de nuestro programa en la opción 1 lo que se observa es un comportamiento del patrón de radiación de tipo dipolo, lo que significa que Larmor sí es una aproximación de una antena Helicoidal sólo que a parámetros muy específicos como los antes mencionados.

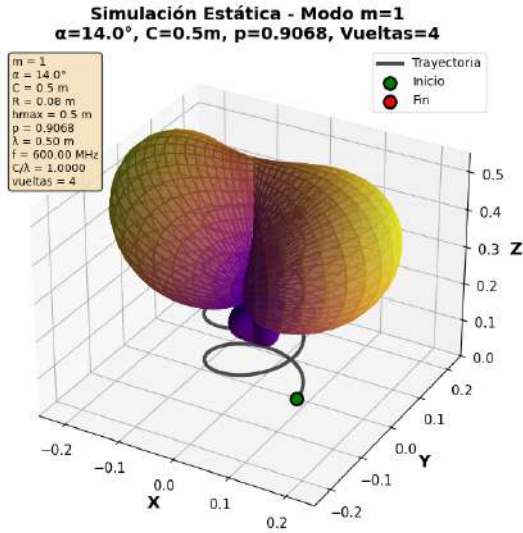


Figura 38: Larmor simulado con parámetros específicos (autoría propia).

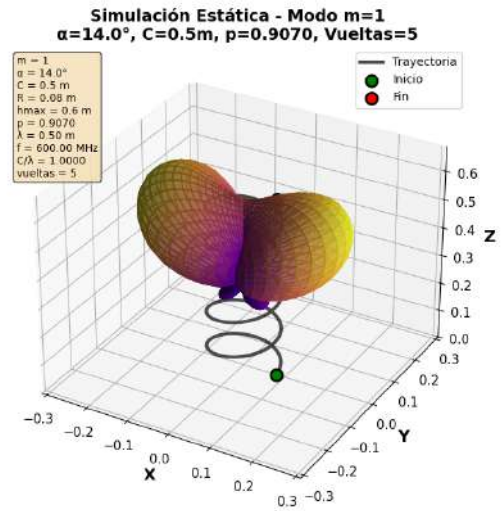
En la Figura 38, se observa el comportamiento de un dipolo. Se ha de señalar que es un aproximado, debido a que el programa de la opción 1 sólo permite un $C_\lambda \approx 1$, por lo que es un aproximado de la verdadera forma pero la naturaleza dipolar es evidente.

5.4. Validación contra la teoría.

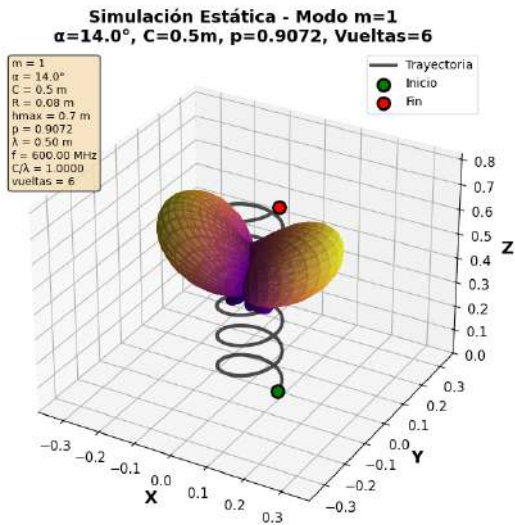
5.4.1. A mayor número de vueltas, el patrón se estrecha.



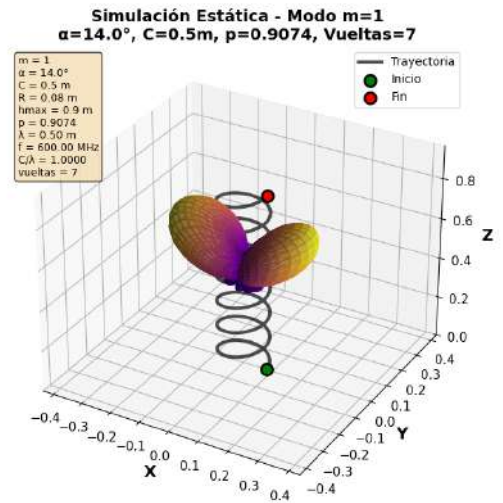
(a) Modo $m = 1$, 4 vueltas.



(b) Modo $m = 1$, 5 vueltas.



(c) Modo $m = 1$, 6 vueltas.



(d) Modo $m = 1$, 7 vueltas.

Figura 39: Comparación del patrón de radiación de la antena helicoidal para diferentes números de vueltas en el modo de transmisión $m = 1$ (autoría propia).

En la Figura 39 se puede observar en los resultados que el factor de paso p (recordemos que si este factor es 1, es igual a la velocidad de la luz) aumenta conforme el número de vueltas. El patrón se estrecha de manera proporcional conforme el aumento del número de vueltas.

Por otro lado, se observa que las vueltas no influyen en la longitud de onda resultante, pero sí en el incremento de lóbulos secundarios del patrón de radiación. Por lo que lo más correcto dentro de un diseño es no incrementar demasiado el número de las vueltas.

5.4.2. A mayor modo de transmisión mayor tamaño y lóbulos.

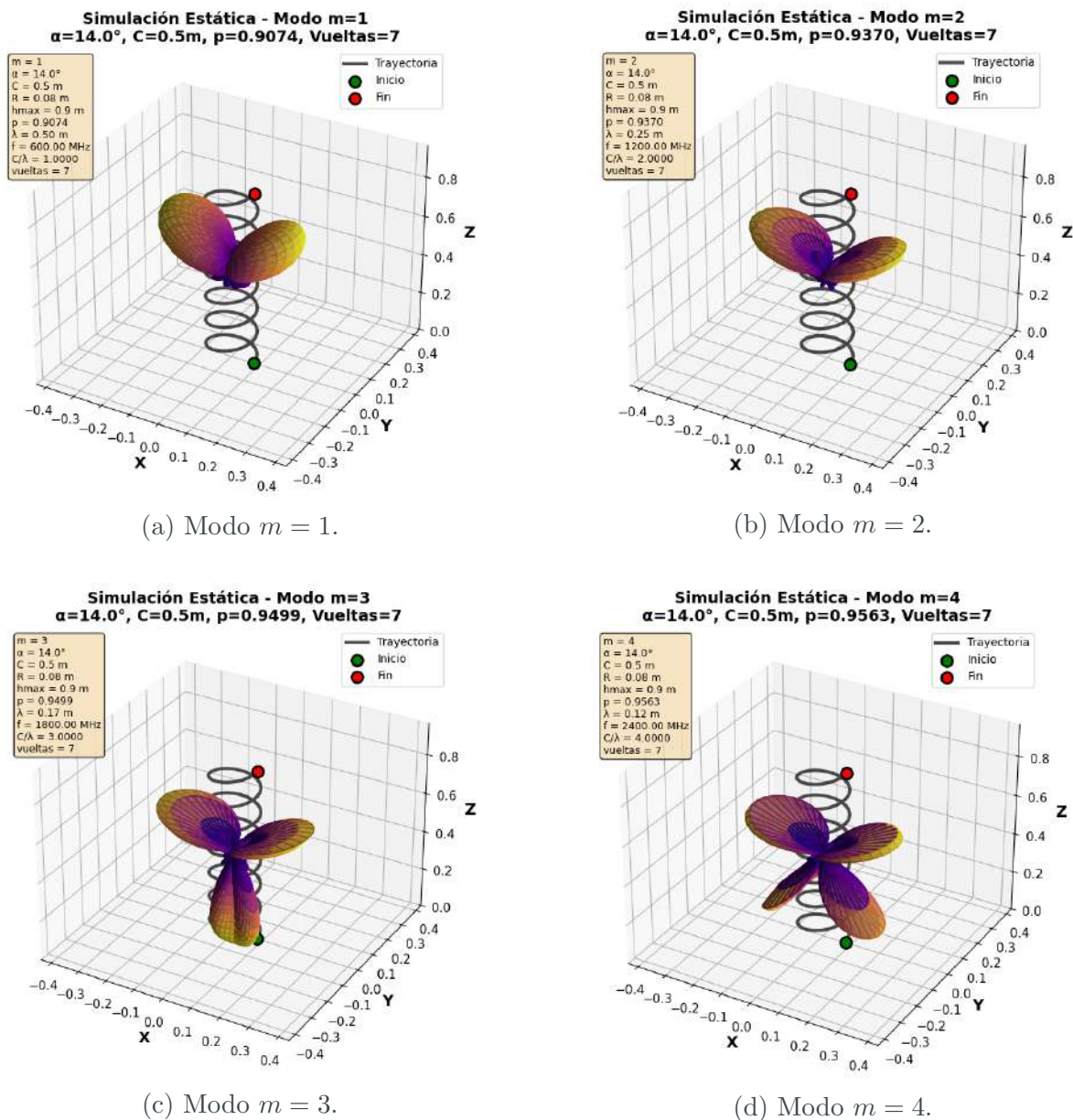
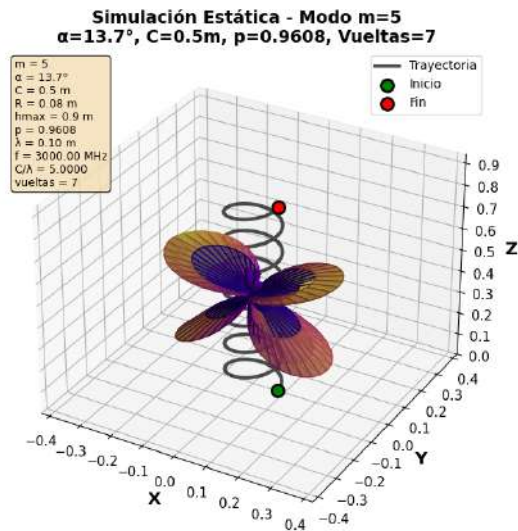


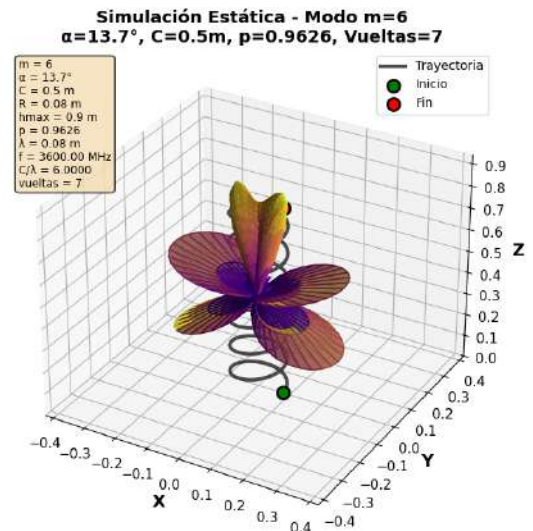
Figura 40: Comparación del patrón de radiación de la antena helicoidal con diferentes modos de transmisión parte 1 (autoría propia).

Ahora, en la Figuras 40 y 41 se optó por hacer un análisis al incremento de los

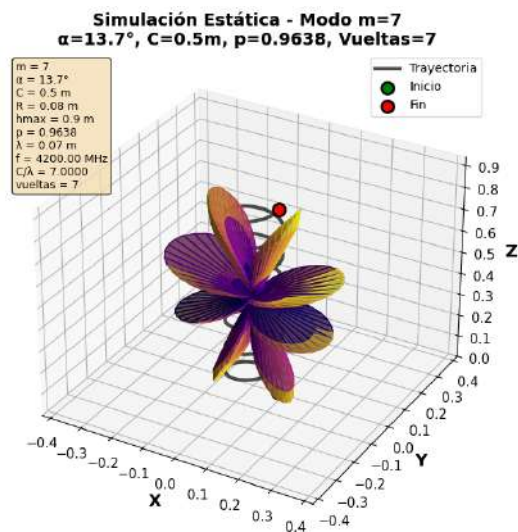
modos de transmisión 1-8, aquí se puede observar un cambio en la frecuencia de los patrones que pasaron de 600MHz a 4800MHz, lo que nos indica que es un parámetro altamente relacionado con la operación en la que trabaja la antena. También se observó que el incremento tanto de lóbulos secundarios como de lóbulos principales, de éstos últimos pasaron de 2 a 8. El factor p también se vio afectado, donde pasó de 0.9074 a 0.9648



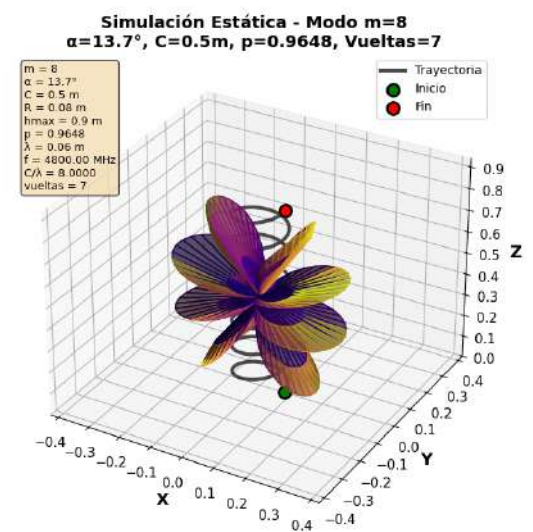
(a) Modo $m = 5$.



(b) Modo $m = 6$.



(c) Modo $m = 7$.

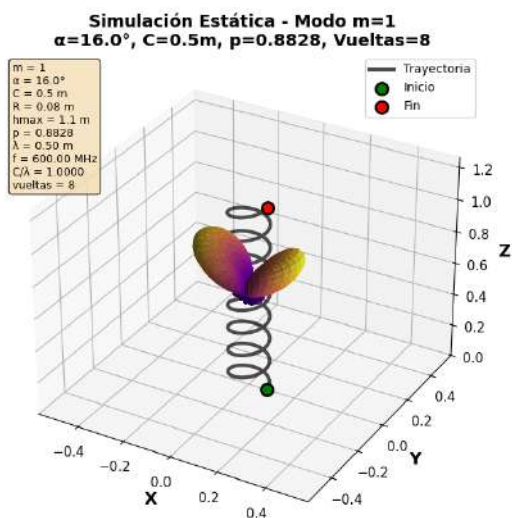


(d) Modo $m = 8$.

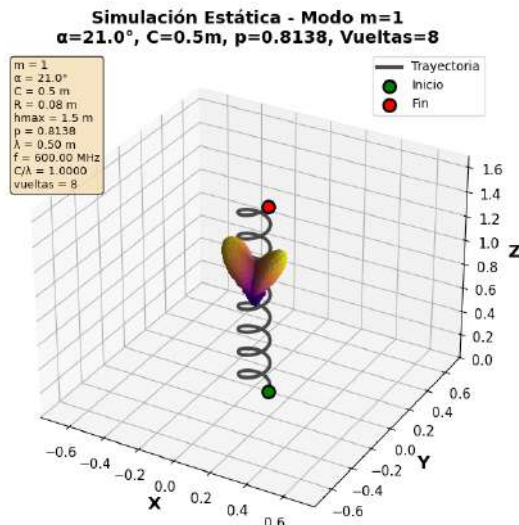
Figura 41: Comparación del patrón de radiación de la antena helicoidal con diferentes modos de transmisión parte 2 (autoría propia).

5.4.3. El patrón tiene deformaciones fuera de rango de alpha.

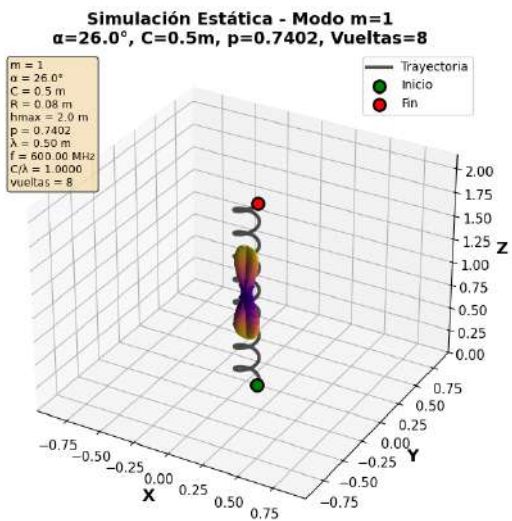
Con las variaciones que se hicieron fuera del rango donde la antena opera normalmente el ángulo $\alpha(12^\circ - 15^\circ)$. Se encontraron diversas deformaciones en los patrones de radiación.



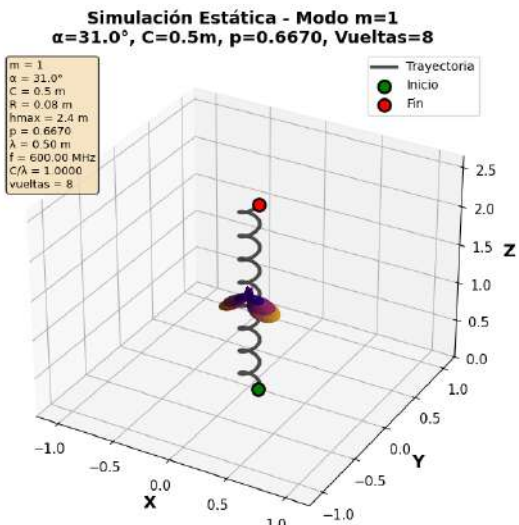
(a) Ángulo $\alpha = 16^\circ$.



(b) Ángulo $\alpha = 21^\circ$.



(c) Ángulo $\alpha = 26^\circ$.



(d) Ángulo $\alpha = 31^\circ$.

Figura 42: Comparación del patrón de radiación de la antena helicoidal variando el ángulo parte 1 (autoría propia).

Lo primero a observar en las figuras 42, 43 y 44 es que con el aumento del ángulo, el parámetro p disminuye drásticamente donde pasa de .8828 a .0411. Se pasa de

tener lóbulos bien definidos como en 42a a un lóbulo totalmente aplanado de manera horizontal en 43a e incluso tener una cantidad de 10 lóbulos en 44c.

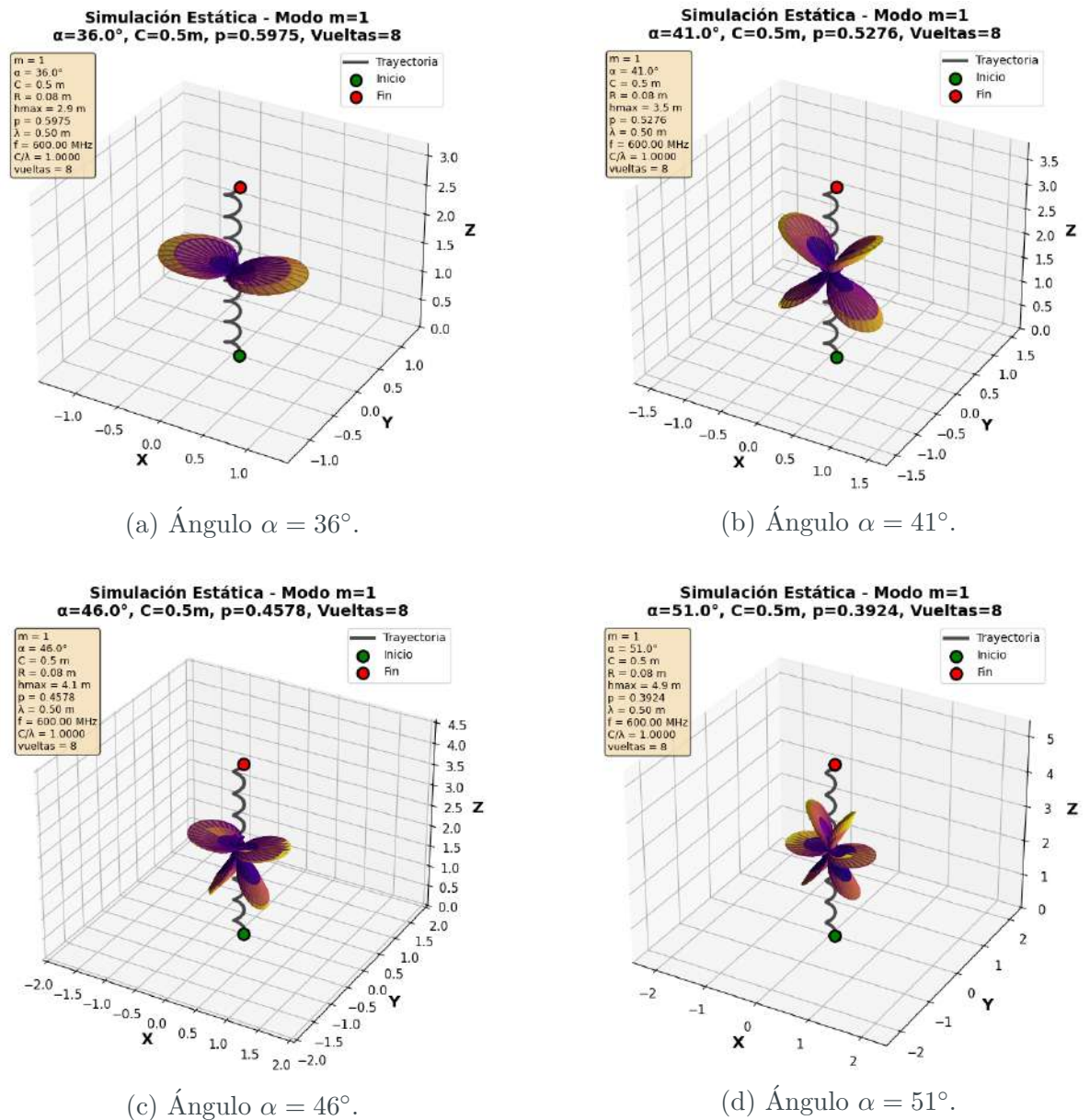
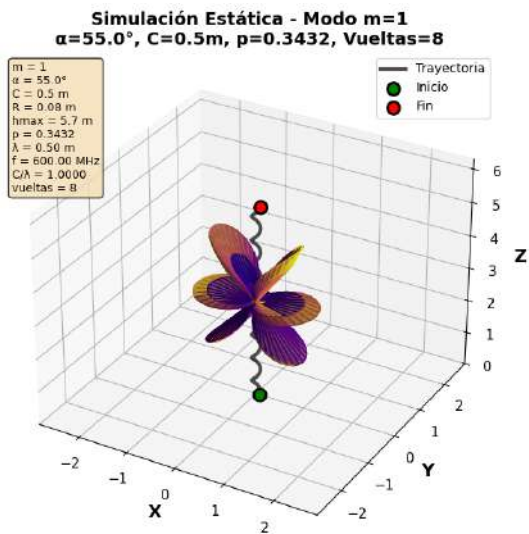
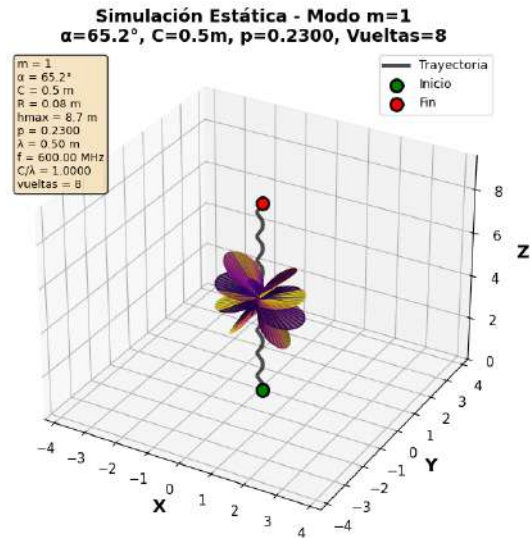


Figura 43: Comparación del patrón de radiación de la antena helicoidal variando el ángulo parte 2 (autoría propia).

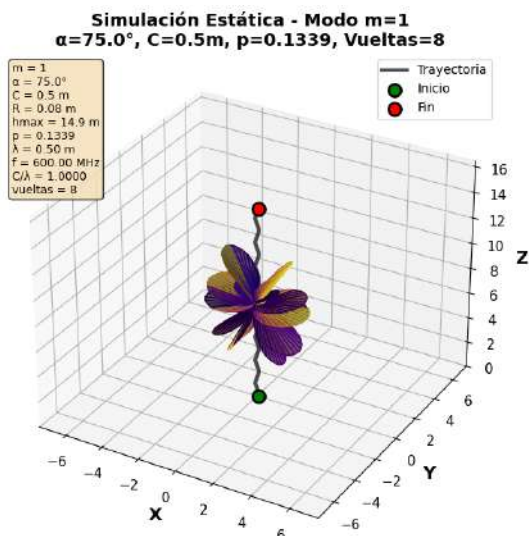
Se observa que tanto la longitud de onda como la frecuencia no se ven afectados por este parámetro, por lo que si es el caso de buscar un parámetro que afecte estos resultados, no es el correcto.



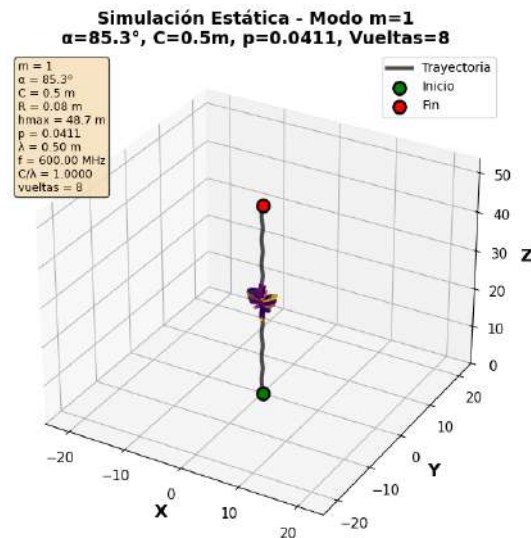
(a) Ángulo $\alpha = 55^\circ$.



(b) Ángulo $\alpha = 65.2^\circ$.



(c) Ángulo $\alpha = 75^\circ$.

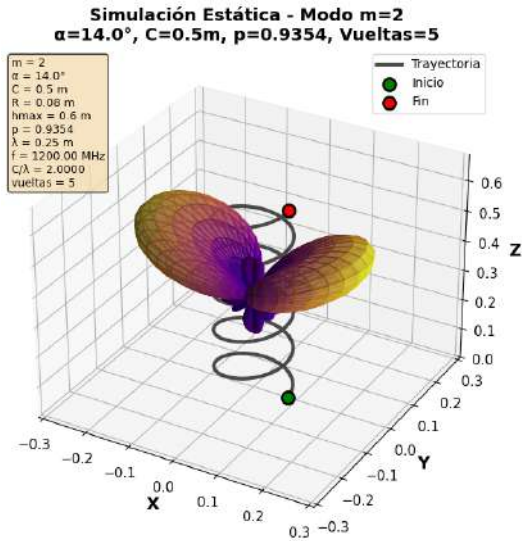


(d) Ángulo $\alpha = 85.3^\circ$.

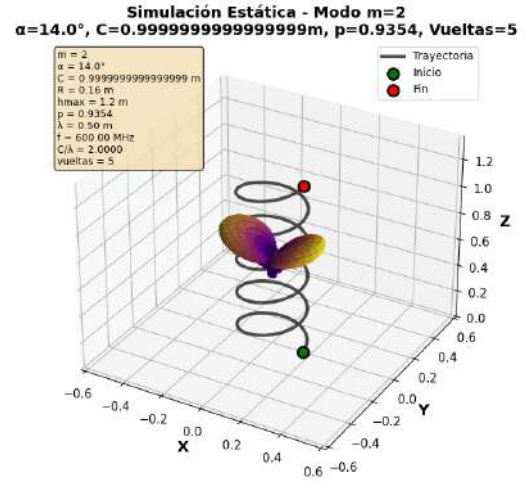
Figura 44: Comparación del patrón de radiación de la antena helicoidal variando el ángulo parte 3 (autoría propia).

Por último se ha de comentar que con los análisis visuales realizado no es recomendable elaborar el diseño de una antena con un gran grado de separación entre las espiras de la helicoide, ya que puede pasar de un estado óptimo a uno donde el estado del modo axial está fuera de lo ideal lo que implica una dispersión de lo que se busca en una antena en la transmisión total de la información.

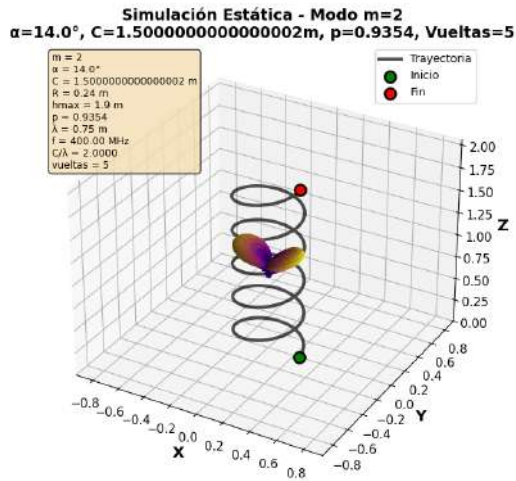
5.4.4. ¿Qué sucede al variar la circunferencia?



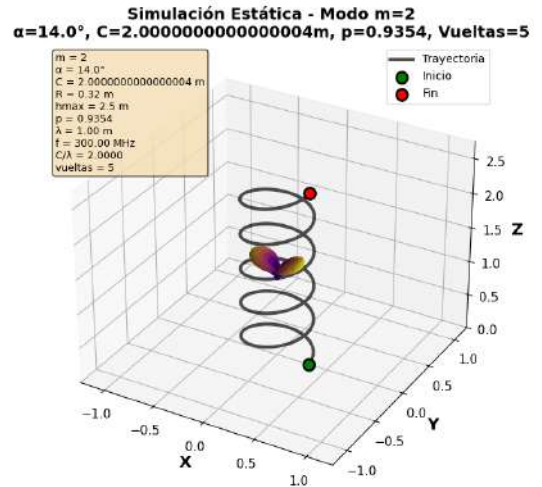
(a) Circunferencia $C = .5\text{m}$.



(b) Circunferencia $C = 1\text{m}$.



(c) Circunferencia $C = 1.5\text{m}$.



(d) Circunferencia $C = 2\text{m}$.

Figura 45: Comparación del patrón de radiación de la antena helicoidal variando la circunferencia (autoría propia).

Tal y como se visualiza en la Figura 45, Al hacer la variación de la circunferencia lo que varía con ésta es la frecuencia y la longitud de onda donde se pasó de 1200MHz a 300MHz. Entonces, si se busca hacer un cambio de operación en la antena puede ser viable alterar este parámetro ya que con él no se afecta la forma del patrón normalizado.

5.4.5. El primer modo de transmisión y las variaciones de C/λ .

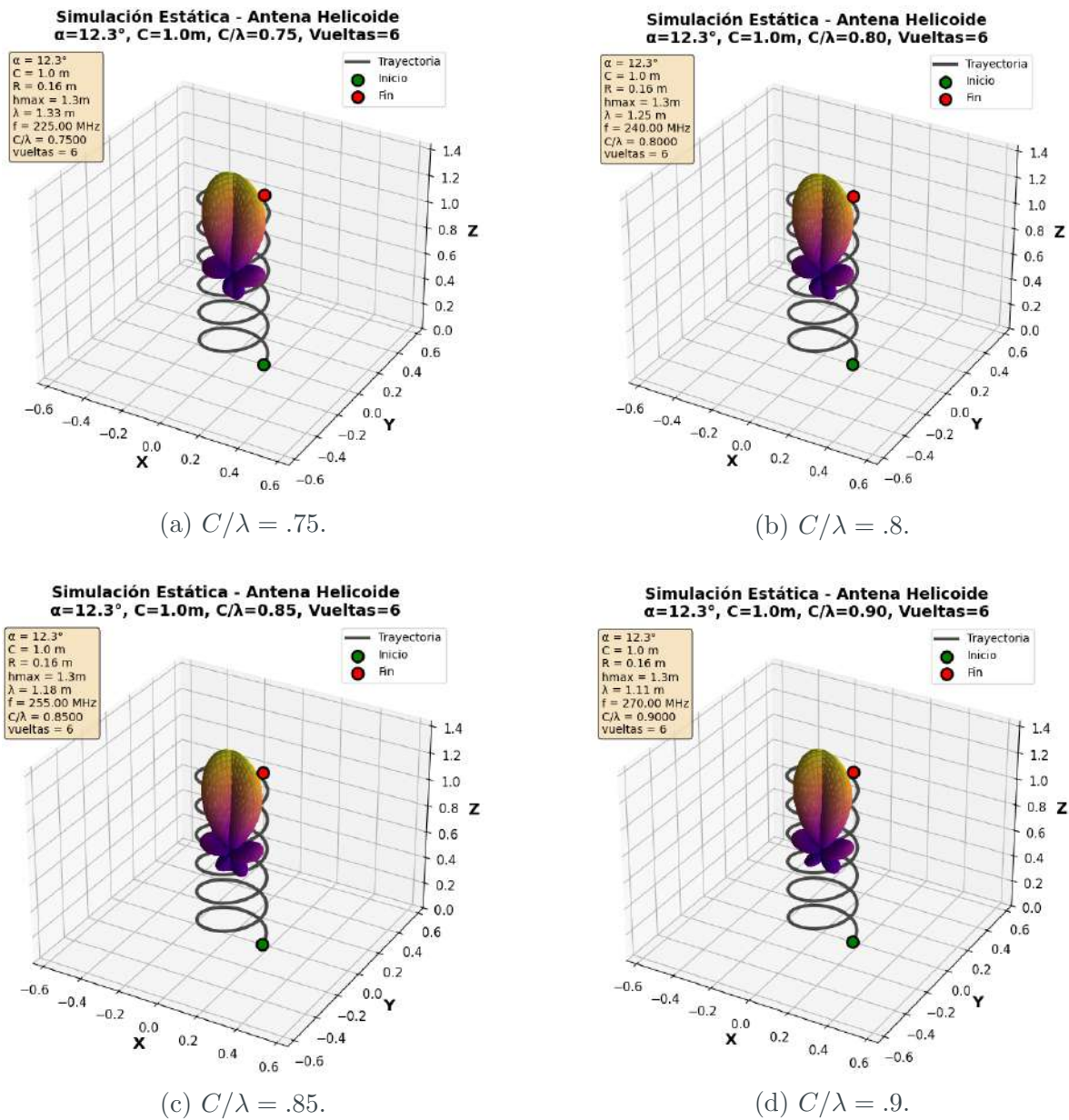
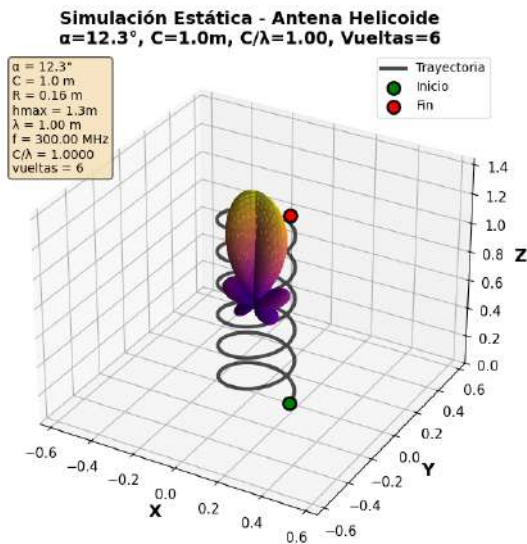
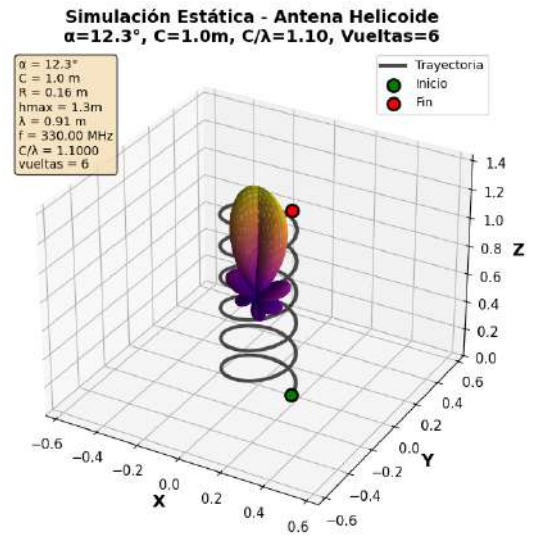


Figura 46: Comparación del patrón de radiación de la antena helicoidal variando C/λ parte 1 (autoría propia).

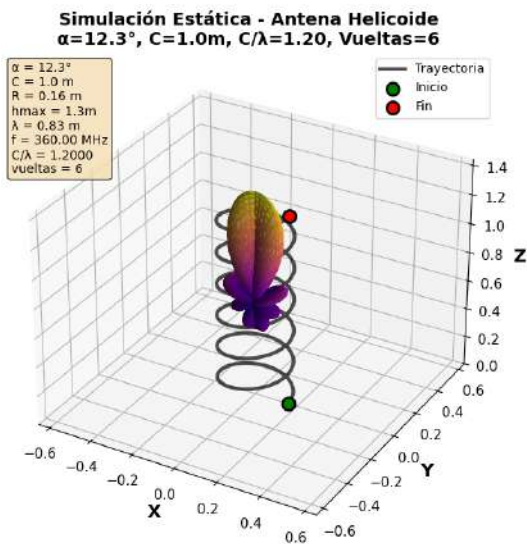
Visualmente el primer gran cambio que se observa no es del todo el cambio de la forma del patrón de radiación, pero sí el incremento de los lóbulos secundarios en la parte inferior de estos como se muestra en las Figuras 46 y 47.



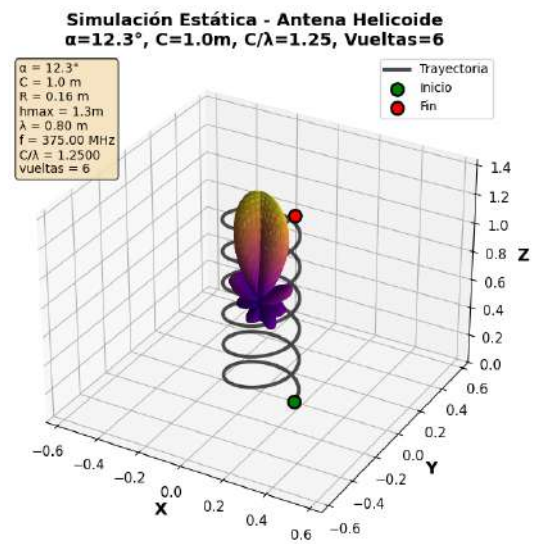
(a) $C/\lambda = 1$.



(b) $C/\lambda = 1.1$.



(c) $C/\lambda = 1.2$.



(d) $C/\lambda = 1.25$.

Figura 47: Comparación del patrón de radiación de la antena helicoidal variando C/λ parte 2 (autoría propia).

Lo que se quiso hacer con las Figuras 46 y 47, fue observar el comportamiento de los patrones de radiación en las condiciones óptimas de C_λ de 0.75-1.25, donde se esperaría que el comportamiento ideal se encuentra en $C_\lambda = 1$ como se ve en la Figura 47a y lo menos adecuados en los extremos de este rango como se observa en las Figuras 46a y 47d.

5.4.6. ¿Qué sucede al hacer cambios de voltaje?

Resultados:
<ul style="list-style-type: none"> • Impedancia calculada: 125.0 Ω • Flujo magnetico: 2.30e-07 Wb Wb • Capacitancia: 1.00e-14 F F • Inductancia: 287.500000 nH H • Frecuencia de antena: 2968.25 MHz • Longitud de onda: 0.10 m • Circunferencia (C): 0.101 m • Radio (R): 0.016 m • Diametro (D): 0.032 m • Paso (S): 0.025 m • Altura total (hmax): 0.126 m • Longitud por vuelta (L): 0.104 m
Recomendaciones de diseño:
<ul style="list-style-type: none"> • Rango de circunferencia: 0.08 m a 0.13 m • Rango de impedancias: 45.00 Ω a 125.00 Ω • Angulo α recomendado: 12° a 15° • Mímino de vueltas: >3

(a) $V = 100 \text{ V}$

Resultados:
<ul style="list-style-type: none"> • Impedancia calculada: 187.5 Ω • Flujo magnetico: 2.30e-07 Wb Wb • Capacitancia: 6.67e-15 F F • Inductancia: 287.500000 nH H • Frecuencia de antena: 3635.36 MHz • Longitud de onda: 0.08 m • Circunferencia (C): 0.083 m • Radio (R): 0.013 m • Diametro (D): 0.026 m • Paso (S): 0.021 m • Altura total (hmax): 0.103 m • Longitud por vuelta (L): 0.085 m
Recomendaciones de diseño:
<ul style="list-style-type: none"> • Rango de circunferencia: 0.06 m a 0.10 m • Rango de impedancias: 67.50 Ω a 187.50 Ω • Angulo α recomendado: 12° a 15° • Mímino de vueltas: >3

(b) $V = 150 \text{ V}$

Resultados:
<ul style="list-style-type: none"> • Impedancia calculada: 250.0 Ω • Flujo magnetico: 2.30e-07 Wb Wb • Capacitancia: 5.00e-15 F F • Inductancia: 287.500000 nH H • Frecuencia de antena: 4197.75 MHz • Longitud de onda: 0.07 m • Circunferencia (C): 0.071 m • Radio (R): 0.011 m • Diametro (D): 0.023 m • Paso (S): 0.018 m • Altura total (hmax): 0.089 m • Longitud por vuelta (L): 0.074 m
Recomendaciones de diseño:
<ul style="list-style-type: none"> • Rango de circunferencia: 0.05 m a 0.09 m • Rango de impedancias: 90.00 Ω a 250.00 Ω • Angulo α recomendado: 12° a 15° • Mímino de vueltas: >3

(c) $V = 200 \text{ V}$

Resultados:
<ul style="list-style-type: none"> • Impedancia calculada: 312.5 Ω • Flujo magnetico: 2.30e-07 Wb Wb • Capacitancia: 4.00e-15 F F • Inductancia: 287.500000 nH H • Frecuencia de antena: 4693.22 MHz • Longitud de onda: 0.06 m • Circunferencia (C): 0.064 m • Radio (R): 0.010 m • Diametro (D): 0.020 m • Paso (S): 0.016 m • Altura total (hmax): 0.080 m • Longitud por vuelta (L): 0.066 m
Recomendaciones de diseño:
<ul style="list-style-type: none"> • Rango de circunferencia: 0.05 m a 0.08 m • Rango de impedancias: 112.50 Ω a 312.50 Ω • Angulo α recomendado: 12° a 15° • Mímino de vueltas: >3

(d) $V = 250 \text{ V}$

Figura 48: Resultados al variar el voltaje para una antena helicoidal con 5 vueltas, $\alpha = 14^\circ$, $\Phi = 2.3 \times 10^{-7} \text{ Wb}$ e $I = 0.8 \text{ A}$ (autoría propia).

Al analizar la Figura 48, donde se recomienda el diseño de la antena, se ve que la impedancia del circuito (de 125Ω a 300Ω) y la frecuencia de la antena (de 2968.25 MHz a 4693.22 MHz) aumentan sus valores al incrementar V ; el flujo magnético y la inductancia permanecen constantes; mientras que el diámetro, la altura, la longitud por vuelta y la capacitancia disminuyen.

Por otro lado, al observar las recomendaciones de diseño generadas por el sistema, se puede notar que el rango de circunferencias sugerido se reduce conforme aumenta el voltaje, pasando de un rango de 0.06 m a 0.12 m con $V=100 \text{ V}$, hasta un rango de 0.05 m a 0.08 m con $V=200 \text{ V}$. De manera análoga, el rango de impedancias recomendado se amplía con el voltaje.

5.4.7. ¿Qué sucede al cambiar la corriente?

Resultados:
<ul style="list-style-type: none"> • Impedancia calculada: 120.0 Ω • Flujo magnetico: 2.30e-07 Wb Wb • Capacitancia: 8.33e-15 F F • Inductancia: 230.000000 nH H • Frecuencia de antena: 3635.36 MHz • Longitud de onda: 0.08 m • Circunferencia (C): 0.083 m • Radio (R): 0.013 m • Diametro (D): 0.026 m • Paso (S): 0.021 m • Altura total (hmax): 0.103 m • Longitud por vuelta (L): 0.085 m
Recomendaciones de diseño:
<ul style="list-style-type: none"> • Rango de circunferencia: 0.06 m a 0.10 m • Rango de impedancias: 67.50 Ω a 187.50 Ω • Angulo α recomendado: 12° a 15° • Minimo de vueltas: >3

(a) $I = 1.0 \text{ A}$

Resultados:
<ul style="list-style-type: none"> • Impedancia calculada: 80.0 Ω • Flujo magnetico: 2.30e-07 Wb Wb • Capacitancia: 8.33e-15 F F • Inductancia: 153.333333 nH H • Frecuencia de antena: 4452.38 MHz • Longitud de onda: 0.07 m • Circunferencia (C): 0.067 m • Radio (R): 0.011 m • Diametro (D): 0.021 m • Paso (S): 0.017 m • Altura total (hmax): 0.084 m • Longitud por vuelta (L): 0.069 m
Recomendaciones de diseño:
<ul style="list-style-type: none"> • Rango de circunferencia: 0.05 m a 0.08 m • Rango de impedancias: 101.25 Ω a 281.25 Ω • Angulo α recomendado: 12° a 15° • Minimo de vueltas: >3

(b) $I = 1.5 \text{ A}$

Resultados:
<ul style="list-style-type: none"> • Impedancia calculada: 60.0 Ω • Flujo magnetico: 2.30e-07 Wb Wb • Capacitancia: 8.33e-15 F F • Inductancia: 115.000000 nH H • Frecuencia de antena: 5141.17 MHz • Longitud de onda: 0.06 m • Circunferencia (C): 0.058 m • Radio (R): 0.009 m • Diametro (D): 0.019 m • Paso (S): 0.015 m • Altura total (hmax): 0.073 m • Longitud por vuelta (L): 0.060 m
Recomendaciones de diseño:
<ul style="list-style-type: none"> • Rango de circunferencia: 0.04 m a 0.07 m • Rango de impedancias: 135.00 Ω a 375.00 Ω • Angulo α recomendado: 12° a 15° • Minimo de vueltas: >3

(c) $I = 2.0 \text{ A}$

Resultados:
<ul style="list-style-type: none"> • Impedancia calculada: 48.0 Ω • Flujo magnetico: 2.30e-07 Wb Wb • Capacitancia: 8.33e-15 F F • Inductancia: 92.000000 nH H • Frecuencia de antena: 5748.00 MHz • Longitud de onda: 0.05 m • Circunferencia (C): 0.052 m • Radio (R): 0.008 m • Diametro (D): 0.017 m • Paso (S): 0.013 m • Altura total (hmax): 0.065 m • Longitud por vuelta (L): 0.054 m
Recomendaciones de diseño:
<ul style="list-style-type: none"> • Rango de circunferencia: 0.04 m a 0.07 m • Rango de impedancias: 168.75 Ω a 468.75 Ω • Angulo α recomendado: 12° a 15° • Minimo de vueltas: >3

(d) $I = 2.5 \text{ A}$

Figura 49: Resultados al variar la corriente para una antena helicoidal con 5 vueltas, $\alpha = 14^\circ$, $\Phi = 2.3 \times 10^{-7} \text{ Wb}$ y $V = 150 \text{ V}$ (autoría propia).

Al analizar la Figura 49, donde se presentan los resultados al realizar variaciones en la corriente eléctrica, se observa que la impedancia del circuito disminuye (de 120 Ω a 48 Ω) y la frecuencia de la antena también presenta una reducción (de 3635.36 MHz a 4784.00 MHz). Por otro lado, la capacitancia incrementa su valor, mientras que el flujo magnético y la inductancia permanecen constantes. Asimismo, parámetros geométricos como la circunferencia, el radio, el diámetro, el paso, la altura total y la longitud por vuelta disminuyen a medida que se incrementa la corriente.

Al observar las recomendaciones de diseño generadas por el sistema, el rango de circunferencias sugerido se reduce, pasando de un intervalo de 0.06 m a 0.10 m con $I = 1.0 \text{ A}$, hasta un intervalo de 0.04 m a 0.07 m con $I = 2.5 \text{ A}$. De manera similar, el rango de impedancias recomendado aumenta al incrementar la corriente, pasando de un intervalo de 67.50 Ω a 187.50 Ω , hasta un intervalo de 168.75 Ω a 468.75 Ω .

5.4.8. ¿Qué sucede al el flujo magnético?

Resultados:
<ul style="list-style-type: none"> • Impedancia calculada: 150.0 Ω • Flujo magnetico: 2.50e-07 Wb Wb • Capacitancia: 8.33e-15 F F • Inductancia: 312.500000 nH H • Frecuencia de antena: 3118.79 MHz • Longitud de onda: 0.10 m • Circunferencia (C): 0.096 m • Radio (R): 0.015 m • Diametro (D): 0.031 m • Paso (S): 0.024 m • Altura total (hmax): 0.120 m • Longitud por vuelta (L): 0.099 m
Recomendaciones de diseño:
<ul style="list-style-type: none"> • Rango de circunferencia: 0.07 m a 0.12 m • Rango de impedancias: 54.00 Ω a 150.00 Ω • Angulo α recomendado: 12° a 15° • Mínimo de vueltas: >3

(a) $\Phi = 2.5 \times 10^{-7}$ Wb.

Resultados:
<ul style="list-style-type: none"> • Impedancia calculada: 150.0 Ω • Flujo magnetico: 3.00e-07 Wb Wb • Capacitancia: 8.33e-15 F F • Inductancia: 375.000000 nH H • Frecuencia de antena: 2847.05 MHz • Longitud de onda: 0.11 m • Circunferencia (C): 0.105 m • Radio (R): 0.017 m • Diametro (D): 0.034 m • Paso (S): 0.026 m • Altura total (hmax): 0.131 m • Longitud por vuelta (L): 0.109 m
Recomendaciones de diseño:
<ul style="list-style-type: none"> • Rango de circunferencia: 0.08 m a 0.13 m • Rango de impedancias: 54.00 Ω a 150.00 Ω • Angulo α recomendado: 12° a 15° • Mínimo de vueltas: >3

(b) $\Phi = 3.0 \times 10^{-7}$ Wb.

Resultados:
<ul style="list-style-type: none"> • Impedancia calculada: 150.0 Ω • Flujo magnetico: 3.50e-07 Wb Wb • Capacitancia: 8.33e-15 F F • Inductancia: 437.500000 nH H • Frecuencia de antena: 2635.86 MHz • Longitud de onda: 0.11 m • Circunferencia (C): 0.114 m • Radio (R): 0.018 m • Diametro (D): 0.036 m • Paso (S): 0.028 m • Altura total (hmax): 0.142 m • Longitud por vuelta (L): 0.117 m
Recomendaciones de diseño:
<ul style="list-style-type: none"> • Rango de circunferencia: 0.09 m a 0.14 m • Rango de impedancias: 54.00 Ω a 150.00 Ω • Angulo α recomendado: 12° a 15° • Mínimo de vueltas: >3

(c) $\Phi = 3.5 \times 10^{-7}$ Wb.

Resultados:
<ul style="list-style-type: none"> • Impedancia calculada: 150.0 Ω • Flujo magnetico: 4.00e-07 Wb Wb • Capacitancia: 8.33e-15 F F • Inductancia: 500.000000 nH H • Frecuencia de antena: 2465.62 MHz • Longitud de onda: 0.12 m • Circunferencia (C): 0.122 m • Radio (R): 0.019 m • Diametro (D): 0.039 m • Paso (S): 0.030 m • Altura total (hmax): 0.152 m • Longitud por vuelta (L): 0.125 m
Recomendaciones de diseño:
<ul style="list-style-type: none"> • Rango de circunferencia: 0.09 m a 0.15 m • Rango de impedancias: 54.00 Ω a 150.00 Ω • Angulo α recomendado: 12° a 15° • Mínimo de vueltas: >3

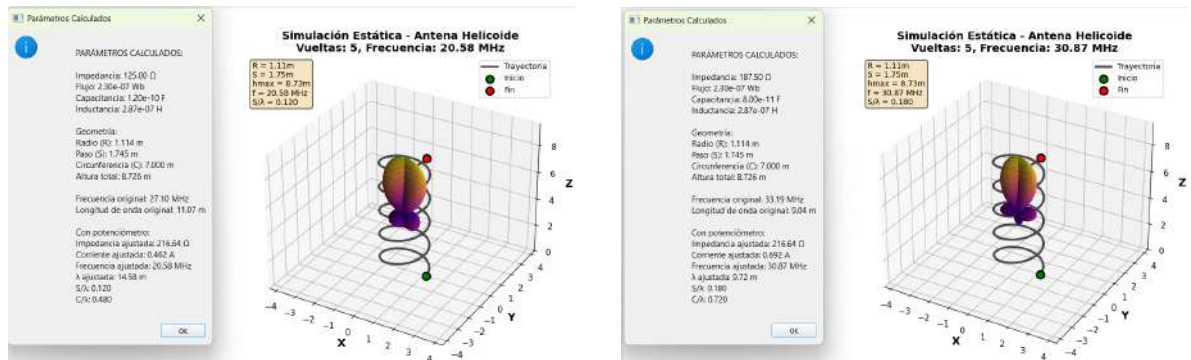
(d) $\Phi = 4.0 \times 10^{-7}$ Wb.

Figura 50: Resultados al variar el flujo magnético para una antena helicoidal con 5 vueltas, $\alpha = 14^\circ$, $I = 0.8$ A y $V = 150$ V (autoría propia).

Al analizar la Figura 50, se observa que al incrementar el flujo, la capacitancia y la inductancia también aumentan, mientras que la frecuencia de la antena disminuye (de 3118.79 MHz a 2465.62 MHz). Asimismo, la longitud de onda presenta un incremento conforme a su aumento. Los parámetros geométricos aumentan con la variación de éste, mostrando un cambio significativo en la geometría recomendada de la antena.

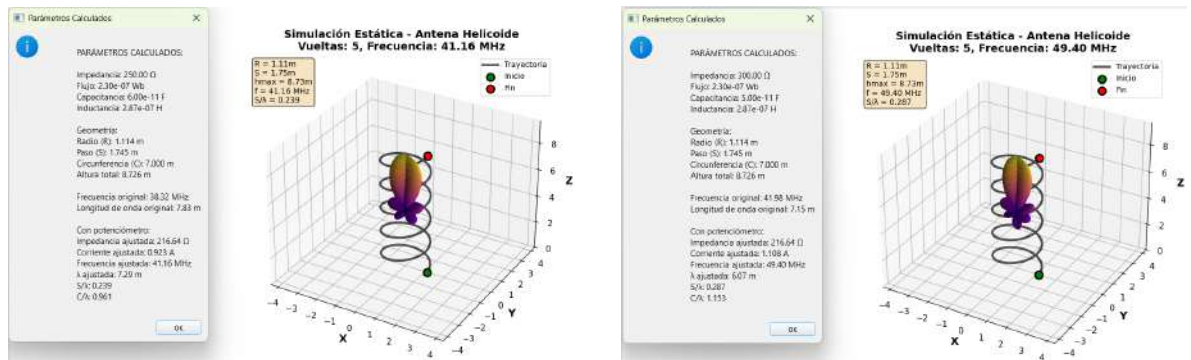
Por otro lado, al observar las recomendaciones de diseño generadas por el sistema, se puede notar que el rango de circunferencias sugerido aumenta conforme se incrementa el flujo magnético, pasando de un intervalo de 0.07 m a 0.12 m con $\Phi = 2.5 \times 10^{-7}$ Wb, hasta un intervalo de 0.09 m a 0.15 m con $\Phi = 4.0 \times 10^{-7}$ Wb. En contraste, el rango de impedancias recomendado permanece constante en 54.00 Ω a 150.00 Ω , indicando que este parámetro de diseño no presenta cambios dentro de las recomendaciones generadas por el sistema para las condiciones evaluadas.

5.4.9. ¿Cómo varía el patrón si se somete a cambios de voltaje?



(a) 5 vueltas. $\alpha = 14^\circ$. $\Phi = 2.3 \times 10^{-7}$ Wb.
 $I = 0.8$ A. $V = 100$ V.

(b) 5 vueltas. $\alpha = 14^\circ$. $\Phi = 2.3 \times 10^{-7}$ Wb.
 $I = 0.8$ A. $V = 150$ V.



(c) 5 vueltas. $\alpha = 14^\circ$. $\Phi = 2.3 \times 10^{-7}$ Wb.
 $I = 0.8$ A. $V = 200$ V.

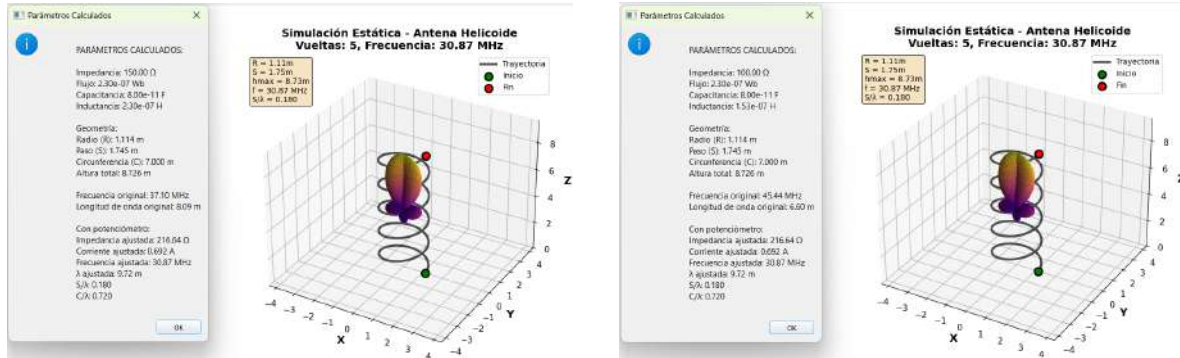
(d) 5 vueltas. $\alpha = 14^\circ$. $\Phi = 2.3 \times 10^{-7}$ Wb.
 $I = 0.8$ A. $V = 240$ V.

Figura 51: Cambios del patrón de radiación con variaciones de voltaje (autoría propia).

Tal y como se observa en la Figura 51, existe un aumento en la cantidad de los lóbulos secundarios, esto sugiere una redistribución de la energía radiada en distintas direcciones espaciales. La frecuencia aumenta de 20.58MHz a 49.40MHz, esto genera modificaciones en el patrón de radiación. En particular, se observa que el lóbulo principal adquiere una forma más estrecha lo que indica un incremento en la directividad del sistema.

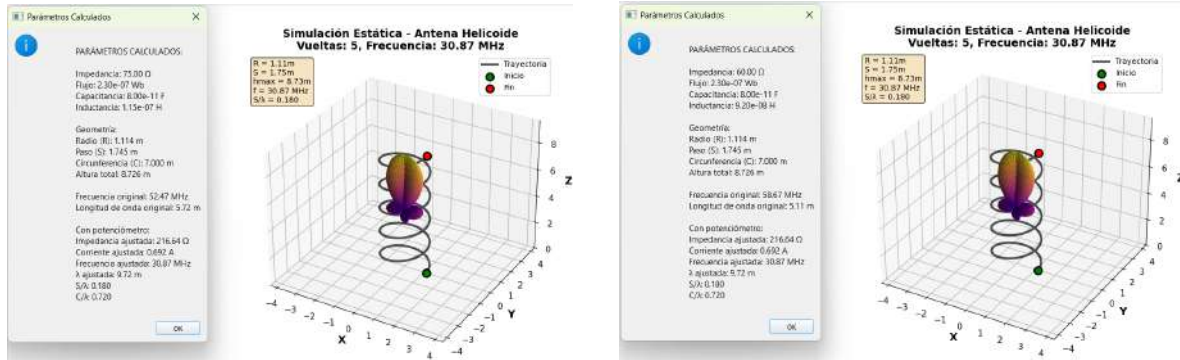
El incremento del voltaje no solo afecta la frecuencia de operación, sino que también modifica la forma del patrón de radiación, produciendo una respuesta más direccional y compleja, con una mayor presencia de lóbulos secundarios y una concentración más pronunciada de la energía radiada en el lóbulo principal.

5.4.10. ¿Cómo varía el patrón si se somete a cambios de corriente?



(a) 5 vueltas. $\alpha = 14^\circ$. $\Phi = 2.3 \times 10^{-7}$ Wb.
 $I = 1.0$ A. $V = 150$ V.

(b) 5 vueltas. $\alpha = 14^\circ$. $\Phi = 2.3 \times 10^{-7}$ Wb.
 $I = 1.5$ A. $V = 150$ V.



(c) 5 vueltas. $\alpha = 14^\circ$. $\Phi = 2.3 \times 10^{-7}$ Wb.
 $I = 2.0$ A. $V = 150$ V.

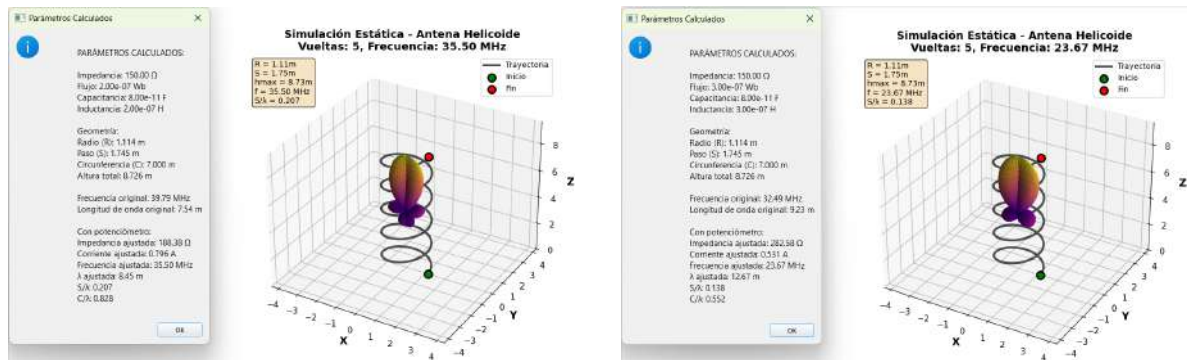
(d) 5 vueltas. $\alpha = 14^\circ$. $\Phi = 2.3 \times 10^{-7}$ Wb.
 $I = 2.5$ A. $V = 150$ V.

Figura 52: Cambios del patrón de radiación con variaciones de corriente (autoría propia).

En la Figura 52, a diferencia de lo ocurrido con el voltaje, el patrón de radiación permanece prácticamente invariante al modificar la corriente. La frecuencia ajustada con el potenciómetro se mantiene en 30.87 MHz en los cuatro casos evaluados, esto implica que tanto el lóbulo principal como los lóbulos secundarios conservan su forma, orientación y amplitud relativa sin modificación apreciable. Esto sugiere que, bajo condiciones de voltaje y flujo magnético constantes, la corriente no redistribuye la energía radiada entre direcciones espaciales distintas.

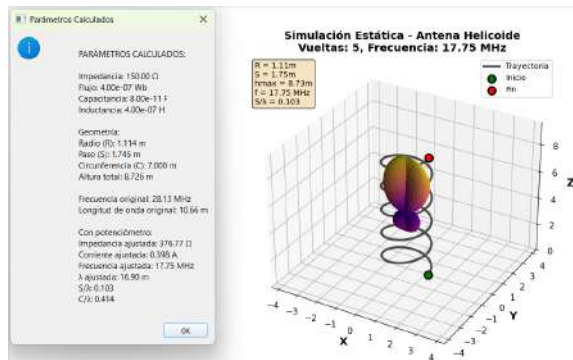
Lo anterior se explica El incremento de corriente sí produce cambios eléctricos relevantes, la impedancia disminuye y la inductancia cae proporcionalmente para conservar el flujo magnético impuest. Pero estos cambios no se traducen en una modificación observable del diagrama de radiación.

5.4.11. ¿Cómo varía el patrón si se somete a cambios de flujo?

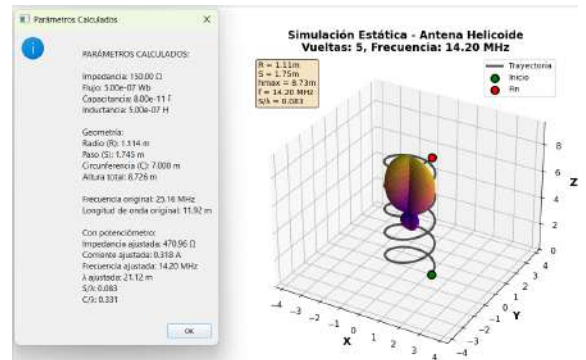


(a) 5 vueltas. $\alpha = 14^\circ$. $\Phi = 2 \times 10^{-7}$ Wb.
 $I = 0.8$ A. $V = 150$ V.

(b) 5 vueltas. $\alpha = 14^\circ$. $\Phi = 3 \times 10^{-7}$ Wb.
 $I = 0.8$ A. $V = 150$ V.



(c) 5 vueltas. $\alpha = 14^\circ$. $\Phi = 4 \times 10^{-7}$ Wb.
 $I = 0.8$ A. $V = 150$ V.



(d) 5 vueltas. $\alpha = 14^\circ$. $\Phi = 5 \times 10^{-7}$ Wb.
 $I = 0.8$ A. $V = 150$ V.

Figura 53: Cambios del patrón de radiación con variaciones de flujo (autoría propia).

Para la Figura 53, el incremento del flujo magnético Φ produce el efecto opuesto al observado con el voltaje: el patrón de radiación se degrada progresivamente conforme Φ aumenta, desciende de 35.50 MHz a 14.20 MHz, lo que reduce la relación C/λ de 0.909 a 0.331, alejándola del valor óptimo unitario requerido. El lóbulo principal se ensancha y pierde concentración, mientras que los lóbulos secundarios adquieren mayor presencia relativa, indicando una redistribución de la energía radiada hacia direcciones no axiales.

El flujo magnético actúa como parámetro de control del tamaño físico de la antena, incrementa la inductancia y desplaza la frecuencia operativa fuera de la banda de diseño óptimo, lo que deteriora la directividad axial del sistema.

5.4.12. Variaciones con el potenciómetro.

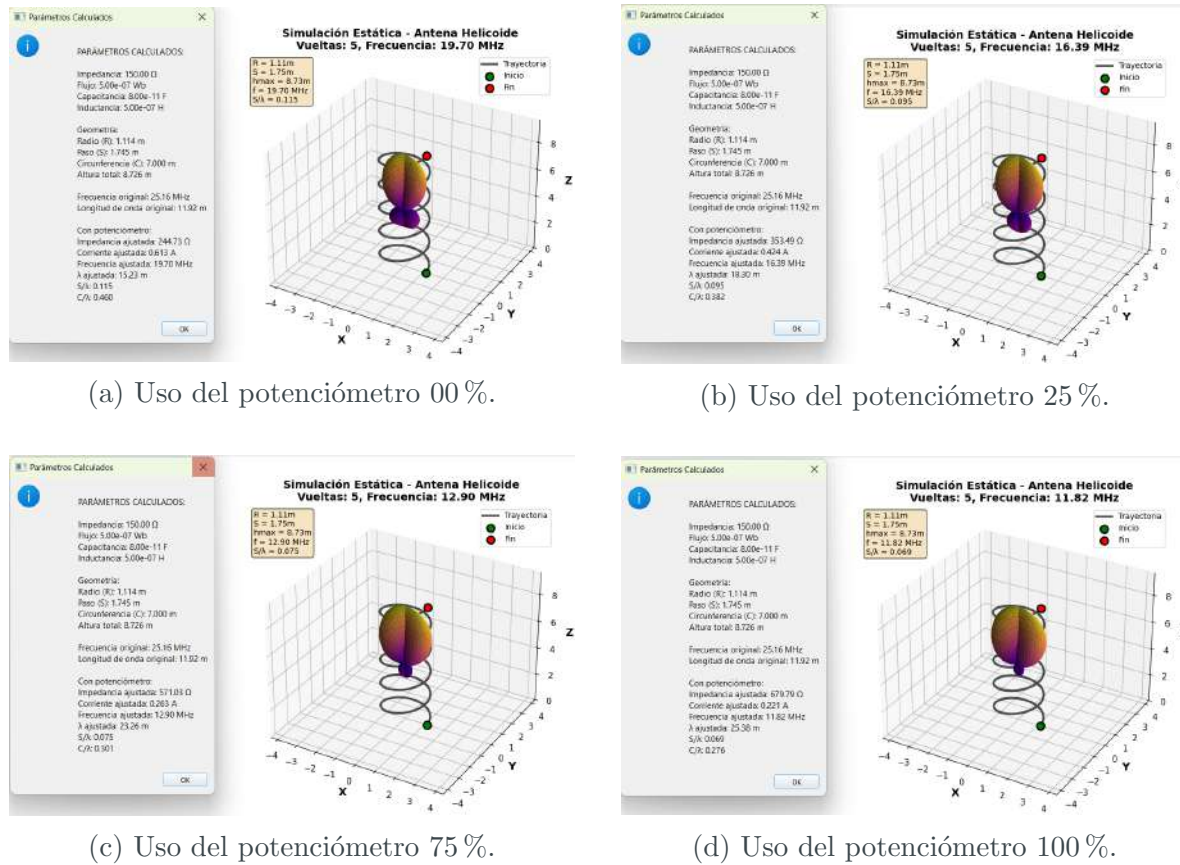


Figura 54: Cambios del patrón de radiación con variaciones en el potenciómetro (autoría propia).

En el último análisis de resultados hechos para la Figura 54, el incremento del valor del potenciómetro produce una degradación progresiva y sistemática del patrón de radiación. Al aumentar el porcentaje del potenciómetro, la frecuencia desciende de 19.70 MHz a 11.82 MHz, reduciendo la relación C/λ de 0.460 a 0.279, lo que aleja al sistema de la condición óptima de modo axial. Este descenso se traduce en un ensanchamiento del lóbulo principal y una menor concentración de la energía radiada sobre el eje de la hélice, existe una pérdida progresiva de directividad conforme se incrementa la resistencia introducida por el potenciómetro.

El potenciómetro no modifica la geometría física de la antena, pero sí constituye el mecanismo de sintonía fina del sistema.

6.. Conclusiones

En este trabajo se analizó la formación del patrón de radiación de una antena helicoidal, así como su origen y condiciones de operación, a partir de fundamentos teóricos como el principio end-fire, el principio de Hansen–Woodyard, el principio de multiplicación, la geometría de la antena, la teoría de ondas electromagnéticas y los distintos modos de transmisión. Este análisis permitió comprender la complejidad del comportamiento radiativo de una antena helicoidal.

Se comprobó que el análisis basado en la formulación de Larmor permite explicar parcialmente el fenómeno de emisión de radiación electromagnética; sin embargo, para una descripción más completa del patrón de radiación es necesario recurrir a generalizaciones que consideren la geometría y el régimen de operación de la antena.

La principal aportación de este trabajo fue el desarrollo de un software capaz de simular distintos modos de transmisión, incluyendo el primer modo de operación, así como una implementación básica de un circuito RLC. Dicho software permite graficar el patrón de radiación y facilita el análisis del diseño de una antena con características adecuadas para una correcta radiación.

Es importante mencionar que, como trabajo futuro, este desarrollo puede ampliarse mediante la incorporación de nuevos parámetros, como la ganancia, la energía del sistema, su consumo, la eficiencia y la directividad, así como la inclusión de otros modelos de antenas. Esto con el fin de mejorar el análisis, ampliar sus aplicaciones y fortalecer su uso en el ámbito académico.

Finalmente, este trabajo establece una base sólida para la incorporación de parámetros adicionales como los ya mencionados, así como la posible inclusión de una formulación hamiltoniana. De este modo, se abren nuevas líneas de desarrollo y mejora, habiéndose cumplido satisfactoriamente los objetivos planteados inicialmente.

Referencias bibliográficas

- Alexander, C. K., S. M. N. (2018). *Fundamentals of Electric Circuits*. McGraw-Hill, 6 edition.
- ALLELCO (2025). Comprender la resistencia, inductancia y capacitancia en los circuitos eléctricos. Recuperado en enero de 2026, de <https://www.allelcoelec.es/blog/understanding-the-fundamentals-inductance-resistance-andcapacitance.html>.
- Ampere, A. M. and Orsted, H. C. (s.f.). *Historia del electromagnetismo*. s.n.
- Andrade, F. A. (1971). *Aceleradores de partículas*. DFN-SMF, México.
- Antenna, L. (2022). Antenna gain explanation. Consultado el 1 de noviembre de 2025.
- Aznar, C., Robert, J. R., Casals, J. M. R., Roca, L. J., Boris, S. B., and Bataller, M. F. (2004). *Antenas*. Universidad Politécnica de Catalunya, España.
- Balanis, C. A. (2005). *Antenna Theory: Analysis and Design*. John Wiley & Sons, Hoboken, New Jersey, 3rd edition.
- Belendez, A. (2016). 150 años de la publicación de la teoría electromagnética de la luz de maxwell. Recuperado en septiembre de 2025, de <https://rua.ua.es/server/api/core/bitstreams/9a9c5d4e-7fcf-4f81-aa01-50798257f595/content>.
- Blattenberger, K. (2025). Dielectric constant, strength, & loss tangent. Consultado el 1 de noviembre de 2025.
- Brain, M., Wilson, T. V., and Johnson, B. (2004). How wifi works. Recuperado en septiembre de 2025, de <https://www.albany.edu/~gc227838/ist523/How%20WiFi%20Works.pdf>.
- Cardarelli, F. (2018). *Materials Handbook: A Concise Desktop Reference*. Springer International Publishing, Switzerland.
- Carrigan, C. R., G. D. (1979). Earth's magnetic field. *Scientific American*.
- Collett, E. (2005). *Field Guide to Polarization*. SPIE Press.
- CONUEE (2021). Servicios energéticos, iluminación. Recuperado en septiembre de 2025, de <https://www.gob.mx/conuee/acciones-y-programas/servicios-energeticos-iluminacion>.
- Cope, L. (2025). What is polarization in an antenna system? Consultado el 2 de noviembre de 2025.

- Diagram, C. (2026). A free, user-friendly program for making electronic circuit diagrams. Consultado el 1 de enero de 2026.
- Ellingson, S. W. (2025). *Electromagnetics II*. Virginia Tech Publishing. LibreTexts, licensed under CC BY-SA 4.0.
- Engineering, G. (2025). An-sof antenna simulation software. Recuperado en septiembre de 2025, de <https://antennasimulator.com/>.
- Fedeli, A., Montecucco, C., and Gagnani, G. L. (2019). Open-source software for electromagnetic scattering simulation: The case of antenna design. *Electronics*, 8(12):1506.
- Fernandez, H. A. (2019). Ecuaciones de maxwell. Recuperado en septiembre de 2025.
- Fontal, B., Suárez, T., Reyes, M., Bellandi, F., Contreras, R., and Romero, I. (2005). El espectro electromagnético y sus aplicaciones. *Escuela de la Ingeniería*, 1:24.
- Fuentefría, A. S., Fernández, M. C., Llanes, M. V., and Peón, A. D. (2011). Evaluación de aptitud del funcionamiento de hornos de microondas. *Ingeniería Energética*, 32(3):35–44.
- Fuentes, J. J. M. (2007). *Fundamentos de radiación y radiocomunicación*. Escuela Técnica Superior de Ingenieros.
- GPS (2023). Space segment. Recuperado en enero de 2026, de <https://www.gps.gov/space-segment>.
- Greiner, S. (2015). Antenna frequency explained. Consultado el 1 de noviembre de 2025.
- Griffiths, D. J. (2013). *Introduction to Electrodynamics*. Pearson Education, Boston, MA, 4th edition.
- Hardesty, G. (2024). Polarización de la antena: vertical, lineal: factor clave en la selección de una antena. Consultado el 2 de noviembre de 2025.
- Hecht, E. (2017). *Optics*. Pearson, 5 edition.
- Hoyt, R. C. (1958). What is radiation? *Bulletin of the Atomic Scientists*, 14(1):9–11.
- Huidobro, J. M. (2013). Antenas de telecomunicaciones. *Revista Digital de Acta*, 18.
- IEEE (2019). Standard for safety levels with respect to human exposure to electric, magnetic, and electromagnetic fields, 0 hz to 300 ghz. *IEEE*.
- Kaplan, E. D., H. C. (2017). *Understanding GPS/GNSS: Principles and Applications*. Artech House., Estados Unidos, 3 edition.

- Kostis, A. C., Yioultsis, T. V., and Zoubouli, P. E. (2010). A floss visual em simulator for 3d antennas. *arXiv preprint*.
- Kraus, J. D. (1950). *Antennas*. McGraw-Hill Book Company.
- Kuhnel, W. (2015). *Curves, Surfaces, Manifolds*. American Mathematical Society, USA, second edition. p. 11.
- Lab, A. T. (2023). What is antenna gain? tutorial sobre dbi y db. Consultado el 1 de noviembre de 2025.
- Lavi, S. (2025). Ansys hfss pricing plans vs. alternatives - why 5.4/10? Recuperado en septiembre de 2025, de <https://www.itqlick.com/ansys-hfss/pricing>.
- Lee, S. (2025). Unlocking antenna efficiency secrets. Consultado el 1 de noviembre de 2025.
- Martinez, J. (2018). Historia de la electricidad. Recuperado en septiembre de 2025, de <https://www.fceia.unr.edu.ar/~fisica3/historia.htm#Tesla>.
- Martínez-Carpio, P. A. and Trelles, M. A. (2010). El láser y la fotónica en la cirugía plástica española e iberoamericana. *Cirugía Plástica Ibero-Latinoamericana*, 36(1):59–78.
- Matan (2023). 4 tipos más comunes de aplicaciones de ondas electromagnéticas en comunicación – electricity – magnetism. Recuperado en septiembre de 2025, de <https://www.electricity-magnetism.org/es/4-tipos-mas-comunes-de-aplicaciones-de-ondas-electromagneticas-en-comunicacion/>.
- Matan (2024). Understanding the antenna efficiency equation. Consultado el 1 de noviembre de 2025.
- MathWorks (2019). Antenna toolbox – design, analyze, and visualize antenna elements and antenna arrays. Recuperado en septiembre de 2025, de <https://www.mathworks.com/products/antenna.html>.
- Mayo Clinic (s.f.). Radiografía: prueba por imágenes que ayuda a realizar diagnósticos rápidamente. Recuperado en septiembre de 2025, de <https://www.mayoclinic.org/es/tests-procedures/x-ray/about/pac-20395303>.
- Mitofsky, A. (2025). Absorption, spontaneous emission, stimulated emission. Recuperado en enero de 2026, de [https://eng.libretexts.org/Bookshelves/Electrical_Engineering/Electro-Optics/Direct_Energy_\(Mitofsky\)/07%3A_Lamps_LEDs_and_Lasers/7.01%3A_Absorption_Spontaneous_Emission_Stimulated_Emission](https://eng.libretexts.org/Bookshelves/Electrical_Engineering/Electro-Optics/Direct_Energy_(Mitofsky)/07%3A_Lamps_LEDs_and_Lasers/7.01%3A_Absorption_Spontaneous_Emission_Stimulated_Emission).

- Monachesi, E., Frenzel, A. M., Chaile, G., Agustín, C., and López, F. A. G. (2011). Conceptos generales de antenas. Recuperado en septiembre de 2025, de http://www.edutecne.utn.edu.ar/wlan_frt/antenas.pdf.
- NASA (2023). What is a satellite? Recuperado en enero de 2026, de <https://spaceplace.nasa.gov/satellite/en/>.
- of Encyclopaedia Britannica, T. I. A. (2025). Michael faraday. Recuperado en septiembre de 2025, de <https://www.britannica.com/facts/Michael-Faraday>.
- OneSDR (2024). Antenna length vs frequency – understanding the relationship. Consultado el 1 de noviembre de 2025.
- Online, M. (2023). What is antenna gain, dbi, and db? what’s the difference. Consultado el 1 de noviembre de 2025.
- OnWorks (2026). Antennavis. Recuperado en abril de 2026, de <https://www.onworks.net/es/programs/antennavis-online>.
- Peña, X. P. (2025). Resonancia magnética, partes y funcionamiento contenido. Recuperado en septiembre de 2025, de https://d197for5662m48.cloudfront.net/documents/publicationstatus/240572/preprint_pdf/0852e962a78293ce0bc223a6dc6c42f9.pdf.
- Physics, M. (2024). Intensidad del sonido: Medición, decibelios y formas de onda en acústica. Consultado el 1 de noviembre de 2025.
- Polimetro (2025). Los mejores software para ingeniería: guía completa y actualizada. Recuperado en septiembre de 2025, de <https://www.polimetro.com/los-mejores-software-para-ingenieria/>.
- Pozar, D. M. (2012). *Microwave Engineering*. Wiley, 4th edition.
- Pérez Navarro, A. (2011). *Radiación. Radiación de un dipolo*. Universitat Oberta de Catalunya. PID_00159141.
- Rajib, B. (2025). Radio frequency bands. Consultado el 1 de noviembre de 2025.
- Remcom (2024). Software de simulación de antenas — diseño y modelado de antenas. Recuperado en septiembre de 2025, de <https://es.remcom.com/applications/antenna-simulation-design-software>.
- RF, E. (2023). What is antenna beamwidth? half power beam width (hpbw) explained. Consultado el 1 de noviembre de 2025.
- Riccio, G. L. (2024). *Crónica del electromagnetismo: Un viaje a través del tiempo y la ciencia*. Editorial Autores de Argentina.

- Roshi, Y. (2020). Antenna impedance. Consultado el 2 de noviembre de 2025.
- Saleh, B. E. A., T. M. C. (2019). *Fundamentals of Photonics*. Willey.
- Side, M. T. (2021). Bandas de radiofrecuencia. Consultado el 1 de noviembre de 2025.
- Tesswave (2024). What is antenna polarization and why it matters. Consultado el 2 de noviembre de 2025.
- T&M Atlantic (2019). Electricity in ancient times. Recuperado en septiembre de 2025, de https://www.tmatlantic.com/facts/index.php?ELEMENT_ID=6740.
- Valverde, R. L. (2001). *Historia del electromagnetismo*. Ediciones IES, Pablo Picasso.
- Voices, E. and Voices, E. (2024). The electromagnetic spectrum: It's more than visible light. Recuperado en septiembre de 2025, de <https://earthsky.org/space/what-is-the-electromagnetic-spectrum/>.
- Voors, A. (2021). Nec based antenna modeler and optimizer. Recuperado en abril de 2026, de <https://www.qsl.net/4nec2/>.
- World, T. . M. (2023). Fnbw vs hpbw: Understanding the difference in antenna beamwidth. Consultado el 1 de noviembre de 2025.
- Y, E. (2024). ¿qué es la mitad del ancho del haz de potencia? Consultado el 1 de noviembre de 2025.
- Young, H. D. and Freedman, R. A. (2018). *Física universitaria con física moderna*. Pearson Educación, Estados Unidos, 13 edition.
- Zvolensky, T. (2022). Antenna radiation efficiency. Consultado el 1 de noviembre de 2025.

7.. Anexo I.

7.1. Código principal.

```
1 import sys
2 import numpy as np
3 import matplotlib.pyplot as plt
4 from matplotlib.backends.backend_qt5agg import FigureCanvasQTAff as FigureCanvas
5 from matplotlib.figure import Figure
6 from mpl_toolkits.mplot3d import Axes3D
7 import matplotlib.animation as animation
8 from matplotlib.animation import PillowWriter
9 from scipy.special import jv
10 from PyQt5.QtWidgets import (QMainWindow, QLabel, QLineEdit, QPushButton,
11                             QApplication, QVBoxLayout, QWidget, QHBoxLayout,
12                             QFormLayout, QMessageBox, QGroupBox, QSpinBox,
13                             QDoubleSpinBox, QCheckBox, QComboBox, QSplitter,
14                             QStackedWidget, QGridLayout, QSlider, QProgressBar)
15 from PyQt5.QtCore import Qt, QThread, pyqtSignal
16 from PyQt5.QtGui import QFont, QPalette, QColor, QPixmap
17
18 class MainWindow(QMainWindow):
19     def __init__(self):
20         super().__init__()
21         self.setWindowTitle("Sistema de Simulacin - Men Principal")
22         self.setGeometry(100, 100, 900, 600)
23
24         # Widget central
25         self.central_widget = QWidget()
26         self.setCentralWidget(self.central_widget)
27
28         # Layout principal
29         self.main_layout = QVBoxLayout()
30         self.central_widget.setLayout(self.main_layout)
31
32         # Ttulo
33         title = QLabel("SISTEMA DE SIMULACIN")
34         title_font = QFont("Arial", 24, QFont.Bold)
35         title.setFont(title_font)
36         title.setAlignment(Qt.AlignCenter)
37         title.setStyleSheet("color: #2c3e50; padding: 20px;")
38         self.main_layout.addWidget(title)
39
40         # Descripcin
41         desc = QLabel("Seleccione una de las siguientes opciones de simulacin:")
42         desc_font = QFont("Arial", 12)
43         desc.setFont(desc_font)
44         desc.setAlignment(Qt.AlignCenter)
45         desc.setStyleSheet("color: #7f8c8d; padding: 10px;")
46         self.main_layout.addWidget(desc)
47
48         # Widget apilado para cambiar entre ventanas
49         self.stacked_widget = QStackedWidget()
50         self.main_layout.addWidget(self.stacked_widget)
51
52         # Crear pginas
53         self.create_menu_page()
54         self.create_opcion1_page()
55         self.create_opcion2_page()
56         self.create_opcion3_page()
57         self.create_opcion4_page()
58
59         # Mostrar men principal primero
60         self.stacked_widget.setCurrentIndex(0)
61
62         # Estilos
63         self.setStyleSheet("""
64             QMainWindow {
65                 background-color: #ecf0f1;
66             }
67         """)
68
69     def create_menu_page(self):
70         """Crea la pgina del men principal con 4 opciones"""
71         menu_page = QWidget()
72         menu_layout = QVBoxLayout()
73         menu_page.setLayout(menu_layout)
74
75         # Grid para los botones
76         button_grid = QGridLayout()
77         button_grid.setSpacing(30)
78         button_grid.setContentsMargins(50, 30, 50, 30)
79
80         # Botn 1
81         btn1 = QPushButton("1. Simulacin completa\ndel patr n en una Helicoide")
```

```

82 btn1.setFont(QFont("Arial", 14, QFont.Bold))
83 btn1.setMinimumSize(300, 100)
84 btn1.setStyleSheet("""
85     QPushButton {
86         background-color: #3498db;
87         color: white;
88         border-radius: 10px;
89         padding: 15px;
90     }
91     QPushButton:hover {
92         background-color: #2980b9;
93     }
94 """)
95 btn1.clicked.connect(lambda: self.show_opcion1())
96
97 # Botn 2
98 btn2 = QPushButton("2. Simulacin patrnde orden de transmisin 1")
99 btn2.setFont(QFont("Arial", 14, QFont.Bold))
100 btn2.setMinimumSize(300, 100)
101 btn2.setStyleSheet("""
102     QPushButton {
103         background-color: #2ecc71;
104         color: white;
105         border-radius: 10px;
106         padding: 15px;
107     }
108     QPushButton:hover {
109         background-color: #27ae60;
110     }
111 """)
112 btn2.clicked.connect(lambda: self.show_opcion2())
113
114 # Botn 3
115 btn3 = QPushButton("3. Clculo de diseo de\nla Helicoide con circuito RLC")
116 btn3.setFont(QFont("Arial", 14, QFont.Bold))
117 btn3.setMinimumSize(300, 100)
118 btn3.setStyleSheet("""
119     QPushButton {
120         background-color: #e74c3c;
121         color: white;
122         border-radius: 10px;
123         padding: 15px;
124     }
125     QPushButton:hover {
126         background-color: #c0392b;
127     }
128 """)
129 btn3.clicked.connect(lambda: self.show_opcion3())
130
131 # Botn 4
132 btn4 = QPushButton("4. Simulacin del patrnde orden 1 con circuito RLC")
133 btn4.setFont(QFont("Arial", 14, QFont.Bold))
134 btn4.setMinimumSize(300, 100)
135 btn4.setStyleSheet("""
136     QPushButton {
137         background-color: #9b59b6;
138         color: white;
139         border-radius: 10px;
140         padding: 15px;
141     }
142     QPushButton:hover {
143         background-color: #8e44ad;
144     }
145 """)
146 btn4.clicked.connect(lambda: self.show_opcion4())
147
148 # Aadir botones al grid
149 button_grid.addWidget(btn1, 0, 0)
150 button_grid.addWidget(btn2, 0, 1)
151 button_grid.addWidget(btn3, 1, 0)
152 button_grid.addWidget(btn4, 1, 1)
153
154 menu_layout.addLayout(button_grid)
155
156 # Botn de salida
157 exit_btn = QPushButton("Salir")
158 exit_btn.setFont(QFont("Arial", 12))
159 exit_btn.setFixedSize(150, 50)
160 exit_btn.setStyleSheet("""
161     QPushButton {
162         background-color: #95a5a6;
163         color: white;
164         border-radius: 5px;
165     }
166     QPushButton:hover {
167         background-color: #7f8c8d;
168     }
169 """)

```

```

170         exit_btn.clicked.connect(self.close)
171         menu_layout.addWidget(exit_btn, alignment=Qt.AlignCenter)
172
173         # Aadir pgina al stacked widget
174         self.stacked_widget.addWidget(menu_page)
175
176     def create_opcion1_page(self):
177         """Crea la pgina para la opcin 1 (v1.py)"""
178         # Crear wrapper con botn de regreso
179         opcion1_page = QWidget()
180         opcion1_layout = QVBoxLayout()
181         opcion1_page.setLayout(opcion1_layout)
182
183         # Botn de regreso
184         back_button = QPushButton(" Volver al Men Principal")
185         back_button.setFont(QFont("Arial", 11))
186         back_button.setStyleSheet("""
187             QPushButton {
188                 background-color: #34495e;
189                 color: white;
190                 padding: 8px 15px;
191                 border-radius: 5px;
192             }
193             QPushButton:hover {
194                 background-color: #2c3e50;
195             }
196         """)
197         back_button.clicked.connect(self.show_menu)
198         opcion1_layout.addWidget(back_button)
199
200         # Crear la simulacin de v1.py
201         self.opcion1_widget = HelicoideTransmisionGUI()
202         opcion1_layout.addWidget(self.opcion1_widget)
203
204         self.stacked_widget.addWidget(opcion1_page)
205
206     def create_opcion2_page(self):
207         """Crea la pgina para la opcin 2 (v2.py)"""
208         opcion2_page = QWidget()
209         opcion2_layout = QVBoxLayout()
210         opcion2_page.setLayout(opcion2_layout)
211
212         # Botn de regreso
213         back_button = QPushButton(" Volver al Men Principal")
214         back_button.setFont(QFont("Arial", 11))
215         back_button.setStyleSheet("""
216             QPushButton {
217                 background-color: #34495e;
218                 color: white;
219                 padding: 8px 15px;
220                 border-radius: 5px;
221             }
222             QPushButton:hover {
223                 background-color: #2c3e50;
224             }
225         """)
226         back_button.clicked.connect(self.show_menu)
227         opcion2_layout.addWidget(back_button)
228
229         # Crear la simulacin de v2.py
230         self.opcion2_widget = HelicoideSimulatorGUI()
231         opcion2_layout.addWidget(self.opcion2_widget)
232
233         self.stacked_widget.addWidget(opcion2_page)
234
235     def create_opcion3_page(self):
236         """Crea la pgina para la opcin 3 (v3.py)"""
237         opcion3_page = QWidget()
238         opcion3_layout = QVBoxLayout()
239         opcion3_page.setLayout(opcion3_layout)
240
241         # Botn de regreso
242         back_button = QPushButton(" Volver al Men Principal")
243         back_button.setFont(QFont("Arial", 11))
244         back_button.setStyleSheet("""
245             QPushButton {
246                 background-color: #34495e;
247                 color: white;
248                 padding: 8px 15px;
249                 border-radius: 5px;
250             }
251             QPushButton:hover {
252                 background-color: #2c3e50;
253             }
254         """)
255         back_button.clicked.connect(self.show_menu)
256         opcion3_layout.addWidget(back_button)
257

```

```

258     # Crear la simulacin de v3.py
259     self.opcion3_widget = AntenaHelicoidalGUI()
260     opcion3_layout.addWidget(self.opcion3_widget)
261
262     self.stacked_widget.addWidget(opcion3_page)
263
264     def create_opcion4_page(self):
265         """Crea la pgina para la opcin 4 (v4.py)"""
266         opcion4_page = QWidget()
267         opcion4_layout = QVBoxLayout()
268         opcion4_page.setLayout(opcion4_layout)
269
270         # Botn de regreso
271         back_button = QPushButton(" Volver al Men Principal")
272         back_button.setFont(QFont("Arial", 11))
273         back_button.setStyleSheet("""
274             QPushButton {
275                 background-color: #34495e;
276                 color: white;
277                 padding: 8px 15px;
278                 border-radius: 5px;
279             }
280             QPushButton:hover {
281                 background-color: #2c3e50;
282             }
283         """)
284         back_button.clicked.connect(self.show_menu)
285         opcion4_layout.addWidget(back_button)
286
287         # Crear la simulacin de v4.py
288         self.opcion4_widget = AntenaHelicoideGUI()
289         opcion4_layout.addWidget(self.opcion4_widget)
290
291         self.stacked_widget.addWidget(opcion4_page)
292
293     def show_menu(self):
294         """Muestra el men principal"""
295         self.stacked_widget.setCurrentIndex(0)
296         self.resize(900, 600)
297
298     def show_opcion1(self):
299         """Muestra la simulacin de la opcin 1"""
300         self.stacked_widget.setCurrentIndex(1)
301         self.resize(1400, 900)
302
303     def show_opcion2(self):
304         """Muestra la simulacin de la opcin 2"""
305         self.stacked_widget.setCurrentIndex(2)
306         self.resize(1400, 900)
307
308     def show_opcion3(self):
309         """Muestra la simulacin de la opcin 3"""
310         self.stacked_widget.setCurrentIndex(3)
311         self.resize(1600, 900)
312
313     def show_opcion4(self):
314         """Muestra la simulacin de la opcin 4"""
315         self.stacked_widget.setCurrentIndex(4)
316         self.resize(1400, 900)
317
318     class AnimationThreadV1(QThread):
319         """Hilo para generar la animacin en segundo plano"""
320         finished = pyqtSignal(str)
321         error = pyqtSignal(str)
322         progress = pyqtSignal(int)
323
324         def __init__(self, params):
325             super().__init__()
326             self.params = params
327
328         def run(self):
329             try:
330                 # Extraer parmetros
331                 alpha = self.params['alpha']
332                 C = self.params['C']
333                 factor = self.params['factor']
334                 vueltas = self.params['vueltas']
335                 m = self.params['m']
336                 n = self.params['n']
337                 fps = self.params['fps']
338
339                 # Clculos iniciales
340                 alpha_rad = alpha * np.pi / 180
341                 R = C / (2 * np.pi)
342                 S = C * np.tan(alpha_rad)
343                 L = np.sqrt((C**2) + (S**2))
344                 hmax = vueltas * S
345                 omega = 10000

```

```

346
347 # Parmetros normalizados
348 longitud_onda = C / m
349 f = 3e8 / longitud_onda / 1e6 # frecuencia en megahertz
350 C_lambda = C / longitud_onda
351 S_lambda = S / longitud_onda
352 L_lambda = L / longitud_onda
353
354 # Funcin para calcular p
355 def velocidad_p(m, C_lambda, alpha_rad, hmax, R, longitud_onda):
356     hmax_R_producto = hmax * R
357
358     # Verificar condicin para evitar nmeros complejos
359     if (hmax_R_producto / longitud_onda**2)**2 >= C_lambda**2:
360         # Ajustar para evitar nmeros complejos
361         kR = 0.01 # Valor pequeno
362     else:
363         kR = np.sqrt(C_lambda**2 - (hmax_R_producto / longitud_onda**2)**2)
364
365     def hr(kR_val):
366         if kR_val <= 0:
367             return 0
368
369         # Usar jv (minscula) - funcin de Bessel
370         Jm = jv(m, kR_val)
371         Jmantes = jv(m-1, kR_val) if m-1 >= 0 else 0
372         Jmdespues = jv(m+1, kR_val)
373
374         # Evitar divisin por cero
375         if Jmantes == 0 or Jmdespues == 0:
376             return 0
377
378         return np.tan(alpha_rad) * (m * Jm**2) / (Jmantes * Jmdespues)
379
380     hr_val = hr(kR)
381
382     # Calcular p
383     denominador = m * np.cos(alpha_rad) + hr_val * np.sin(alpha_rad)
384     if abs(denominador) < 1e-10:
385         p = 1.0
386     else:
387         p = C_lambda / denominador
388         # Limitar p entre 0 y 1 para estabilidad
389         p = max(0.01, min(0.99, p))
390
391     return p, kR, hr_val
392
393 # Calcular p
394 p, kR, hr_val = velocidad_p(m, C_lambda, alpha_rad, hmax, R, longitud_onda)
395
396 # Trayectoria
397 theta = np.linspace(0, vueltas * 2 * np.pi, n)
398 z = (S / (2 * np.pi)) * theta
399 x = R * np.cos(theta)
400 y = R * np.sin(theta)
401
402 # Superficie de la helicoida
403 theta_surf = np.linspace(0, vueltas * 2 * np.pi, 50)
404 r_surf = np.linspace(0, R, 50)
405 theta_surf, r_surf = np.meshgrid(theta_surf, r_surf)
406 x_surf = r_surf * np.cos(theta_surf)
407 y_surf = r_surf * np.sin(theta_surf)
408 z_surf = (hmax / (vueltas * 2 * np.pi)) * theta_surf
409
410 def power_pattern(altura_z, progress=1):
411     theta_p = np.linspace(0, 2 * np.pi, 50)
412     phi_p = np.linspace(0, np.pi, 50)
413     theta_p, phi_p = np.meshgrid(theta_p, phi_p)
414
415     # Usar p calculado
416     p_safe = max(0.01, min(0.99, p))
417     psi = 2 * np.pi * (S_lambda * np.cos(phi_p) - L_lambda / p_safe)
418
419     E = (np.sin(np.pi/(2 * vueltas)) *
420          (np.sin(vueltas * psi/2) / np.sin(psi/2 + 1e-9)) *
421          np.cos(theta_p))
422
423     E = np.abs(E) / np.max(np.abs(E))
424
425     scale = 0.1 + 0.9 * progress
426     Xp = factor * scale * 0.5 * E * np.sin(phi_p) * np.cos(theta_p)
427     Yp = factor * scale * 0.5 * E * np.sin(phi_p) * np.sin(theta_p)
428     Zp = factor * 0.5 * E * np.cos(phi_p) + altura_z
429
430     return E, Xp, Yp, Zp
431
432 # Configuracin de la figura
433 fig = plt.figure(figsize=(12, 8))

```

```

434     ax = fig.add_subplot(111, projection='3d')
435
436     max_range = max(R, hmax/2)
437     ax.set_xlim([-max_range*1, max_range*1])
438     ax.set_ylim([-max_range*1, max_range*1])
439     ax.set_zlim([0, hmax*1.2])
440
441     ax.set_xlabel("X", fontsize=12)
442     ax.set_ylabel("Y", fontsize=12)
443     ax.set_zlabel("Z", fontsize=12)
444     ax.set_title(f"Patrón de Radiación en Helicoide\np = {p:.4f}, m = {m}", fontsize=14)
445
446     ax.tick_params(axis='both', which='major', labelsize=12, width=2, length=6)
447     ax.locator_params(axis='x', nbins=5)
448     ax.locator_params(axis='y', nbins=5)
449     ax.locator_params(axis='z', nbins=5)
450
451     # Dibujar trayectoria
452     filamento_gris = ax.plot(x, y, z, color='black', linewidth=4, alpha=0.5)
453     filamento_rojo = ax.plot([], [], [], color='red', linewidth=6)
454
455     # Inicializar partícula
456     particle = ax.scatter([], [], [], c='red', s=50, zorder=10)
457     U_init, Xp_init, Yp_init, Zp_init = power_pattern(z[0], progress=0)
458     radiation_pattern = ax.plot_surface(
459         Xp_init, Yp_init, Zp_init,
460         facecolors=plt.cm.plasma(U_init),
461         alpha=0.7,
462         rstride=1, cstride=1,
463         zorder=5
464     )
465
466     # Añadir información del patrón
467     info_text = (f'm = {m}\n = {alpha}\nC = {C} m\nR = {R:.2f} m\n'
468                f'hmax = {hmax:.1f} m\np = {p:.4f}\n = {longitud_onda:.2f} m\n'
469                f'f = {f:.2f} MHz\nC/ = {C_lambda:.4f}\nvueltas = {vueltas}')
470     ax.text2D(0.02, 0.98, info_text, transform=ax.transAxes,
471              fontsize=9, verticalalignment='top',
472              bbox=dict(boxstyle='round', facecolor='wheat', alpha=0.8))
473
474     def init():
475         particle._offsets3d = ([], [], [])
476         return particle, radiation_pattern
477
478     def update(i):
479         nonlocal radiation_pattern
480
481         particle._offsets3d = ([x[i]], [y[i]], [z[i]])
482         progress = i / (n - 1)
483
484         U, Xp, Yp, Zp = power_pattern(z[i], progress)
485
486         radiation_pattern.remove()
487         radiation_pattern = ax.plot_surface(
488             Xp, Yp, Zp,
489             facecolors=plt.cm.plasma(U),
490             alpha=0.7,
491             rstride=1, cstride=1,
492             zorder=5
493         )
494
495         filamento_rojo.set_data(x[:i+1], y[:i+1])
496         filamento_rojo.set_3d_properties(z[:i+1])
497
498         # Emitir progreso
499         self.progress.emit(int(100 * i / n))
500
501         return particle, radiation_pattern, filamento_rojo
502
503     # Crear animación
504     ani = animation.FuncAnimation(
505         fig, update, frames=n, init_func=init,
506         interval=50, blit=False, repeat=True
507     )
508
509     # Guardar animación
510     save_path = "patron_modo_transmision.gif"
511     ani.save(save_path, writer=PillowWriter(fps=fps))
512     plt.close(fig)
513
514     self.finished.emit(save_path)
515
516 except Exception as e:
517     self.error.emit(str(e))
518
519 class HelicoideTransmisionGUI(QMainWindow):
520     def __init__(self):
521         super().__init__()

```

```

522 self.setWindowTitle("Simulador de Antena Helicoide - Modo de Transmisin")
523 self.setGeometry(50, 50, 1400, 900)
524
525 # Widget central
526 self.central_widget = QWidget()
527 self.setCentralWidget(self.central_widget)
528
529 # Layout principal horizontal
530 self.main_layout = QHBoxLayout()
531 self.central_widget.setLayout(self.main_layout)
532
533 # Frame izquierdo para controles
534 self.left_frame = QWidget()
535 self.left_layout = QVBoxLayout()
536 self.left_frame.setLayout(self.left_layout)
537 self.left_frame.setMaximumWidth(450)
538
539 # Frame derecho para graficos
540 self.right_frame = QWidget()
541 self.right_layout = QVBoxLayout()
542 self.right_frame.setLayout(self.right_layout)
543
544 # Panel de control
545 self.setup_control_panel()
546
547 # rea de graficos
548 self.setup_plots()
549
550 # Aadir frames al layout principal
551 self.main_layout.addWidget(self.left_frame, 1)
552 self.main_layout.addWidget(self.right_frame, 3)
553
554 # Hilo de animacin
555 self.animation_thread = None
556
557 # Barra de progreso
558 self.progress_bar = QProgressBar()
559 self.progress_bar.setVisible(False)
560 self.right_layout.addWidget(self.progress_bar)
561
562 def setup_control_panel(self):
563     """Configura el panel de control con parmetros"""
564
565     # Grupo de parmetros principales
566     main_group = QGroupBox("Parmetros Principales")
567     main_group.setStyleSheet("QGroupBox { font-weight: bold; }")
568     main_layout = QFormLayout()
569     main_layout.setSpacing(10)
570
571     # Factor (0.1-10) - deslizador
572     self.factor_label = QLabel("Factor: 1.0")
573     self.factor_label.setAlignment(Qt.AlignCenter)
574
575     self.factor_slider = QSlider(Qt.Horizontal)
576     self.factor_slider.setRange(1, 100) # 0.1 a 10 (multiplicado por 10)
577     self.factor_slider.setValue(10) # Valor inicial 1.0
578     self.factor_slider.setTickPosition(QSlider.TicksBelow)
579     self.factor_slider.setTickInterval(10)
580     self.factor_slider.valueChanged.connect(self.update_factor_label)
581
582     # ngulo alpha (1-89) - deslizador
583     self.alpha_label = QLabel("ngulo : 14.0")
584     self.alpha_label.setAlignment(Qt.AlignCenter)
585
586     self.alpha_slider = QSlider(Qt.Horizontal)
587     self.alpha_slider.setRange(10, 890) # 1.0 a 89.0 (multiplicado por 10)
588     self.alpha_slider.setValue(140) # Valor inicial 14.0
589     self.alpha_slider.setTickPosition(QSlider.TicksBelow)
590     self.alpha_slider.setTickInterval(50)
591     self.alpha_slider.valueChanged.connect(self.update_alpha_label)
592
593     # Circunferencia C (metros)
594     self.C_input = QDoubleSpinBox()
595     self.C_input.setRange(0.01, 100)
596     self.C_input.setValue(0.5)
597     self.C_input.setDecimals(2)
598     self.C_input.setSingleStep(0.1)
599     self.C_input.setMaximumWidth(120)
600
601     # Nmero de vueltas (>0)
602     self.vueltas_input = QSpinBox()
603     self.vueltas_input.setRange(1, 50) # Mayor a 0
604     self.vueltas_input.setValue(7)
605     self.vueltas_input.setSingleStep(1)
606     self.vueltas_input.setMaximumWidth(120)
607
608     # Orden de transmisin m (0-15)
609     self.m_input = QSpinBox()

```

```

610 self.m_input.setRange(0, 15)
611 self.m_input.setValue(1)
612 self.m_input.setSingleStep(1)
613 self.m_input.setMaximumWidth(120)
614
615 # Aadir widgets al layout
616 factor_widget = QWidget()
617 factor_layout = QVBoxLayout()
618 factor_layout.addWidget(self.factor_label)
619 factor_layout.addWidget(self.factor_slider)
620 factor_widget.setLayout(factor_layout)
621
622 alpha_widget = QWidget()
623 alpha_layout = QVBoxLayout()
624 alpha_layout.addWidget(self.alpha_label)
625 alpha_layout.addWidget(self.alpha_slider)
626 alpha_widget.setLayout(alpha_layout)
627
628 main_layout.addRow("Factor (0.1-10):", factor_widget)
629 main_layout.addRow("ngulo (1-89):", alpha_widget)
630 main_layout.addRow("Circunferencia C (m):", self.C_input)
631 main_layout.addRow("Vueltas (>0):", self.vueltas_input)
632 main_layout.addRow("Orden m (0-15):", self.m_input)
633 main_group.setLayout(main_layout)
634
635 # Grupo de parmetros de animacin
636 anim_group = QGroupBox("Parmetros de Animacin")
637 anim_group.setStyleSheet("QGroupBox { font-weight: bold; }")
638 anim_layout = QFormLayout()
639 anim_layout.setSpacing(10)
640
641 self.n_input = QSpinBox()
642 self.n_input.setRange(100, 2000)
643 self.n_input.setValue(500)
644 self.n_input.setSingleStep(100)
645 self.n_input.setMaximumWidth(120)
646
647 self.fps_input = QSpinBox()
648 self.fps_input.setRange(1, 60)
649 self.fps_input.setValue(20)
650 self.fps_input.setMaximumWidth(120)
651
652 anim_layout.addRow("Puntos (n):", self.n_input)
653 anim_layout.addRow("FPS:", self.fps_input)
654 anim_group.setLayout(anim_layout)
655
656 # Frame para botones
657 button_frame = QWidget()
658 button_layout = QVBoxLayout()
659 button_layout.setSpacing(10)
660 button_frame.setLayout(button_layout)
661
662 # Botones
663 self.simulate_btn = QPushButton("Ejecutar Simulacin")
664 self.simulate_btn.setStyleSheet("""
665     QPushButton {
666         background-color: #4CAF50;
667         color: white;
668         font-weight: bold;
669         padding: 12px;
670         font-size: 12pt;
671         border-radius: 5px;
672     }
673     QPushButton:hover {
674         background-color: #45a049;
675     }
676 """)
677 self.simulate_btn.clicked.connect(self.run_simulation)
678
679 self.animate_btn = QPushButton("Generar Animacin")
680 self.animate_btn.setStyleSheet("""
681     QPushButton {
682         background-color: #2196F3;
683         color: white;
684         font-weight: bold;
685         padding: 12px;
686         font-size: 12pt;
687         border-radius: 5px;
688     }
689     QPushButton:hover {
690         background-color: #0b7dda;
691     }
692 """)
693 self.animate_btn.clicked.connect(self.generate_animation)
694
695 self.clear_btn = QPushButton("Limpiar Grficos")
696 self.clear_btn.setStyleSheet("""
697     QPushButton {

```

```

698         background-color: #f44336;
699         color: white;
700         font-weight: bold;
701         padding: 12px;
702         font-size: 12pt;
703         border-radius: 5px;
704     }
705     QPushButton:hover {
706         background-color: #d32f2f;
707     }
708     """
709     self.clear_btn.clicked.connect(self.clear_plot)
710
711     # Botn para mostrar clculos
712     self.calc_btn = QPushButton("Mostrar Clculos")
713     self.calc_btn.setStyleSheet("""
714     QPushButton {
715         background-color: #9C27B0;
716         color: white;
717         font-weight: bold;
718         padding: 12px;
719         font-size: 12pt;
720         border-radius: 5px;
721     }
722     QPushButton:hover {
723         background-color: #7B1FA2;
724     }
725     """)
726     self.calc_btn.clicked.connect(self.show_calculations)
727
728     # Aadir botones
729     button_layout.addWidget(self.simulate_btn)
730     button_layout.addWidget(self.animate_btn)
731     button_layout.addWidget(self.calc_btn)
732     button_layout.addWidget(self.clear_btn)
733
734     # Aadir todos los grupos al layout izquierdo
735     self.left_layout.addWidget(main_group)
736     self.left_layout.addWidget(anim_group)
737     self.left_layout.addWidget(button_frame)
738     self.left_layout.addStretch()
739
740     def setup_plots(self):
741         """Configura el rea de graficos"""
742         self.figure = Figure(figsize=(10, 8), dpi=100)
743         self.canvas = FigureCanvas(self.figure)
744         self.ax = self.figure.add_subplot(111, projection='3d')
745
746         # Configurar ejes
747         self.ax.set_xlabel("X", fontsize=14, fontweight='bold')
748         self.ax.set_ylabel("Y", fontsize=14, fontweight='bold')
749         self.ax.set_zlabel("Z", fontsize=14, fontweight='bold')
750         self.ax.set_title("Simulador de Antena Helicoide - Modo de Transmisin",
751             fontsize=16, fontweight='bold', pad=20)
752
753         # Configurar ticks
754         self.ax.tick_params(axis='both', which='major', labelsize=11)
755
756         # Aadir canvas al layout derecho
757         self.right_layout.addWidget(self.canvas)
758
759     def update_factor_label(self):
760         """Actualiza la etiqueta del factor"""
761         value = self.factor_slider.value() / 10.0
762         self.factor_label.setText(f"Factor: {value:.1f}")
763
764     def update_alpha_label(self):
765         """Actualiza la etiqueta del ngulo alpha"""
766         value = self.alpha_slider.value() / 10.0
767         self.alpha_label.setText(f"ngulo : {value:.1f}")
768
769     def get_simulation_parameters(self):
770         """Obtiene los parametros de simulacin"""
771         params = {
772             'alpha': self.alpha_slider.value() / 10.0, # Convertir de 1.0-89.0
773             'C': self.C_input.value(),
774             'factor': self.factor_slider.value() / 10.0, # Convertir de 0.1-10.0
775             'vueltas': self.vueltas_input.value(),
776             'm': self.m_input.value(),
777             'n': self.n_input.value(),
778             'fps': self.fps_input.value()
779         }
780         return params
781
782     def calculate_parameters(self, params=None):
783         """Calcula los parametros derivados"""
784         if params is None:
785             params = self.get_simulation_parameters()

```

```

786
787     alpha = params['alpha']
788     C = params['C']
789     vueltas = params['vueltas']
790     m = params['m']
791
792     # Clculos bsicos
793     alpha_rad = alpha * np.pi / 180
794     R = C / (2 * np.pi)
795     S = C * np.tan(alpha_rad)
796     L = np.sqrt((C**2) + (S**2))
797     hmax = vueltas * S
798
799     # Parmetros normalizados
800     longitud_onda = C / max(1, m) # Evitar divisin por cero
801     f = 3e8 / longitud_onda / 1e6 # frecuencia en megahertz
802     C_lambda = C / longitud_onda
803     S_lambda = S / longitud_onda
804     L_lambda = L / longitud_onda
805
806     # Funcin para calcular p
807     def velocidad_p(m, C_lambda, alpha_rad, hmax, R, longitud_onda):
808         hmax_R_producto = hmax * R
809
810         # Verificar condicin para evitar nmeros complejos
811         if (hmax_R_producto / longitud_onda**2)**2 >= C_lambda**2:
812             kR = 0.01 # Valor pequeno por defecto
813         else:
814             kR = np.sqrt(C_lambda**2 - (hmax_R_producto / longitud_onda**2)**2)
815
816         def hr(kR_val):
817             if kR_val <= 0:
818                 return 0
819
820             # Usar jv (minscula) - funcin de Bessel
821             Jm = jv(m, kR_val)
822             Jmantes = jv(m-1, kR_val) if m-1 >= 0 else 0
823             Jmdespues = jv(m+1, kR_val)
824
825             # Evitar divisin por cero
826             if Jmantes == 0 or Jmdespues == 0:
827                 return 0
828
829             return np.tan(alpha_rad) * (m * Jm**2) / (Jmantes * Jmdespues)
830
831         hr_val = hr(kR)
832
833         # Calcular p
834         denominador = m * np.cos(alpha_rad) + hr_val * np.sin(alpha_rad)
835         if abs(denominador) < 1e-10:
836             p = 1.0
837         else:
838             p = C_lambda / denominador
839             # Limitar p entre 0 y 1 para estabilidad
840             p = max(0.01, min(0.99, p))
841
842         return p, kR, hr_val
843
844     # Calcular p
845     p, kR, hr_val = velocidad_p(m, C_lambda, alpha_rad, hmax, R, longitud_onda)
846
847     return {
848         'R': R, 'S': S, 'L': L, 'hmax': hmax,
849         'longitud_onda': longitud_onda, 'f': f,
850         'C_lambda': C_lambda, 'S_lambda': S_lambda, 'L_lambda': L_lambda,
851         'alpha_rad': alpha_rad, 'p': p, 'kR': kR, 'hr_val': hr_val
852     }
853
854 def power_pattern(self, altura_z, progress=1, params=None):
855     """Calcula el patrn de radiacin"""
856     if params is None:
857         params = self.get_simulation_parameters()
858
859     # Calcular parmetros derivados
860     calc_params = self.calculate_parameters(params)
861
862     factor = params['factor']
863     vueltas = params['vueltas']
864     S_lambda = calc_params['S_lambda']
865     L_lambda = calc_params['L_lambda']
866     p = calc_params['p']
867
868     # Calcular patrn
869     theta_p = np.linspace(0, 2 * np.pi, 50)
870     phi_p = np.linspace(0, np.pi, 50)
871     theta_p, phi_p = np.meshgrid(theta_p, phi_p)
872
873     # Usar p calculado con proteccin

```

```

874 p_safe = max(0.01, min(0.99, p))
875 psi = 2 * np.pi * (S_lambda * np.cos(phi_p) - L_lambda / p_safe)
876
877 E = (np.sin(np.pi/(2 * vueltas)) *
878      (np.sin(vueltas * psi/2) / np.sin(psi/2 + 1e-9)) *
879      np.cos(theta_p))
880
881 E = np.abs(E) / np.max(np.abs(E))
882
883 scale = 0.1 + 0.9 * progress
884 Xp = factor * scale * 0.5 * E * np.sin(phi_p) * np.cos(theta_p)
885 Yp = factor * scale * 0.5 * E * np.sin(phi_p) * np.sin(theta_p)
886 Zp = factor * 0.5 * E * np.cos(phi_p) + altura_z
887
888 return E, Xp, Yp, Zp
889
890 def run_simulation(self):
891     """Ejecuta la simulacin esttica"""
892     try:
893         params = self.get_simulation_parameters()
894         calc_params = self.calculate_parameters(params)
895
896         # Extraer parmetros
897         alpha = params['alpha']
898         C = params['C']
899         factor = params['factor']
900         vueltas = params['vueltas']
901         m = params['m']
902         n = params['n']
903
904         R = calc_params['R']
905         S = calc_params['S']
906         hmax = calc_params['hmax']
907         longitud_onda = calc_params['longitud_onda']
908         f = calc_params['f']
909         C_lambda = calc_params['C_lambda']
910         p = calc_params['p']
911
912         # Trayectoria
913         theta = np.linspace(0, vueltas * 2 * np.pi, n)
914         z = (S / (2 * np.pi)) * theta
915         x = R * np.cos(theta)
916         y = R * np.sin(theta)
917
918         # Superficie de la helicoida
919         theta_surf = np.linspace(0, vueltas * 2 * np.pi, 50)
920         r_surf = np.linspace(0, R, 50)
921         theta_surf, r_surf = np.meshgrid(theta_surf, r_surf)
922         x_surf = r_surf * np.cos(theta_surf)
923         y_surf = r_surf * np.sin(theta_surf)
924         z_surf = (hmax / (vueltas * 2 * np.pi)) * theta_surf
925
926         self.clear_plot()
927
928         # Dibujar trayectoria completa
929         self.ax.plot(x, y, z, color='black', linewidth=3, alpha=0.7, label='Trayectoria')
930
931         # Dibujar punto inicial y final
932         self.ax.scatter(x[0], y[0], z[0], c='green', s=100, edgecolors='black', linewidth=2, label='Inicio')
933         self.ax.scatter(x[-1], y[-1], z[-1], c='red', s=100, edgecolors='black', linewidth=2, label='Fin')
934
935         # Calcular y dibujar patr de radiacin en posicin media
936         mid_idx = n // 2
937         U, Xp, Yp, Zp = self.power_pattern(z[mid_idx], 0.5, params)
938         self.ax.plot_surface(
939             Xp, Yp, Zp,
940             facecolors=plt.cm.plasma(U),
941             alpha=0.6,
942             rstride=1, cstride=1
943         )
944
945         # Configurar lmites
946         max_range = max(R * 1.2, hmax/2)
947         self.ax.set_xlim(-max_range, max_range)
948         self.ax.set_ylim(-max_range, max_range)
949         self.ax.set_zlim(0, hmax * 1.1)
950
951         # Aadir informacin del patr
952         info_text = (f'm = {m}\n = {alpha}\nC = {C} m\nR = {R:.2f} m\n'
953                    f'hmax = {hmax:.1f} m\np = {p:.4f}\n = {longitud_onda:.2f} m\n'
954                    f'f = {f:.2f} MHz\nC/ = {C_lambda:.4f}\nvueltas = {vueltas}')
955         self.ax.text2D(0.02, 0.98, info_text, transform=self.ax.transAxes,
956                      fontsize=9, verticalalignment='top',
957                      bbox=dict(boxstyle='round', facecolor='wheat', alpha=0.8))
958
959         self.ax.set_title(f"Simulacin Esttica - Modo m={m}\n"
960                          f"={alpha}, C={C}m, p={p:.4f}, Vueltas={vueltas}",
961                          fontsize=14, fontweight='bold')

```

```

962
963     # Aadir leyenda
964     self.ax.legend(loc='upper right', fontsize=10)
965
966     self.canvas.draw()
967
968 except Exception as e:
969     self.show_error_message(f"Error en simulacin: {str(e)}")
970
971 def show_calculations(self):
972     """Muestra los clculos detallados"""
973     try:
974         params = self.get_simulation_parameters()
975         calc_params = self.calculate_parameters(params)
976
977         alpha = params['alpha']
978         C = params['C']
979         vueltas = params['vueltas']
980         m = params['m']
981
982         R = calc_params['R']
983         S = calc_params['S']
984         hmax = calc_params['hmax']
985         longitud_onda = calc_params['longitud_onda']
986         f = calc_params['f']
987         C_lambda = calc_params['C_lambda']
988         S_lambda = calc_params['S_lambda']
989         L_lambda = calc_params['L_lambda']
990         p = calc_params['p']
991         kR = calc_params['kR']
992         hr_val = calc_params['hr_val']
993
994         # Mostrar resultados
995         result_text = f"""
996         CLCULOS DETALLADOS:
997
998         Parmetros de entrada:
999         = {alpha:.1f}
1000         C = {C} m
1001         Factor = {params['factor']:.1f}
1002         Vueltas = {vueltas}
1003         Orden m = {m}
1004
1005         Geometra calculada:
1006         Radio R = C/(2) = {R:.4f} m
1007         Paso S = Ctan() = {S:.4f} m
1008         Altura total hmax = {vueltas}{S:.4f} = {hmax:.4f} m
1009         Longitud de hlice L = (C + S) = {calc_params['L']:.4f} m
1010
1011         Parmetros de frecuencia:
1012         Longitud de onda = C/m = {longitud_onda:.4f} m
1013         Frecuencia f = c/ = {f:.2f} MHz
1014         C/ = {C_lambda:.4f}
1015         S/ = {S_lambda:.4f}
1016         L/ = {L_lambda:.4f}
1017
1018         Parmetros de funcin de Bessel:
1019         kR = {kR:.6f}
1020         hr(kR) = {hr_val:.6f}
1021
1022         Velocidad de fase:
1023         p = C/ / (mcos() + hrsin()) = {p:.6f}
1024         """
1025
1026         QMessageBox.information(self, "Clculos Detallados", result_text)
1027
1028 except Exception as e:
1029     self.show_error_message(f"Error en clculos: {str(e)}")
1030
1031 def generate_animation(self):
1032     """Genera la animacin en un hilo separado"""
1033     try:
1034         params = self.get_simulation_parameters()
1035
1036         # Deshabilitar botones durante la animacin
1037         self.animate_btn.setEnabled(False)
1038         self.simulate_btn.setEnabled(False)
1039         self.calc_btn.setEnabled(False)
1040         self.animate_btn.setText("Generando...")
1041
1042         # Mostrar barra de progreso
1043         self.progress_bar.setVisible(True)
1044         self.progress_bar.setValue(0)
1045
1046         # Crear y ejecutar hilo de animacin
1047         self.animation_thread = AnimationThreadV1(params)
1048         self.animation_thread.finished.connect(self.animation_finished)
1049         self.animation_thread.error.connect(self.animation_error)

```

```

1050         self.animation_thread.progress.connect(self.update_progress)
1051         self.animation_thread.start()
1052
1053     except Exception as e:
1054         self.show_error_message(f"Error al iniciar animacin: {str(e)}")
1055
1056     def update_progress(self, value):
1057         """Actualiza la barra de progreso"""
1058         self.progress_bar.setValue(value)
1059
1060     def animation_finished(self, save_path):
1061         """Se llama cuando la animacin termina exitosamente"""
1062         self.animate_btn.setEnabled(True)
1063         self.simulate_btn.setEnabled(True)
1064         self.calc_btn.setEnabled(True)
1065         self.animate_btn.setText("Generar Animacin")
1066         self.progress_bar.setVisible(False)
1067
1068         QMessageBox.information(self, "Animacin Completada",
1069                                f"Animacin guardada como:\n{save_path}")
1070
1071     def animation_error(self, error_msg):
1072         """Se llama cuando hay un error en la animacin"""
1073         self.animate_btn.setEnabled(True)
1074         self.simulate_btn.setEnabled(True)
1075         self.calc_btn.setEnabled(True)
1076         self.animate_btn.setText("Generar Animacin")
1077         self.progress_bar.setVisible(False)
1078
1079         self.show_error_message(f"Error en animacin: {error_msg}")
1080
1081     def clear_plot(self):
1082         """Limpia el grfico"""
1083         self.ax.clear()
1084         self.ax.set_xlabel("X", fontsize=14, fontweight='bold')
1085         self.ax.set_ylabel("Y", fontsize=14, fontweight='bold')
1086         self.ax.set_zlabel("Z", fontsize=14, fontweight='bold')
1087         self.ax.set_title("Simulador de Antena Helicoide - Modo de Transmisin",
1088                           fontsize=16, fontweight='bold', pad=20)
1089         self.ax.tick_params(axis='both', which='major', labelsize=11)
1090         self.canvas.draw()
1091
1092     def show_error_message(self, message):
1093         """Muestra un mensaje de error"""
1094         QMessageBox.critical(self, "Error", message)
1095
1096     class AnimationThreadV2(QThread):
1097         """Hilo para generar la animacin en segundo plano"""
1098         finished = pyqtSignal(str)
1099         error = pyqtSignal(str)
1100         progress = pyqtSignal(int)
1101
1102     def __init__(self, params):
1103         super().__init__()
1104         self.params = params
1105
1106     def run(self):
1107         try:
1108             # Extraer parmetros
1109             alpha = self.params['alpha']
1110             C = self.params['C']
1111             factor = self.params['factor']
1112             vueltas = self.params['vueltas']
1113             C_lambda = self.params['C_lambda']
1114             n = self.params['n']
1115             fps = self.params['fps']
1116
1117             # Ciclos iniciales
1118             alpha_rad = alpha * np.pi / 180
1119             R = C / (2 * np.pi)
1120             D = 2 * R
1121             S = C * np.tan(alpha_rad)
1122             L = np.sqrt((C**2) + (S**2))
1123             hmax = vueltas * S
1124             omega = 10000
1125
1126             # Parmetros normalizados
1127             longitud_onda = C / C_lambda
1128             f = 3e8 / longitud_onda / 1e6 # frecuencia en megahertz
1129             S_lambda = S / longitud_onda
1130             L_lambda = L / longitud_onda
1131
1132             # Trayectoria
1133             theta = np.linspace(0, vueltas * 2 * np.pi, n)
1134             z = (S / (2 * np.pi)) * theta
1135             x = R * np.cos(theta)
1136             y = R * np.sin(theta)
1137

```

```

1138 # Superficie de la helicoida
1139 theta_surf = np.linspace(0, vueltas * 2 * np.pi, 50)
1140 r_surf = np.linspace(0, R, 50)
1141 theta_surf, r_surf = np.meshgrid(theta_surf, r_surf)
1142 x_surf = r_surf * np.cos(theta_surf)
1143 y_surf = r_surf * np.sin(theta_surf)
1144 z_surf = (hmax / (vueltas * 2 * np.pi)) * theta_surf
1145
1146 def power_pattern(altura_z, progress=1):
1147     theta_p = np.linspace(0, 2 * np.pi, 50)
1148     phi_p = np.linspace(0, np.pi, 50)
1149     theta_p, phi_p = np.meshgrid(theta_p, phi_p)
1150
1151     psi = 2 * np.pi * (S_lambda * (1 - np.cos(phi_p)) + (1/(2*vueltas)))
1152
1153     E = (np.sin(np.pi/(2 * vueltas)) *
1154          (np.sin(vueltas * psi/2) / np.sin(psi/2 + 1e-9))) *
1155          np.cos(theta_p)
1156
1157     E = np.abs(E) / np.max(np.abs(E))
1158
1159     scale = 0.1 + 0.9 * progress
1160     Xp = factor * scale * 0.5 * E * np.sin(phi_p) * np.cos(theta_p)
1161     Yp = factor * scale * 0.5 * E * np.sin(phi_p) * np.sin(theta_p)
1162     Zp = factor * 0.5 * E * np.cos(phi_p) + altura_z
1163
1164     return E, Xp, Yp, Zp
1165
1166 # Configuración de la figura
1167 fig = plt.figure(figsize=(12, 8))
1168 ax = fig.add_subplot(111, projection='3d')
1169
1170 max_range = max(R, hmax/2)
1171 ax.set_xlim([-max_range*1, max_range*1])
1172 ax.set_ylim([-max_range*1, max_range*1])
1173 ax.set_zlim([0, hmax*1.2])
1174
1175 ax.set_xlabel("X", fontsize=12)
1176 ax.set_ylabel("Y", fontsize=12)
1177 ax.set_zlabel("Z", fontsize=12)
1178 ax.set_title(f"Partícula y Patrón de Radiación en la Helicoida", fontsize=14)
1179
1180 ax.tick_params(axis='both', which='major', labelsize=12, width=2, length=6)
1181 ax.locator_params(axis='x', nbins=5)
1182 ax.locator_params(axis='y', nbins=5)
1183 ax.locator_params(axis='z', nbins=5)
1184
1185 # Dibujar trayectoria
1186 filamento_gris, = ax.plot(x, y, z, color='black', linewidth=4, alpha=0.5)
1187 filamento_rojo, = ax.plot([], [], [], color='red', linewidth=6)
1188
1189 # Inicializar partícula
1190 particle = ax.scatter([], [], [], c='red', s=50, zorder=10)
1191 U_init, Xp_init, Yp_init, Zp_init = power_pattern(z[0], progress=0)
1192 radiation_pattern = ax.plot_surface(
1193     Xp_init, Yp_init, Zp_init,
1194     facecolors=plt.cm.plasma(U_init),
1195     alpha=0.7,
1196     rstride=1, cstride=1,
1197     zorder=5
1198 )
1199
1200 # Añadir información del patrón
1201 info_text = (f' = {alpha}\nC = {C} m\nR = {R:.2f} m\nhmax = {hmax:.1f}m\n'
1202             f' = {longitud_onda:.2f} m\nf = {f:.2f} MHz\n'
1203             f'C/ = {C_lambda:.4f}\nvueltas = {vueltas}')
1204 ax.text2D(0.02, 0.98, info_text, transform=ax.transAxes,
1205          fontsize=10, verticalalignment='top',
1206          bbox=dict(boxstyle='round', facecolor='wheat', alpha=0.8))
1207
1208 def init():
1209     particle._offsets3d = ([], [], [])
1210     return particle, radiation_pattern
1211
1212 def update(i):
1213     nonlocal radiation_pattern
1214
1215     particle._offsets3d = ([x[i]], [y[i]], [z[i]])
1216     progress = i / (n - 1)
1217
1218     U, Xp, Yp, Zp = power_pattern(z[i], progress)
1219
1220     radiation_pattern.remove()
1221     radiation_pattern = ax.plot_surface(
1222         Xp, Yp, Zp,
1223         facecolors=plt.cm.plasma(U),
1224         alpha=0.7,
1225         rstride=1, cstride=1,

```

```

1226         zorder=5
1227     )
1228
1229     filamento_rojo.set_data(x[:i+1], y[:i+1])
1230     filamento_rojo.set_3d_properties(z[:i+1])
1231
1232     # Emitir progreso
1233     self.progress.emit(int(100 * i / n))
1234
1235     return particle, radiation_pattern, filamento_rojo
1236
1237     # Crear animación
1238     ani = animation.FuncAnimation(
1239         fig, update, frames=n, init_func=init,
1240         interval=50, blit=False, repeat=True
1241     )
1242
1243     # Guardar animación
1244     save_path = "patron_modotrans1.gif"
1245     ani.save(save_path, writer=PillowWriter(fps=fps))
1246     plt.close(fig)
1247
1248     self.finished.emit(save_path)
1249
1250 except Exception as e:
1251     self.error.emit(str(e))
1252
1253 class HelicoideSimulatorGUI(QMainWindow):
1254     def __init__(self):
1255         super().__init__()
1256         self.setWindowTitle("Simulador de Antena Helicoide - Modo Transversal")
1257         self.setGeometry(50, 50, 1400, 900)
1258
1259         # Widget central
1260         self.central_widget = QWidget()
1261         self.setCentralWidget(self.central_widget)
1262
1263         # Layout principal horizontal
1264         self.main_layout = QHBoxLayout()
1265         self.central_widget.setLayout(self.main_layout)
1266
1267         # Frame izquierdo para controles
1268         self.left_frame = QWidget()
1269         self.left_layout = QVBoxLayout()
1270         self.left_frame.setLayout(self.left_layout)
1271         self.left_frame.setMaximumWidth(450)
1272
1273         # Frame derecho para graficos
1274         self.right_frame = QWidget()
1275         self.right_layout = QVBoxLayout()
1276         self.right_frame.setLayout(self.right_layout)
1277
1278         # Panel de control
1279         self.setup_control_panel()
1280
1281         # rea de graficos
1282         self.setup_plots()
1283
1284         # Aadir frames al layout principal
1285         self.main_layout.addWidget(self.left_frame, 1)
1286         self.main_layout.addWidget(self.right_frame, 3)
1287
1288         # Hilo de animación
1289         self.animation_thread = None
1290
1291         # Barra de progreso
1292         self.progress_bar = QProgressBar()
1293         self.progress_bar.setVisible(False)
1294         self.right_layout.addWidget(self.progress_bar)
1295
1296     def setup_control_panel(self):
1297         """Configura el panel de control con parmetros"""
1298
1299         # Grupo de parmetros geometricos
1300         geom_group = QGroupBox("Parmetros Geometricos")
1301         geom_group.setStyleSheet("QGroupBox { font-weight: bold; }")
1302         geom_layout = QFormLayout()
1303         geom_layout.setSpacing(10)
1304
1305         # ngulo alpha (12 < alpha < 15) - Deslizador
1306         self.alpha_label = QLabel("ngulo : 14.0")
1307         self.alpha_label.setAlignment(Qt.AlignCenter)
1308
1309         self.alpha_slider = QSlider(Qt.Horizontal)
1310         self.alpha_slider.setRange(120, 150) # 12.0 a 15.0 (multiplicado por 10)
1311         self.alpha_slider.setValue(140) # Valor inicial 14.0
1312         self.alpha_slider.setTickPosition(QSlider.TicksBelow)
1313         self.alpha_slider.setTickInterval(10)

```

```

1314 self.alpha_slider.valueChanged.connect(self.update_alpha_label)
1315
1316 # Circunferencia C
1317 self.C_input = QDoubleSpinBox()
1318 self.C_input.setRange(0.1, 100)
1319 self.C_input.setValue(5)
1320 self.C_input.setDecimals(2)
1321 self.C_input.setSingleStep(0.5)
1322 self.C_input.setMaximumWidth(120)
1323
1324 # Factor de patrñ
1325 self.factor_input = QDoubleSpinBox()
1326 self.factor_input.setRange(0.1, 10)
1327 self.factor_input.setValue(1.0)
1328 self.factor_input.setDecimals(1)
1329 self.factor_input.setSingleStep(0.1)
1330 self.factor_input.setMaximumWidth(120)
1331
1332 # Nmero de vueltas (>3)
1333 self.vueltas_input = QSpinBox()
1334 self.vueltas_input.setRange(4, 50) # Mayor a 3
1335 self.vueltas_input.setValue(10)
1336 self.vueltas_input.setSingleStep(1)
1337 self.vueltas_input.setMaximumWidth(120)
1338
1339 # Aadir widgets al layout
1340 alpha_widget = QWidget()
1341 alpha_layout = QVBoxLayout()
1342 alpha_layout.addWidget(self.alpha_label)
1343 alpha_layout.addWidget(self.alpha_slider)
1344 alpha_widget.setLayout(alpha_layout)
1345
1346 geom_layout.addRow("ngulo (12-15):", alpha_widget)
1347 geom_layout.addRow("Circunferencia C (m):", self.C_input)
1348 geom_layout.addRow("Factor patrñ:", self.factor_input)
1349 geom_layout.addRow("Vueltas (>3):", self.vueltas_input)
1350 geom_group.setLayout(geom_layout)
1351
1352 # Grupo de parmetros normalizados
1353 norm_group = QGroupBox("Parmetros Normalizados")
1354 norm_group.setStyleSheet("QGroupBox { font-weight: bold; }")
1355 norm_layout = QFormLayout()
1356 norm_layout.setSpacing(10)
1357
1358 # C_lambda (0.75 a 1.25) - Deslizador
1359 self.C_lambda_label = QLabel("C/: 0.75")
1360 self.C_lambda_label.setAlignment(Qt.AlignCenter)
1361
1362 self.C_lambda_slider = QSlider(Qt.Horizontal)
1363 self.C_lambda_slider.setRange(75, 125) # 0.75 a 1.25 (multiplicado por 100)
1364 self.C_lambda_slider.setValue(75) # Valor inicial 0.75
1365 self.C_lambda_slider.setTickPosition(QSlider.TicksBelow)
1366 self.C_lambda_slider.setTickInterval(10)
1367 self.C_lambda_slider.valueChanged.connect(self.update_C_lambda_label)
1368
1369 # Aadir widget al layout
1370 C_lambda_widget = QWidget()
1371 C_lambda_layout = QVBoxLayout()
1372 C_lambda_layout.addWidget(self.C_lambda_label)
1373 C_lambda_layout.addWidget(self.C_lambda_slider)
1374 C_lambda_widget.setLayout(C_lambda_layout)
1375
1376 norm_layout.addRow("C/ (0.75-1.25):", C_lambda_widget)
1377 norm_group.setLayout(norm_layout)
1378
1379 # Grupo de parmetros de animacin
1380 anim_group = QGroupBox("Parmetros de Animacin")
1381 anim_group.setStyleSheet("QGroupBox { font-weight: bold; }")
1382 anim_layout = QFormLayout()
1383 anim_layout.setSpacing(10)
1384
1385 self.n_input = QSpinBox()
1386 self.n_input.setRange(100, 2000)
1387 self.n_input.setValue(500)
1388 self.n_input.setSingleStep(100)
1389 self.n_input.setMaximumWidth(120)
1390
1391 self.fps_input = QSpinBox()
1392 self.fps_input.setRange(1, 60)
1393 self.fps_input.setValue(20)
1394 self.fps_input.setMaximumWidth(120)
1395
1396 anim_layout.addRow("Puntos (n):", self.n_input)
1397 anim_layout.addRow("FPS:", self.fps_input)
1398 anim_group.setLayout(anim_layout)
1399
1400 # Frame para botones
1401 button_frame = QWidget()

```

```

1402 button_layout = QVBoxLayout()
1403 button_layout.setSpacing(10)
1404 button_frame.setLayout(button_layout)
1405
1406 # Botones
1407 self.simulate_btn = QPushButton("Ejecutar Simulacin")
1408 self.simulate_btn.setStyleSheet("""
1409     QPushButton {
1410         background-color: #4CAF50;
1411         color: white;
1412         font-weight: bold;
1413         padding: 12px;
1414         font-size: 12pt;
1415         border-radius: 5px;
1416     }
1417     QPushButton:hover {
1418         background-color: #45a049;
1419     }
1420 """)
1421 self.simulate_btn.clicked.connect(self.run_simulation)
1422
1423 self.animate_btn = QPushButton("Generar Animacin")
1424 self.animate_btn.setStyleSheet("""
1425     QPushButton {
1426         background-color: #2196F3;
1427         color: white;
1428         font-weight: bold;
1429         padding: 12px;
1430         font-size: 12pt;
1431         border-radius: 5px;
1432     }
1433     QPushButton:hover {
1434         background-color: #0b7dda;
1435     }
1436 """)
1437 self.animate_btn.clicked.connect(self.generate_animation)
1438
1439 self.clear_btn = QPushButton("Limpiar Grficos")
1440 self.clear_btn.setStyleSheet("""
1441     QPushButton {
1442         background-color: #f44336;
1443         color: white;
1444         font-weight: bold;
1445         padding: 12px;
1446         font-size: 12pt;
1447         border-radius: 5px;
1448     }
1449     QPushButton:hover {
1450         background-color: #d32f2f;
1451     }
1452 """)
1453 self.clear_btn.clicked.connect(self.clear_plot)
1454
1455 # Aadir botones
1456 button_layout.addWidget(self.simulate_btn)
1457 button_layout.addWidget(self.animate_btn)
1458 button_layout.addWidget(self.clear_btn)
1459
1460 # Aadir todos los grupos al layout izquierdo
1461 self.left_layout.addWidget(geom_group)
1462 self.left_layout.addWidget(norm_group)
1463 self.left_layout.addWidget(anim_group)
1464 self.left_layout.addWidget(button_frame)
1465 self.left_layout.addStretch()
1466
1467 def setup_plots(self):
1468     """Configura el rea de graficos"""
1469     self.figure = Figure(figsize=(10, 8), dpi=100)
1470     self.canvas = FigureCanvas(self.figure)
1471     self.ax = self.figure.add_subplot(111, projection='3d')
1472
1473     # Configurar ejes
1474     self.ax.set_xlabel("X", fontsize=14, fontweight='bold')
1475     self.ax.set_ylabel("Y", fontsize=14, fontweight='bold')
1476     self.ax.set_zlabel("Z", fontsize=14, fontweight='bold')
1477     self.ax.set_title("Simulador de Antena Helicoide - Modo Transversal",
1478         fontsize=16, fontweight='bold', pad=20)
1479
1480     # Configurar ticks
1481     self.ax.tick_params(axis='both', which='major', labelsize=11)
1482
1483     # Aadir canvas al layout derecho
1484     self.right_layout.addWidget(self.canvas)
1485
1486 def update_alpha_label(self):
1487     """Actualiza la etiqueta del ngulo alpha"""
1488     value = self.alpha_slider.value() / 10.0
1489     self.alpha_label.setText(f"ngulo : {value:.1f}")

```

```

1490
1491 def update_C_lambda_label(self):
1492     """Actualiza la etiqueta de C_lambda"""
1493     value = self.C_lambda_slider.value() / 100.0
1494     self.C_lambda_label.setText(f"C/: {value:.2f}")
1495
1496 def get_simulation_parameters(self):
1497     """Obtiene los parámetros de simulación"""
1498     params = {
1499         'alpha': self.alpha_slider.value() / 10.0, # Convertir de 12.0-15.0
1500         'C': self.C_input.value(),
1501         'factor': self.factor_input.value(),
1502         'vueltas': self.vueltas_input.value(),
1503         'C_lambda': self.C_lambda_slider.value() / 100.0, # Convertir de 0.75-1.25
1504         'n': self.n_input.value(),
1505         'fps': self.fps_input.value()
1506     }
1507     return params
1508
1509 def calculate_parameters(self, params=None):
1510     """Calcula los parámetros derivados"""
1511     if params is None:
1512         params = self.get_simulation_parameters()
1513
1514     alpha = params['alpha']
1515     C = params['C']
1516     factor = params['factor']
1517     vueltas = params['vueltas']
1518     C_lambda = params['C_lambda']
1519
1520     # Ciclos
1521     alpha_rad = alpha * np.pi / 180
1522     R = C / (2 * np.pi)
1523     S = C * np.tan(alpha_rad)
1524     L = np.sqrt((C**2) + (S**2))
1525     hmax = vueltas * S
1526
1527     # Parámetros normalizados
1528     longitud_onda = C / C_lambda
1529     f = 3e8 / longitud_onda / 1e6 # frecuencia en megahertz
1530     S_lambda = S / longitud_onda
1531     L_lambda = L / longitud_onda
1532
1533     return {
1534         'R': R, 'S': S, 'L': L, 'hmax': hmax,
1535         'longitud_onda': longitud_onda, 'f': f,
1536         'S_lambda': S_lambda, 'L_lambda': L_lambda,
1537         'alpha_rad': alpha_rad
1538     }
1539
1540 def power_pattern(self, altura_z, progress=1, params=None):
1541     """Calcula el patrón de radiación"""
1542     if params is None:
1543         params = self.get_simulation_parameters()
1544
1545     # Calcular parámetros derivados
1546     calc_params = self.calculate_parameters(params)
1547
1548     alpha = params['alpha']
1549     C = params['C']
1550     factor = params['factor']
1551     vueltas = params['vueltas']
1552     S_lambda = calc_params['S_lambda']
1553
1554     # Calcular patrón
1555     theta_p = np.linspace(0, 2 * np.pi, 50)
1556     phi_p = np.linspace(0, np.pi, 50)
1557     theta_p, phi_p = np.meshgrid(theta_p, phi_p)
1558
1559     psi = 2 * np.pi * (S_lambda * (1 - np.cos(phi_p)) + (1/(2*vueltas)))
1560
1561     E = (np.sin(np.pi/(2 * vueltas)) *
1562          (np.sin(vueltas * psi/2) / np.sin(psi/2 + 1e-9)) *
1563          np.cos(theta_p))
1564
1565     E = np.abs(E) / np.max(np.abs(E))
1566
1567     scale = 0.1 + 0.9 * progress
1568     Xp = factor * scale * 0.5 * E * np.sin(phi_p) * np.cos(theta_p)
1569     Yp = factor * scale * 0.5 * E * np.sin(phi_p) * np.sin(theta_p)
1570     Zp = factor * 0.5 * E * np.cos(phi_p) + altura_z
1571
1572     return E, Xp, Yp, Zp
1573
1574 def run_simulation(self):
1575     """Ejecuta la simulación estática"""
1576     try:
1577         params = self.get_simulation_parameters()

```

```

1578         calc_params = self.calculate_parameters(params)
1579
1580         # Extraer parámetros
1581         alpha = params['alpha']
1582         C = params['C']
1583         factor = params['factor']
1584         vueltas = params['vueltas']
1585         C_lambda = params['C_lambda']
1586         n = params['n']
1587
1588         R = calc_params['R']
1589         S = calc_params['S']
1590         hmax = calc_params['hmax']
1591         longitud_onda = calc_params['longitud_onda']
1592         f = calc_params['f']
1593
1594         # Trayectoria
1595         theta = np.linspace(0, vueltas * 2 * np.pi, n)
1596         z = (S / (2 * np.pi)) * theta
1597         x = R * np.cos(theta)
1598         y = R * np.sin(theta)
1599
1600         # Superficie de la helicoida
1601         theta_surf = np.linspace(0, vueltas * 2 * np.pi, 50)
1602         r_surf = np.linspace(0, R, 50)
1603         theta_surf, r_surf = np.meshgrid(theta_surf, r_surf)
1604         x_surf = r_surf * np.cos(theta_surf)
1605         y_surf = r_surf * np.sin(theta_surf)
1606         z_surf = (hmax / (vueltas * 2 * np.pi)) * theta_surf
1607
1608         self.clear_plot()
1609
1610         # Dibujar trayectoria completa
1611         self.ax.plot(x, y, z, color='black', linewidth=3, alpha=0.7, label='Trayectoria')
1612
1613         # Dibujar punto inicial y final
1614         self.ax.scatter(x[0], y[0], z[0], c='green', s=100, edgecolors='black', linewidth=2, label='Inicio')
1615         self.ax.scatter(x[-1], y[-1], z[-1], c='red', s=100, edgecolors='black', linewidth=2, label='Fin')
1616
1617         # Calcular y dibujar patrón de radiación en posición media
1618         mid_idx = n // 2
1619         U, Xp, Yp, Zp = self.power_pattern(z[mid_idx], 0.5, params)
1620         self.ax.plot_surface(
1621             Xp, Yp, Zp,
1622             facecolors=plt.cm.plasma(U),
1623             alpha=0.6,
1624             rstride=1, cstride=1
1625         )
1626
1627         # Configurar límites
1628         max_range = max(R * 1.2, hmax/2)
1629         self.ax.set_xlim(-max_range, max_range)
1630         self.ax.set_ylim(-max_range, max_range)
1631         self.ax.set_zlim(0, hmax * 1.1)
1632
1633         # Añadir información del patrón
1634         info_text = (f' = {alpha}\nC = {C} m\nR = {R:.2f} m\nhmax = {hmax:.1f}m\n'
1635                    f' = {longitud_onda:.2f} m\nf = {f:.2f} MHz\n'
1636                    f'C/ = {C_lambda:.4f}\nvueltas = {vueltas}')
1637         self.ax.text2D(0.02, 0.98, info_text, transform=self.ax.transAxes,
1638                    fontsize=10, verticalalignment='top',
1639                    bbox=dict(boxstyle='round', facecolor='wheat', alpha=0.8))
1640
1641         self.ax.set_title(f"Simulación Estática - Antena Helicoidal\n"
1642                    f"f={alpha}, C={C}m, C={C_lambda:.2f}, Vueltas={vueltas}",
1643                    fontsize=14, fontweight='bold')
1644
1645         # Añadir leyenda
1646         self.ax.legend(loc='upper right', fontsize=10)
1647
1648         self.canvas.draw()
1649
1650     except Exception as e:
1651         self.show_error_message(f"Error en simulación: {str(e)}")
1652
1653     def generate_animation(self):
1654         """Genera la animación en un hilo separado"""
1655         try:
1656             params = self.get_simulation_parameters()
1657
1658             # Deshabilitar botones durante la animación
1659             self.animate_btn.setEnabled(False)
1660             self.simulate_btn.setEnabled(False)
1661             self.animate_btn.setText("Generando...")
1662
1663             # Mostrar barra de progreso
1664             self.progress_bar.setVisible(True)
1665             self.progress_bar.setValue(0)

```

```

1666
1667     # Crear y ejecutar hilo de animacin
1668     self.animation_thread = AnimationThreadV2(params)
1669     self.animation_thread.finished.connect(self.animation_finished)
1670     self.animation_thread.error.connect(self.animation_error)
1671     self.animation_thread.progress.connect(self.update_progress)
1672     self.animation_thread.start()
1673
1674 except Exception as e:
1675     self.show_error_message(f"Error al iniciar animacin: {str(e)}")
1676
1677 def update_progress(self, value):
1678     """Actualiza la barra de progreso"""
1679     self.progress_bar.setValue(value)
1680
1681 def animation_finished(self, save_path):
1682     """Se llama cuando la animacin termina exitosamente"""
1683     self.animate_btn.setEnabled(True)
1684     self.simulate_btn.setEnabled(True)
1685     self.animate_btn.setText("Generar Animacin")
1686     self.progress_bar.setVisible(False)
1687
1688     QMessageBox.information(self, "Animacin Completada",
1689                             f"Animacin guardada como:\n{save_path}")
1690
1691 def animation_error(self, error_msg):
1692     """Se llama cuando hay un error en la animacin"""
1693     self.animate_btn.setEnabled(True)
1694     self.simulate_btn.setEnabled(True)
1695     self.animate_btn.setText("Generar Animacin")
1696     self.progress_bar.setVisible(False)
1697
1698     self.show_error_message(f"Error en animacin: {error_msg}")
1699
1700 def clear_plot(self):
1701     """Limpia el grfico"""
1702     self.ax.clear()
1703     self.ax.set_xlabel("X", fontsize=14, fontweight='bold')
1704     self.ax.set_ylabel("Y", fontsize=14, fontweight='bold')
1705     self.ax.set_zlabel("Z", fontsize=14, fontweight='bold')
1706     self.ax.set_title("Simulador de Antena Helicoidale - Modo Transversal",
1707                      fontsize=16, fontweight='bold', pad=20)
1708     self.ax.tick_params(axis='both', which='major', labelsize=11)
1709     self.canvas.draw()
1710
1711 def show_error_message(self, message):
1712     """Muestra un mensaje de error"""
1713     QMessageBox.critical(self, "Error", message)
1714
1715 class AntenaHelicoidalGUI(QMainWindow):
1716     def __init__(self):
1717         super().__init__()
1718         self.setWindowTitle("Calculador de Antena Helicoidal")
1719         self.setGeometry(100, 100, 1600, 900)
1720
1721         # Widget central
1722         self.central_widget = QWidget()
1723         self.setCentralWidget(self.central_widget)
1724
1725         # Layout principal horizontal
1726         self.main_layout = QHBoxLayout()
1727         self.central_widget.setLayout(self.main_layout)
1728
1729         # Panel izquierdo para controles
1730         self.left_panel = QWidget()
1731         self.left_layout = QVBoxLayout()
1732         self.left_panel.setLayout(self.left_layout)
1733         self.left_panel.setMaximumWidth(400)
1734
1735         # Panel derecho para graficos e imagenes
1736         self.right_panel = QWidget()
1737         self.right_layout = QGridLayout()
1738         self.right_panel.setLayout(self.right_layout)
1739
1740         # Configurar controles
1741         self.setup_controls()
1742         # Configurar rea de graficos
1743         self.setup_graphics()
1744
1745         # Aadir paneles al layout principal
1746         self.main_layout.addWidget(self.left_panel, 1)
1747         self.main_layout.addWidget(self.right_panel, 3)
1748
1749 def setup_controls(self):
1750     """Configura los controles de entrada"""
1751
1752     # Titulo
1753     titulo_label = QLabel("CALCULADOR DE ANTENA HELICOIDAL")

```

```

1754 titulo_label.setStyleSheet("""
1755     QLabel {
1756         font-size: 16pt;
1757         font-weight: bold;
1758         color: #2E7D32;
1759         padding: 10px;
1760         background-color: #E8F5E9;
1761         border-radius: 5px;
1762     }
1763     """)
1764 titulo_label.setAlignment(Qt.AlignCenter)
1765
1766 # Grupo: Parmetros elctricos
1767 elec_group = QGroupBox("Parametros Electricos")
1768 elec_group.setStyleSheet("""
1769     QGroupBox {
1770         font-weight: bold;
1771         font-size: 11pt;
1772         border: 2px solid #4CAF50;
1773         border-radius: 5px;
1774         margin-top: 10px;
1775     }
1776     QGroupBox::title {
1777         subcontrol-origin: margin;
1778         left: 10px;
1779         padding: 0 5px 0 5px;
1780         color: #2E7D32;
1781     }
1782     """)
1783 elec_layout = QFormLayout()
1784 elec_layout.setSpacing(10)
1785
1786 self.voltaje_input = QDoubleSpinBox()
1787 self.voltaje_input.setRange(1, 1000)
1788 self.voltaje_input.setValue(120.0)
1789 self.voltaje_input.setDecimals(1)
1790 self.voltaje_input.setSingleStep(10)
1791 self.voltaje_input.setSuffix(" V")
1792 self.voltaje_input.setMaximumWidth(150)
1793 self.voltaje_input.setStyleSheet("padding: 3px;")
1794
1795 self.corriente_input = QDoubleSpinBox()
1796 self.corriente_input.setRange(0.01, 10)
1797 self.corriente_input.setValue(0.8)
1798 self.corriente_input.setDecimals(3)
1799 self.corriente_input.setSingleStep(0.1)
1800 self.corriente_input.setSuffix(" A")
1801 self.corriente_input.setMaximumWidth(150)
1802 self.corriente_input.setStyleSheet("padding: 3px;")
1803
1804 self.carga_input = QDoubleSpinBox()
1805 self.carga_input.setRange(1e-12, 1e-4)
1806 self.carga_input.setValue(1.2e-8)
1807 self.carga_input.setDecimals(12)
1808 self.carga_input.setSuffix(" C")
1809 self.carga_input.setMaximumWidth(150)
1810 self.carga_input.setStyleSheet("padding: 3px;")
1811
1812 elec_layout.addRow("Voltaje (V):", self.voltaje_input)
1813 elec_layout.addRow("Corriente (I):", self.corriente_input)
1814 elec_layout.addRow("Carga (Q):", self.carga_input)
1815 elec_group.setLayout(elec_layout)
1816
1817 # Grupo: Parmetros de diseo
1818 design_group = QGroupBox("Parametros de Diseo")
1819 design_group.setStyleSheet("""
1820     QGroupBox {
1821         font-weight: bold;
1822         font-size: 11pt;
1823         border: 2px solid #2196F3;
1824         border-radius: 5px;
1825         margin-top: 10px;
1826     }
1827     QGroupBox::title {
1828         subcontrol-origin: margin;
1829         left: 10px;
1830         padding: 0 5px 0 5px;
1831         color: #1565C0;
1832     }
1833     """)
1834 design_layout = QFormLayout()
1835 design_layout.setSpacing(10)
1836
1837 self.opcion_combo = QComboBox()
1838 self.opcion_combo.addItem(["Opcion 1 (10)", "Opcion 2 (10)",
1839                             "Opcion 3 (10)", "Opcion 4 (10)"])
1840 self.opcion_combo.setCurrentIndex(2)
1841 self.opcion_combo.setMaximumWidth(180)

```

```

1842 self.opcion_combo.setStyleSheet("padding: 3px;")
1843
1844 self.flujo_input = QDoubleSpinBox()
1845 self.flujo_input.setRange(0.1, 100)
1846 self.flujo_input.setValue(2.3)
1847 self.flujo_input.setDecimals(3)
1848 self.flujo_input.setSingleStep(0.1)
1849 self.flujo_input.setMaximumWidth(150)
1850 self.flujo_input.setStyleSheet("padding: 3px;")
1851
1852 self.vueltas_input = QSpinBox()
1853 self.vueltas_input.setRange(4, 100)
1854 self.vueltas_input.setValue(5)
1855 self.vueltas_input.setSingleStep(1)
1856 self.vueltas_input.setMaximumWidth(150)
1857 self.vueltas_input.setStyleSheet("padding: 3px;")
1858
1859 self.alpha_label = QLabel("Angulo : 14.0")
1860 self.alpha_label.setAlignment(Qt.AlignCenter)
1861 self.alpha_label.setStyleSheet("font-weight: bold; color: #D32F2F;")
1862
1863 self.alpha_slider = QSlider(Qt.Horizontal)
1864 self.alpha_slider.setRange(120, 150)
1865 self.alpha_slider.setValue(140)
1866 self.alpha_slider.setTickPosition(QSlider.TicksBelow)
1867 self.alpha_slider.setTickInterval(10)
1868 self.alpha_slider.setStyleSheet("""
1869     QSlider::groove:horizontal {
1870         border: 1px solid #999999;
1871         height: 8px;
1872         background: qlineargradient(x1:0, y1:0, x2:0, y2:1,
1873             stop:0 #E1B1B1, stop:1 #c4c4c4);
1874         margin: 2px 0;
1875     }
1876     QSlider::handle:horizontal {
1877         background: qlineargradient(x1:0, y1:0, x2:1, y2:1,
1878             stop:0 #D32F2F, stop:1 #F44336);
1879         border: 1px solid #5c5c5c;
1880         width: 18px;
1881         margin: -2px 0;
1882         border-radius: 3px;
1883     }
1884 """)
1885 self.alpha_slider.valueChanged.connect(self.update_alpha_label)
1886
1887 alpha_widget = QWidget()
1888 alpha_layout = QVBoxLayout()
1889 alpha_layout.addWidget(self.alpha_label)
1890 alpha_layout.addWidget(self.alpha_slider)
1891 alpha_widget.setLayout(alpha_layout)
1892
1893 design_layout.addRow("Opcion escala:", self.opcion_combo)
1894 design_layout.addRow("Valor de flujo:", self.flujo_input)
1895 design_layout.addRow("Vueltas (>3):", self.vueltas_input)
1896 design_layout.addRow("Angulo (12-15):", alpha_widget)
1897 design_group.setLayout(design_layout)
1898
1899 # Frame para botones
1900 boton_frame = QWidget()
1901 boton_layout = QVBoxLayout()
1902 boton_layout.setSpacing(12)
1903 boton_layout.setContentsMargins(10, 20, 10, 10)
1904 boton_frame.setLayout(boton_layout)
1905
1906 # Botn "Calcular Parametros"
1907 self.mostrar_calc_btn = QPushButton("Calcular Parametros")
1908 self.mostrar_calc_btn.setStyleSheet("""
1909     QPushButton {
1910         background-color: #4CAF50;
1911         color: white;
1912         font-weight: bold;
1913         padding: 15px;
1914         font-size: 13pt;
1915         border-radius: 8px;
1916         border: 2px solid #388E3C;
1917     }
1918     QPushButton:hover {
1919         background-color: #45a049;
1920         border: 2px solid #2E7D32;
1921     }
1922     QPushButton:pressed {
1923         background-color: #388E3C;
1924     }
1925 """)
1926 self.mostrar_calc_btn.clicked.connect(self.mostrar_calculos)
1927
1928 # Botn "Dibujar Helicoide"
1929 self.dibujar_btn = QPushButton("Dibujar Helicoide")

```

```

1930 self.dibujar_btn.setStyleSheet("""
1931     QPushButton {
1932         background-color: #2196F3;
1933         color: white;
1934         font-weight: bold;
1935         padding: 15px;
1936         font-size: 13pt;
1937         border-radius: 8px;
1938         border: 2px solid #1976D2;
1939     }
1940     QPushButton:hover {
1941         background-color: #0b7dda;
1942         border: 2px solid #1565C0;
1943     }
1944     QPushButton:pressed {
1945         background-color: #1976D2;
1946     }
1947 """)
1948 self.dibujar_btn.clicked.connect(self.dibujar_helicoido)
1949
1950 # Botn "Limpiar"
1951 self.limpiar_btn = QPushButton("Limpiar")
1952 self.limpiar_btn.setStyleSheet("""
1953     QPushButton {
1954         background-color: #f44336;
1955         color: white;
1956         font-weight: bold;
1957         padding: 15px;
1958         font-size: 13pt;
1959         border-radius: 8px;
1960         border: 2px solid #D32F2F;
1961     }
1962     QPushButton:hover {
1963         background-color: #d32f2f;
1964         border: 2px solid #C2185B;
1965     }
1966     QPushButton:pressed {
1967         background-color: #D32F2F;
1968     }
1969 """)
1970 self.limpiar_btn.clicked.connect(self.limpiar)
1971
1972 button_layout.addWidget(self.mostrar_calc_btn)
1973 button_layout.addWidget(self.dibujar_btn)
1974 button_layout.addWidget(self.limpiar_btn)
1975 button_layout.addStretch()
1976
1977 # Aadir todos los widgets al panel izquierdo
1978 self.left_layout.addWidget(titulo_label)
1979 self.left_layout.addWidget(elec_group)
1980 self.left_layout.addWidget(design_group)
1981 self.left_layout.addWidget(button_frame)
1982 self.left_layout.addStretch()
1983
1984 def update_alpha_label(self):
1985     """Actualiza la etiqueta del ngulo alpha"""
1986     value = self.alpha_slider.value() / 10.0
1987     self.alpha_label.setText(f"Angulo : {value:.1f}")
1988
1989 def setup_graphics(self):
1990     """Configura el rea de graficos e imagenes con fondo blanco"""
1991     # Crear contenedor para las dos imagenes
1992     self.image_container = QWidget()
1993     self.image_layout = QHBoxLayout()
1994     self.image_container.setLayout(self.image_layout)
1995
1996     # Panel para imagen A35 (circuito RLC) con fondo blanco
1997     self.a35_panel = QWidget()
1998     self.a35_layout = QVBoxLayout()
1999     self.a35_panel.setLayout(self.a35_layout)
2000     self.a35_panel.setStyleSheet("background-color: white;")
2001
2002     a35_title = QLabel("CIRCUITO RLC - ANTENA")
2003     a35_title.setStyleSheet("""
2004         QLabel {
2005             font-size: 12pt;
2006             font-weight: bold;
2007             color: #4CAF50;
2008             padding: 5px;
2009             background-color: #E8F5E9;
2010             border-radius: 3px;
2011         }
2012 """)
2013     a35_title.setAlignment(Qt.AlignCenter)
2014
2015     self.a35_label = QLabel()
2016     self.a35_label.setAlignment(Qt.AlignCenter)
2017     self.a35_label.setStyleSheet("""

```

```

2018     QLabel {
2019         border: 2px solid #4CAF50;
2020         border-radius: 5px;
2021         background-color: white;
2022         min-height: 400px;
2023         min-width: 500px;
2024     }
2025     """)
2026
2027     # Cargamos imagen A35.png
2028     self.load_a35_image()
2029
2030     self.a35_layout.addWidget(a35_title)
2031     self.a35_layout.addWidget(self.a35_label)
2032
2033     # Panel para helicoides 3D con fondo blanco
2034     self.helicoides_panel = QWidget()
2035     self.helicoides_layout = QVBoxLayout()
2036     self.helicoides_panel.setLayout(self.helicoides_layout)
2037     self.helicoides_panel.setStyleSheet("background-color: white;")
2038
2039     helicoides_title = QLabel("ANTENA HELICOIDAL 3D")
2040     helicoides_title.setStyleSheet("""
2041         QLabel {
2042             font-size: 12pt;
2043             font-weight: bold;
2044             color: #2196F3;
2045             padding: 5px;
2046             background-color: #E3F2FD;
2047             border-radius: 3px;
2048         }
2049     """)
2050     helicoides_title.setAlignment(Qt.AlignCenter)
2051
2052     # Crear figura matplotlib para la helicoides con fondo blanco
2053     self.figure = Figure(figsize=(6, 4), dpi=100, facecolor='white')
2054     self.canvas = FigureCanvas(self.figure)
2055     self.ax = self.figure.add_subplot(111, projection='3d')
2056
2057     # Configurar fondo blanco para el gráfico 3D (forma correcta)
2058     self.ax.set_facecolor('white')
2059
2060     # Configurar los planos (panes) con fondo blanco
2061     self.ax.xaxis.set_pane_color((1.0, 1.0, 1.0, 1.0))
2062     self.ax.yaxis.set_pane_color((1.0, 1.0, 1.0, 1.0))
2063     self.ax.zaxis.set_pane_color((1.0, 1.0, 1.0, 1.0))
2064
2065     # Configurar ejes iniciales vacíos
2066     self.ax.set_xlabel("X (m)")
2067     self.ax.set_ylabel("Y (m)")
2068     self.ax.set_zlabel("Altura (m)")
2069     self.ax.set_title("Helicoides - Esperando datos", fontsize=10)
2070     self.ax.grid(True, alpha=0.3)
2071
2072     self.figure.tight_layout()
2073
2074     self.helicoides_layout.addWidget(helicoides_title)
2075     self.helicoides_layout.addWidget(self.canvas)
2076
2077     # Añadir ambos paneles al layout de imágenes (lado a lado)
2078     self.image_layout.addWidget(self.a35_panel, 1)
2079     self.image_layout.addWidget(self.helicoides_panel, 1)
2080
2081     # Añadir al layout derecho
2082     self.right_layout.addWidget(self.image_container, 0, 0, 1, 2)
2083
2084     # Etiqueta de estado
2085     self.status_label = QLabel("Listo para calcular")
2086     self.status_label.setStyleSheet("""
2087         QLabel {
2088             font-size: 10pt;
2089             color: #666;
2090             padding: 5px;
2091             background-color: #F5F5F5;
2092             border-radius: 3px;
2093         }
2094     """)
2095     self.status_label.setAlignment(Qt.AlignCenter)
2096     self.right_layout.addWidget(self.status_label, 1, 0, 1, 2)
2097
2098     def load_a35_image(self):
2099         """Carga la imagen A35.png con fondo blanco"""
2100         try:
2101             pixmap = QPixmap("A35.png")
2102             if not pixmap.isNull():
2103                 # Crear un pixmap con fondo blanco
2104                 white_pixmap = QPixmap(pixmap.size())
2105                 white_pixmap.fill(Qt.white)

```

```

2106
2107     # Pintar la imagen original sobre el fondo blanco
2108     from PyQt5.QtGui import QPainter
2109     painter = QPainter(white_pixmap)
2110     painter.drawPixmap(0, 0, pixmap)
2111     painter.end()
2112
2113     # Escalar manteniendo aspecto
2114     scaled_pixmap = white_pixmap.scaled(500, 400, Qt.KeepAspectRatio, Qt.SmoothTransformation)
2115     self.a35_label.setPixmap(scaled_pixmap)
2116     self.a35_label.setMinimumSize(scaled_pixmap.size())
2117 else:
2118     self.a35_label.setText("A35.png no encontrada\n(Asegurate de que este en la misma carpeta)")
2119     self.a35_label.setStyleSheet("""
2120         QLabel {
2121             border: 2px solid #f44336;
2122             border-radius: 5px;
2123             padding: 20px;
2124             background-color: white;
2125             color: #D32F2F;
2126             font-weight: bold;
2127             min-height: 300px;
2128             min-width: 400px;
2129         }
2130     """)
2131 except Exception as e:
2132     self.a35_label.setText(f"Error cargando A35.png:\n{str(e)}")
2133     self.a35_label.setStyleSheet("""
2134         QLabel {
2135             border: 2px solid #f44336;
2136             border-radius: 5px;
2137             padding: 20px;
2138             background-color: white;
2139             color: #D32F2F;
2140             font-weight: bold;
2141             min-height: 300px;
2142             min-width: 400px;
2143         }
2144     """)
2145
2146 def formato_inductancia_detallada(self, valor):
2147     """Formatea la inductancia."""
2148     if valor >= 1:
2149         return f"{valor:.6f} H"
2150     elif valor >= 1e-3:
2151         return f"{valor*1e3:.6f} mH"
2152     elif valor >= 1e-6:
2153         return f"{valor*1e6:.6f} H"
2154     elif valor >= 1e-9:
2155         return f"{valor*1e9:.6f} nH"
2156     elif valor >= 1e-12:
2157         return f"{valor*1e12:.6f} pH"
2158     else:
2159         return f"{valor:.2e} H"
2160
2161 def formato_capacitancia_detallada(self, valor):
2162     """Formatea la capacitancia."""
2163     if valor >= 1:
2164         return f"{valor:.6f} F"
2165     elif valor >= 1e-3:
2166         return f"{valor*1e3:.6f} mF"
2167     elif valor >= 1e-6:
2168         return f"{valor*1e6:.6f} F"
2169     elif valor >= 1e-9:
2170         return f"{valor*1e9:.6f} nF"
2171     elif valor >= 1e-12:
2172         return f"{valor*1e12:.6f} pF"
2173     else:
2174         return f"{valor:.2e} F"
2175
2176 def calcular_parametros(self):
2177     """Realiza los clculos y retorna los resultados"""
2178     try:
2179         # Obtener valores de la interfaz
2180         V = self.voltaje_input.value()
2181         I = self.corriente_input.value()
2182         Q = self.carga_input.value()
2183         opcion = self.opcion_combo.currentIndex() + 1
2184         valordeflujo = self.flujo_input.value()
2185         vueltas = self.vueltas_input.value()
2186         alpha = self.alpha_slider.value() / 10.0
2187
2188         impedancia_calculada = V / I
2189
2190         # Funcin flujo segn opcin
2191         def flujo(opcion):
2192             if opcion == 1:
2193                 return 1e-11

```

```

2194         elif opcion == 2:
2195             return 1e-9
2196         elif opcion == 3:
2197             return 1e-7
2198         elif opcion == 4:
2199             return 1e-5
2200         else:
2201             raise ValueError("Opcion invalida")
2202
2203     # Círculos
2204     Flujo = valordeflujo * flujo(opcion)
2205     alpha_rad = alpha * np.pi / 180
2206
2207     capacitancia = Q / V
2208     inductancia = Flujo / I
2209
2210     frecuencia_antena = 1 / (2 * np.pi * np.sqrt(inductancia * capacitancia))
2211     frecuencia_MHz = frecuencia_antena / 1e6
2212     longitud_onda = 3e8 / frecuencia_antena
2213
2214     valordecircunferenciaminimo = longitud_onda * 0.75
2215     valordecircunferenciamaximo = longitud_onda * 1.25
2216
2217     C = longitud_onda
2218     R = C / (2 * np.pi)
2219     D = 2 * R
2220     S = C * np.tan(alpha_rad)
2221     L = np.sqrt(C**2 + S**2)
2222     hmax = vueltas * S
2223
2224     C_lambda = C / longitud_onda
2225     S_lambda = S / longitud_onda
2226     L_lambda = L / longitud_onda
2227
2228     Impedanciaminima = ((2 * np.pi * 3e8)**2 * (Q * Flujo)) / ((C / 0.75)**2)
2229     Impedanciamaxima = ((2 * np.pi * 3e8)**2 * (Q * Flujo)) / ((C / 1.25)**2)
2230
2231     # Formatear valores
2232     capacitancia_formateada = self.formato_capacitancia_detallada(capacitancia)
2233     inductancia_formateada = self.formato_inductancia_detallada(inductancia)
2234     capacitancia_exacta = f"{capacitancia:.2e} F"
2235     inductancia_exacta = f"{inductancia:.2e} H"
2236     flujo_exacto = f"{Flujo:.2e} Wb"
2237
2238     return {
2239         'V': V, 'I': I, 'Q': Q, 'opcion': opcion,
2240         'valordeflujo': valordeflujo, 'vueltas': vueltas, 'alpha': alpha,
2241         'impedancia_calculada': impedancia_calculada,
2242         'Flujo': Flujo, 'alpha_rad': alpha_rad,
2243         'capacitancia': capacitancia, 'inductancia': inductancia,
2244         'frecuencia_antena': frecuencia_antena, 'frecuencia_MHz': frecuencia_MHz,
2245         'longitud_onda': longitud_onda,
2246         'valordecircunferenciaminimo': valordecircunferenciaminimo,
2247         'valordecircunferenciamaximo': valordecircunferenciamaximo,
2248         'C': C, 'R': R, 'D': D, 'S': S, 'L': L, 'hmax': hmax,
2249         'C_lambda': C_lambda, 'S_lambda': S_lambda, 'L_lambda': L_lambda,
2250         'Impedanciaminima': Impedanciaminima, 'Impedanciamaxima': Impedanciamaxima,
2251         'capacitancia_formateada': capacitancia_formateada,
2252         'inductancia_formateada': inductancia_formateada,
2253         'capacitancia_exacta': capacitancia_exacta,
2254         'inductancia_exacta': inductancia_exacta,
2255         'flujo_exacto': flujo_exacto
2256     }
2257
2258 except Exception as e:
2259     raise ValueError(f"Error en los calculos: {str(e)}")
2260
2261 def mostrar_calculos(self):
2262     """Muestra los cálculos en un cuadro de mensaje"""
2263     try:
2264         resultados = self.calcular_parametros()
2265
2266         # Crear texto de resultados
2267         resultados_text = f"""
2268
2269 Resultados:
2270
2271 Impedancia calculada: {resultados['impedancia_calculada']:.1f}
2272 Flujo magnetico: {resultados['flujo_exacto']} Wb
2273 Capacitancia: {resultados['capacitancia_formateada']} F
2274 Inductancia: {resultados['inductancia_formateada']} H
2275 Frecuencia de antena: {resultados['frecuencia_MHz']:.2f} MHz
2276 Longitud de onda: {resultados['longitud_onda']:.2f} m
2277 Circunferencia (C): {resultados['C']:.3f} m
2278 Radio (R): {resultados['R']:.3f} m
2279 Diametro (D): {resultados['D']:.3f} m
2280 Paso (S): {resultados['S']:.3f} m
2281 Altura total (hmax): {resultados['hmax']:.3f} m

```

```

2282         Longitud por vuelta (L): {resultados['L']:.3f} m
2283
2284     Recomendaciones de diseo:
2285
2286         Rango de circunferencia: {resultados['valordecircunferenciaminimo']:.2f} m a {resultados['valordecircunferenciamaximo']:.2f} m
2287         Rango de impedancias: {resultados['Impedanciaminima']:.2f} a {resultados['Impedanciamaxima']:.2f}
2288         Angulo recomendado: 12 a 15
2289         Minimo de vueltas: >3
2290
2291     ESCALAS DE FLUJO POR OPCION:
2292
2293         Opcion 1: Flujo base = 10
2294         Opcion 2: Flujo base = 10
2295         Opcion 3: Flujo base = 10
2296         Opcion 4: Flujo base = 10
2297     """
2298
2299     self.status_label.setText(f"Calculos completados - f = {resultados['frecuencia_MHz']:.2f} MHz")
2300     QMessageBox.information(self, "Calculos Detallados", resultados_text)
2301
2302     except Exception as e:
2303         self.status_label.setText("Error en calculos")
2304         QMessageBox.critical(self, "Error", f"Error en los calculos:\n{str(e)}")
2305
2306     def dibujar_helicoides(self):
2307         """Dibuja la helicoides en el grafico 3D"""
2308         try:
2309             resultados = self.calcular_parametros()
2310
2311             # Limpiar figura
2312             self.figure.clear()
2313             self.ax = self.figure.add_subplot(111, projection='3d')
2314
2315             # Configurar fondo blanco
2316             self.figure.set_facecolor('white')
2317             self.ax.set_facecolor('white')
2318             self.ax.xaxis.set_pane_color((1.0, 1.0, 1.0, 1.0))
2319             self.ax.yaxis.set_pane_color((1.0, 1.0, 1.0, 1.0))
2320             self.ax.zaxis.set_pane_color((1.0, 1.0, 1.0, 1.0))
2321
2322             # Extraer parámetros geométricos
2323             R = resultados['R']
2324             S = resultados['S']
2325             hmax = resultados['hmax']
2326             vueltas = resultados['vueltas']
2327             alpha = resultados['alpha']
2328             C = resultados['C']
2329             f = resultados['frecuencia_MHz']
2330
2331             # Generar puntos de la helicoides
2332             n_points = 500
2333             theta = np.linspace(0, vueltas * 2 * np.pi, n_points)
2334             z = (S / (2 * np.pi)) * theta
2335             x = R * np.cos(theta)
2336             y = R * np.sin(theta)
2337
2338             # Dibujar la helicoides principal
2339             self.ax.plot(x, y, z, 'black', linewidth=2.5, alpha=0.8, label='Antena helicoidal')
2340
2341             # Marcar puntos importantes
2342             self.ax.scatter(x[0], y[0], z[0], c='green', s=100, marker='o',
2343                           edgecolors='black', linewidth=1.5, label='Inicio', zorder=5)
2344             self.ax.scatter(x[-1], y[-1], z[-1], c='red', s=100, marker='o',
2345                           edgecolors='black', linewidth=1.5, label='Fin', zorder=5)
2346
2347             # Dibujar línea central (eje Z)
2348             self.ax.plot([0, 0], [0, 0], [0, hmax], 'k--', linewidth=1.5,
2349                         alpha=0.5, label='Eje central')
2350
2351             # Dibujar círculo base
2352             theta_base = np.linspace(0, 2 * np.pi, 100)
2353             x_base = R * np.cos(theta_base)
2354             y_base = R * np.sin(theta_base)
2355             self.ax.plot(x_base, y_base, np.zeros_like(x_base), 'g-',
2356                        linewidth=1, alpha=0.5, label='Base')
2357
2358             # Dibujar algunos puntos intermedios
2359             for i in range(1, vueltas):
2360                 idx = int(i * n_points / vueltas)
2361                 if idx < len(x):
2362                     self.ax.scatter(x[idx], y[idx], z[idx], c='orange', s=30,
2363                                   marker='o', alpha=0.6)
2364
2365             # Configurar límites
2366             max_range = max(R * 1.5, hmax/2)
2367             self.ax.set_xlim([-max_range, max_range])
2368             self.ax.set_ylim([-max_range, max_range])
2369             self.ax.set_zlim([0, hmax * 1.1])

```

```

2370
2371     # Configurar etiquetas
2372     self.ax.set_xlabel('X (m)', fontsize=10, fontweight='bold')
2373     self.ax.set_ylabel('Y (m)', fontsize=10, fontweight='bold')
2374     self.ax.set_zlabel('Altura (m)', fontsize=10, fontweight='bold')
2375
2376     # Titulo con informacin
2377     title_text = f'ANTENA HELICOIDAL - f = {f:.2f} MHz'
2378     self.ax.set_title(title_text, fontsize=12, fontweight='bold', pad=12)
2379
2380     # Aadir leyenda
2381     self.ax.legend(loc='upper right', fontsize=8)
2382
2383     # Habilitar grid
2384     self.ax.grid(True, alpha=0.3)
2385
2386     # Ajustar vista para mejor perspectiva
2387     self.ax.view_init(elev=25, azim=45)
2388
2389     # Ajustar layout
2390     self.figure.tight_layout()
2391
2392     # Actualizar canvas
2393     self.canvas.draw()
2394
2395     self.status_label.setText(f"Helicoide dibujado -  $\alpha$ ={alpha:.1f}, {vueltas} vueltas")
2396
2397 except Exception as e:
2398     self.status_label.setText("Error dibujando helicoide")
2399     QMessageBox.critical(self, "Error", f"Error al dibujar helicoide:\n{str(e)}")
2400
2401 def limpiar(self):
2402     """Limpia el grafico de la helicoide"""
2403     self.figure.clear()
2404     self.ax = self.figure.add_subplot(111, projection='3d')
2405
2406     # Configurar fondo blanco
2407     self.figure.set_facecolor('white')
2408     self.ax.set_facecolor('white')
2409     self.ax.xaxis.set_pane_color((1.0, 1.0, 1.0, 1.0))
2410     self.ax.yaxis.set_pane_color((1.0, 1.0, 1.0, 1.0))
2411     self.ax.zaxis.set_pane_color((1.0, 1.0, 1.0, 1.0))
2412
2413     # Configurar ejes vacos
2414     self.ax.set_xlabel("X (m)", fontsize=10)
2415     self.ax.set_ylabel("Y (m)", fontsize=10)
2416     self.ax.set_zlabel("Altura (m)", fontsize=10)
2417     self.ax.set_title("Helicoide - Esperando datos", fontsize=10)
2418     self.ax.grid(True, alpha=0.3)
2419
2420     self.figure.tight_layout()
2421     self.canvas.draw()
2422
2423     self.status_label.setText("Grafico limpiado - Listo para nuevos calculos")
2424
2425 class AnimationThreadV4(QThread):
2426     """Hilo para generar la animacin en segundo plano"""
2427     finished = pyqtSignal(str)
2428     error = pyqtSignal(str)
2429     progress = pyqtSignal(int)
2430
2431     def __init__(self, params):
2432         super().__init__()
2433         self.params = params
2434
2435     def run(self):
2436         try:
2437             # Extraer parmetros
2438             V = self.params['V']
2439             I = self.params['I']
2440             Q = 1.2e-8
2441             opcion = self.params['opcion']
2442             factor = self.params['factor']
2443             valordeflujo = self.params['valordeflujo']
2444             alpha = self.params['alpha']
2445             valordecircunferencia = self.params['valordecircunferencia']
2446             opcion_circunferencia = self.params['opcion_circunferencia']
2447             vueltas = self.params['vueltas']
2448             potenciovalor = self.params['potenciovalor']
2449             n = self.params['n']
2450             fps = self.params['fps']
2451
2452             # Clculos iniciales
2453             Impedancia = V / I
2454
2455             def flujo(opcion):
2456                 if opcion == 1:
2457                     return 1e-11

```

```

2458         elif opcion == 2:
2459             return 1e-9
2460         elif opcion == 3:
2461             return 1e-7
2462         elif opcion == 4:
2463             return 1e-5
2464         else:
2465             raise ValueError("Opción inválida para el flujo magnético.")
2466
2467     Flujo = valordeflujo * flujo(opcion)
2468     capacitancia = Q / V
2469     inductancia = Flujo / I
2470
2471     def ordenc(opcion_circunferencia):
2472         if opcion_circunferencia == 1:
2473             return .1
2474         elif opcion_circunferencia == 2:
2475             return 1
2476         elif opcion_circunferencia == 3:
2477             return 10
2478         elif opcion_circunferencia == 4:
2479             return 100
2480         else:
2481             raise ValueError("Opción inválida para el orden de la circunferencia.")
2482
2483     C = valordecircunferencia * ordenc(opcion_circunferencia)
2484     R = C / (2 * np.pi)
2485     S = C * np.tan(alpha * np.pi / 180)
2486     L = np.sqrt((C**2) + (S**2))
2487     hmax = vueltas * S
2488
2489     # Ciclos de frecuencia y longitud de onda
2490     frecuencia_antena = 1 / (2 * np.pi * np.sqrt(inductancia * capacitancia))
2491     longitud_onda = 3e8 / frecuencia_antena
2492
2493     # Potencimetro
2494     Impedanciaminima = (2*np.pi * 3e8)**2 * (Q * Flujo) / ((C/.75)**2)
2495     Impedanciamaxima = (2*np.pi * 3e8)**2 * (Q * Flujo) / ((C/1.25)**2)
2496
2497     def potencimetro(Impedanciaminima, Impedanciamaxima, valor):
2498         posicion = max(0, min(1, valor))
2499         return Impedanciaminima + posicion * (Impedanciamaxima - Impedanciaminima)
2500
2501     impedancia_ajustada = potencimetro(Impedanciaminima, Impedanciamaxima, potencimetro_valor)
2502     corriente_ajustada = V / impedancia_ajustada
2503     inductancia_ajustada = Flujo / corriente_ajustada
2504     frecuencia_ajustada = 1 / (2 * np.pi * np.sqrt(inductancia_ajustada * capacitancia))
2505     longitud_onda_ajustada = 3e8 / frecuencia_ajustada
2506     S_lambda_ajustada = S / longitud_onda_ajustada
2507     C_lambda_ajustada = C / longitud_onda_ajustada
2508     L_lambda_ajustada = L / longitud_onda_ajustada
2509
2510     # Trayectoria
2511     theta = np.linspace(0, vueltas * 2 * np.pi, n)
2512     z = (S / (2 * np.pi)) * theta
2513     x = R * np.cos(theta)
2514     y = R * np.sin(theta)
2515
2516     # Superficie de la helicoides
2517     theta_surf = np.linspace(0, vueltas * 2 * np.pi, 50)
2518     r_surf = np.linspace(0, R, 50)
2519     theta_surf, r_surf = np.meshgrid(theta_surf, r_surf)
2520     x_surf = r_surf * np.cos(theta_surf)
2521     y_surf = r_surf * np.sin(theta_surf)
2522     z_surf = (hmax / (vueltas * 2 * np.pi)) * theta_surf
2523
2524     def power_pattern(altura_z, progress=1):
2525         theta_p = np.linspace(0, 2 * np.pi, 50)
2526         phi_p = np.linspace(0, np.pi, 50)
2527         theta_p, phi_p = np.meshgrid(theta_p, phi_p)
2528
2529         psi = 2 * np.pi * (S_lambda_ajustada * (1 - np.cos(phi_p)) + (1/(2*vueltas)))
2530
2531         E = (np.sin(np.pi/(2 * vueltas)) *
2532              (np.sin(vueltas * psi/2) / np.sin(psi/2 + 1e-9)) *
2533              np.cos(theta_p))
2534
2535         E = np.abs(E) / np.max(np.abs(E))
2536
2537         scale = 0.1 + 0.9 * progress
2538         Xp = factor * scale * E * np.sin(phi_p) * np.cos(theta_p)
2539         Yp = factor * scale * E * np.sin(phi_p) * np.sin(theta_p)
2540         Zp = factor * E * np.cos(phi_p) + altura_z
2541
2542         return E, Xp, Yp, Zp
2543
2544     # Configuración de la figura
2545     fig = plt.figure(figsize=(12, 8))

```

```

2546     ax = fig.add_subplot(111, projection='3d')
2547
2548     max_range = max(R, hmax/2)
2549     ax.set_xlim([-max_range*1, max_range*1])
2550     ax.set_ylim([-max_range*1, max_range*1])
2551     ax.set_zlim([0, hmax*1.2])
2552
2553     ax.set_xlabel("X", fontsize=12)
2554     ax.set_ylabel("Y", fontsize=12)
2555     ax.set_zlabel("Z", fontsize=12)
2556     ax.set_title(f"Antena Helicoide - {vueltas} vueltas\nFrecuencia: {frecuencia_ajustada/1e6:.2f} MHz", fontsize=14)
2557
2558     # Dibujar trayectoria
2559     filamento_gris = ax.plot(x, y, z, color='black', linewidth=2, alpha=0.7)
2560     filamento_rojo = ax.plot([], [], [], color='red', linewidth=4)
2561
2562     # Inicializar partícula
2563     particle = ax.scatter([], [], [], c='red', s=80, edgecolors='black', linewidth=2, zorder=10)
2564     U_init, Xp_init, Yp_init, Zp_init = power_pattern(z[0], progress=0.1)
2565     radiation_pattern = ax.plot_surface(
2566         Xp_init, Yp_init, Zp_init,
2567         facecolors=plt.cm.plasma(U_init),
2568         alpha=0.6,
2569         rstride=1, cstride=1,
2570         zorder=5
2571     )
2572
2573     def init():
2574         particle._offsets3d = ([], [], [])
2575         return particle, radiation_pattern
2576
2577     def update(i):
2578         nonlocal radiation_pattern
2579
2580         particle._offsets3d = ([x[i]], [y[i]], [z[i]])
2581         progress = 0.1 + 0.9 * (i / (n - 1))
2582
2583         U, Xp, Yp, Zp = power_pattern(z[i], progress)
2584
2585         radiation_pattern.remove()
2586         radiation_pattern = ax.plot_surface(
2587             Xp, Yp, Zp,
2588             facecolors=plt.cm.plasma(U),
2589             alpha=0.6,
2590             rstride=1, cstride=1,
2591             zorder=5
2592         )
2593
2594         filamento_rojo.set_data(x[:i+1], y[:i+1])
2595         filamento_rojo.set_3d_properties(z[:i+1])
2596
2597         # Emitir progreso
2598         self.progress.emit(int(100 * i / n))
2599
2600         return particle, radiation_pattern, filamento_rojo
2601
2602     # Crear animación
2603     ani = animation.FuncAnimation(
2604         fig, update, frames=n, init_func=init,
2605         interval=50, blit=False, repeat=True
2606     )
2607
2608     # Guardar animación
2609     save_path = "4-patron_antena_helicoide.gif"
2610     ani.save(save_path, writer=PillowWriter(fps=fps))
2611     plt.tight_layout()
2612     plt.close(fig)
2613
2614     self.finished.emit(save_path)
2615
2616     except Exception as e:
2617         self.error.emit(str(e))
2618
2619 class AntenaHelicoideGUI(QMainWindow):
2620     def __init__(self):
2621         super().__init__()
2622         self.setWindowTitle("Simulador de Antena Helicoide RLC")
2623         self.setGeometry(50, 50, 1400, 900)
2624
2625         # Widget central
2626         self.central_widget = QWidget()
2627         self.setCentralWidget(self.central_widget)
2628
2629         # Layout principal horizontal
2630         self.main_layout = QHBoxLayout()
2631         self.central_widget.setLayout(self.main_layout)
2632
2633         # Frame izquierdo para controles

```

```

2634 self.left_frame = QWidget()
2635 self.left_layout = QVBoxLayout()
2636 self.left_frame.setLayout(self.left_layout)
2637 self.left_frame.setMaximumWidth(450)
2638
2639 # Frame derecho para graficos
2640 self.right_frame = QWidget()
2641 self.right_layout = QVBoxLayout()
2642 self.right_frame.setLayout(self.right_layout)
2643
2644 # Panel de control
2645 self.setup_control_panel()
2646
2647 # rea de graficos
2648 self.setup_plots()
2649
2650 # Aadir frames al layout principal
2651 self.main_layout.addWidget(self.left_frame, 1)
2652 self.main_layout.addWidget(self.right_frame, 3)
2653
2654 # Hilo de animacin
2655 self.animation_thread = None
2656
2657 # Barra de progreso
2658 self.progress_bar = QProgressBar()
2659 self.progress_bar.setVisible(False)
2660 self.right_layout.addWidget(self.progress_bar)
2661
2662 def setup_control_panel(self):
2663     """Configura el panel de control con parmetros"""
2664
2665     # Grupo de parmetros elctricos
2666     elec_group = QGroupBox("Parmetros Elctricos")
2667     elec_group.setStyleSheet("QGroupBox { font-weight: bold; }")
2668     elec_layout = QFormLayout()
2669     elec_layout.setSpacing(10)
2670
2671     self.V_input = QDoubleSpinBox()
2672     self.V_input.setRange(1, 240)
2673     self.V_input.setValue(120)
2674     self.V_input.setDecimals(1)
2675     self.V_input.setSingleStep(10)
2676     self.V_input.setMaximumWidth(120)
2677
2678     self.I_input = QDoubleSpinBox()
2679     self.I_input.setRange(0.1, 10)
2680     self.I_input.setValue(0.8)
2681     self.I_input.setDecimals(2)
2682     self.I_input.setSingleStep(0.1)
2683     self.I_input.setMaximumWidth(120)
2684
2685     elec_layout.addRow("Voltaje (V):", self.V_input)
2686     elec_layout.addRow("Corriente (I):", self.I_input)
2687     elec_group.setLayout(elec_layout)
2688
2689     # Grupo de parmetros de escala
2690     escala_group = QGroupBox("Parmetros de Escala")
2691     escala_group.setStyleSheet("QGroupBox { font-weight: bold; }")
2692     escala_layout = QFormLayout()
2693     escala_layout.setSpacing(10)
2694
2695     self.opcion_combo = QComboBox()
2696     self.opcion_combo.addItem("1 (10)", "2 (10)", "3 (10)", "4 (10)")
2697     self.opcion_combo.setCurrentIndex(2)
2698     self.opcion_combo.setMaximumWidth(120)
2699
2700     self.factor_input = QDoubleSpinBox()
2701     self.factor_input.setRange(0.1, 10)
2702     self.factor_input.setValue(1.0)
2703     self.factor_input.setDecimals(1)
2704     self.factor_input.setSingleStep(0.1)
2705     self.factor_input.setMaximumWidth(120)
2706
2707     escala_layout.addRow("Escala flujo:", self.opcion_combo)
2708     escala_layout.addRow("Factor patr:", self.factor_input)
2709     escala_group.setLayout(escala_layout)
2710
2711     # Grupo de parmetros magnticos
2712     mag_group = QGroupBox("Parmetros Magnticos")
2713     mag_group.setStyleSheet("QGroupBox { font-weight: bold; }")
2714     mag_layout = QFormLayout()
2715     mag_layout.setSpacing(10)
2716
2717     self.valordeflujo_input = QDoubleSpinBox()
2718     self.valordeflujo_input.setRange(0.1, 10)
2719     self.valordeflujo_input.setValue(2.3)
2720     self.valordeflujo_input.setDecimals(1)
2721     self.valordeflujo_input.setSingleStep(0.1)

```

```

2722 self.valordeflujo_input.setMaximumWidth(120)
2723
2724 self.alpha_input = QDoubleSpinBox()
2725 self.alpha_input.setRange(12, 15)
2726 self.alpha_input.setValue(14)
2727 self.alpha_input.setDecimals(1)
2728 self.alpha_input.setSingleStep(0.5)
2729 self.alpha_input.setMaximumWidth(120)
2730
2731 mag_layout.addRow("Valor de flujo:", self.valordeflujo_input)
2732 mag_layout.addRow("ngulo ( ):", self.alpha_input)
2733 mag_group.setLayout(mag_layout)
2734
2735 # Grupo de parmetros geometricos
2736 geom_group = QGroupBox("Parmetros Geometricos")
2737 geom_group.setStyleSheet("QGroupBox { font-weight: bold; }")
2738 geom_layout = QFormLayout()
2739 geom_layout.setSpacing(10)
2740
2741 self.valordecircunferencia_input = QDoubleSpinBox()
2742 self.valordecircunferencia_input.setRange(0.1, 20)
2743 self.valordecircunferencia_input.setValue(7)
2744 self.valordecircunferencia_input.setDecimals(1)
2745 self.valordecircunferencia_input.setSingleStep(0.5)
2746 self.valordecircunferencia_input.setMaximumWidth(120)
2747
2748 self.opcion_circunferencia_combo = QComboBox()
2749 self.opcion_circunferencia_combo.addItem("1 (0.1)", "2 (1)", "3 (10)", "4 (100)")
2750 self.opcion_circunferencia_combo.setCurrentIndex(1)
2751 self.opcion_circunferencia_combo.setMaximumWidth(120)
2752
2753 self.vueltas_input = QSpinBox()
2754 self.vueltas_input.setRange(3, 20)
2755 self.vueltas_input.setValue(5)
2756 self.vueltas_input.setSingleStep(1)
2757 self.vueltas_input.setMaximumWidth(120)
2758
2759 geom_layout.addRow("Valor circunf:", self.valordecircunferencia_input)
2760 geom_layout.addRow("Escala circunf:", self.opcion_circunferencia_combo)
2761 geom_layout.addRow("N de vueltas:", self.vueltas_input)
2762 geom_group.setLayout(geom_layout)
2763
2764 # Grupo del potencimetro
2765 pot_group = QGroupBox("Potencimetro de Impedancia")
2766 pot_group.setStyleSheet("QGroupBox { font-weight: bold; }")
2767 pot_layout = QVBoxLayout()
2768
2769 self.pot_label = QLabel("Posicin: 0.5")
2770 self.pot_label.setAlignment(Qt.AlignCenter)
2771
2772 self.pot_slider = QSlider(Qt.Horizontal)
2773 self.pot_slider.setRange(0, 100)
2774 self.pot_slider.setValue(50)
2775 self.pot_slider.setTickPosition(QSlider.TicksBelow)
2776 self.pot_slider.setTickInterval(10)
2777 self.pot_slider.valueChanged.connect(self.update_pot_label)
2778
2779 pot_layout.addWidget(self.pot_label)
2780 pot_layout.addWidget(self.pot_slider)
2781 pot_group.setLayout(pot_layout)
2782
2783 # Grupo de parmetros de animacin
2784 anim_group = QGroupBox("Parmetros de Animacin")
2785 anim_group.setStyleSheet("QGroupBox { font-weight: bold; }")
2786 anim_layout = QFormLayout()
2787 anim_layout.setSpacing(10)
2788
2789 self.n_input = QSpinBox()
2790 self.n_input.setRange(100, 2000)
2791 self.n_input.setValue(500)
2792 self.n_input.setSingleStep(100)
2793 self.n_input.setMaximumWidth(120)
2794
2795 self.fps_input = QSpinBox()
2796 self.fps_input.setRange(1, 60)
2797 self.fps_input.setValue(20)
2798 self.fps_input.setMaximumWidth(120)
2799
2800 anim_layout.addRow("Puntos (n):", self.n_input)
2801 anim_layout.addRow("FPS:", self.fps_input)
2802 anim_group.setLayout(anim_layout)
2803
2804 # Frame para botones
2805 button_frame = QWidget()
2806 button_layout = QVBoxLayout()
2807 button_layout.setSpacing(10)
2808 button_frame.setLayout(button_layout)
2809

```

```

2810 # Botones - MODIFICADO: Agregado botn de simulacin
2811 self.calc_btn = QPushButton("Calcular Parmetros")
2812 self.calc_btn.setStyleSheet("""
2813     QPushButton {
2814         background-color: #4CAF50;
2815         color: white;
2816         font-weight: bold;
2817         padding: 10px;
2818         font-size: 11pt;
2819         border-radius: 5px;
2820     }
2821     QPushButton:hover {
2822         background-color: #45a049;
2823     }
2824 """)
2825 self.calc_btn.clicked.connect(self.calculate_parameters)
2826
2827 self.simulate_btn = QPushButton("Ejecutar Simulacin")
2828 self.simulate_btn.setStyleSheet("""
2829     QPushButton {
2830         background-color: #FF9800;
2831         color: white;
2832         font-weight: bold;
2833         padding: 10px;
2834         font-size: 11pt;
2835         border-radius: 5px;
2836     }
2837     QPushButton:hover {
2838         background-color: #F57C00;
2839     }
2840 """)
2841 self.simulate_btn.clicked.connect(self.run_simulation)
2842
2843 self.animate_btn = QPushButton("Generar Animacin")
2844 self.animate_btn.setStyleSheet("""
2845     QPushButton {
2846         background-color: #2196F3;
2847         color: white;
2848         font-weight: bold;
2849         padding: 10px;
2850         font-size: 11pt;
2851         border-radius: 5px;
2852     }
2853     QPushButton:hover {
2854         background-color: #0b7dda;
2855     }
2856 """)
2857 self.animate_btn.clicked.connect(self.generate_animation)
2858
2859 self.clear_btn = QPushButton("Limpiar Grficos")
2860 self.clear_btn.setStyleSheet("""
2861     QPushButton {
2862         background-color: #f44336;
2863         color: white;
2864         font-weight: bold;
2865         padding: 10px;
2866         font-size: 11pt;
2867         border-radius: 5px;
2868     }
2869     QPushButton:hover {
2870         background-color: #d32f2f;
2871     }
2872 """)
2873 self.clear_btn.clicked.connect(self.clear_plot)
2874
2875 # Aadir botones en orden lgico
2876 button_layout.addWidget(self.calc_btn)
2877 button_layout.addWidget(self.simulate_btn)
2878 button_layout.addWidget(self.animate_btn)
2879 button_layout.addWidget(self.clear_btn)
2880
2881 # Aadir todos los grupos al layout izquierdo
2882 self.left_layout.addWidget(elec_group)
2883 self.left_layout.addWidget(escala_group)
2884 self.left_layout.addWidget(mag_group)
2885 self.left_layout.addWidget(geom_group)
2886 self.left_layout.addWidget(pot_group)
2887 self.left_layout.addWidget(anim_group)
2888 self.left_layout.addWidget(button_frame)
2889 self.left_layout.addStretch()
2890
2891 def setup_plots(self):
2892     """Configura el rea de graficos"""
2893     self.figure = Figure(figsize=(10, 8), dpi=100)
2894     self.canvas = FigureCanvas(self.figure)
2895     self.ax = self.figure.add_subplot(111, projection='3d')
2896
2897     # Configurar ejes

```

```

2898 self.ax.set_xlabel("X", fontsize=14, fontweight='bold')
2899 self.ax.set_ylabel("Y", fontsize=14, fontweight='bold')
2900 self.ax.set_zlabel("Z", fontsize=14, fontweight='bold')
2901 self.ax.set_title("Simulador de Antena Helicoide RLC", fontsize=16, fontweight='bold', pad=20)
2902
2903 # Configurar ticks
2904 self.ax.tick_params(axis='both', which='major', labelsize=11)
2905
2906 # Aadir canvas al layout derecho
2907 self.right_layout.addWidget(self.canvas)
2908
2909 def update_pot_label(self):
2910     """Actualiza la etiqueta del potencimetro"""
2911     value = self.pot_slider.value() / 100.0
2912     self.pot_label.setText(f"Posicin: {value:.2f}")
2913
2914 def get_simulation_parameters(self):
2915     """Obtiene los parmetros de simulacin"""
2916     params = {
2917         'V': self.V_input.value(),
2918         'I': self.I_input.value(),
2919         'opcion': self.opcion_combo.currentIndex() + 1,
2920         'factor': self.factor_input.value(),
2921         'valordeflujo': self.valordeflujo_input.value(),
2922         'alpha': self.alpha_input.value(),
2923         'valordecircunferencia': self.valordecircunferencia_input.value(),
2924         'opcion_circunferencia': self.opcion_circunferencia_combo.currentIndex() + 1,
2925         'vueltas': self.vueltas_input.value(),
2926         'potencimetro_valor': self.pot_slider.value() / 100.0,
2927         'n': self.n_input.value(),
2928         'fps': self.fps_input.value(),
2929         'Q': 1.2e-8 # Valor fijo
2930     }
2931     return params
2932
2933 def power_pattern(self, altura_z, progress=1, params=None):
2934     """Calcula el patr de radiacin"""
2935     if params is None:
2936         params = self.get_simulation_parameters()
2937
2938     # Obtener parmetros necesarios
2939     Q = params['Q']
2940     V = params['V']
2941     I = params['I']
2942     opcion = params['opcion']
2943     valordeflujo = params['valordeflujo']
2944     alpha = params['alpha']
2945     valordecircunferencia = params['valordecircunferencia']
2946     opcion_circunferencia = params['opcion_circunferencia']
2947     vueltas = params['vueltas']
2948     potencimetro_valor = params['potencimetro_valor']
2949     factor = params['factor']
2950
2951     # Funciones auxiliares
2952     def flujo(opcion):
2953         if opcion == 1:
2954             return 1e-11
2955         elif opcion == 2:
2956             return 1e-9
2957         elif opcion == 3:
2958             return 1e-7
2959         elif opcion == 4:
2960             return 1e-5
2961
2962     def ordenc(opcion_circunferencia):
2963         if opcion_circunferencia == 1:
2964             return .1
2965         elif opcion_circunferencia == 2:
2966             return 1
2967         elif opcion_circunferencia == 3:
2968             return 10
2969         elif opcion_circunferencia == 4:
2970             return 100
2971
2972     # Clculos
2973     Flujo = valordeflujo * flujo(opcion)
2974     capacitancia = Q / V
2975     inductancia = Flujo / I
2976     C = valordecircunferencia * ordenc(opcion_circunferencia)
2977     R = C / (2 * np.pi)
2978     S = C * np.tan(alpha * np.pi / 180)
2979
2980     # Potencimetro
2981     Impedanciaminima = (2*np.pi * 3e8)**2 * (Q * Flujo) / ((C/.75)**2)
2982     Impedanciamaxima = (2*np.pi * 3e8)**2 * (Q * Flujo) / ((C/1.25)**2)
2983     impedancia_ajustada = Impedanciaminima + potencimetro_valor * (Impedanciamaxima - Impedanciaminima)
2984     corriente_ajustada = V / impedancia_ajustada
2985     inductancia_ajustada = Flujo / corriente_ajustada

```

```

2986 frecuencia_ajustada = 1 / (2 * np.pi * np.sqrt(inductancia_ajustada * capacitancia))
2987 longitud_onda_ajustada = 3e8 / frecuencia_ajustada
2988 S_lambda_ajustada = S / longitud_onda_ajustada
2989
2990 # Calcular pairm
2991 theta_p = np.linspace(0, 2 * np.pi, 50)
2992 phi_p = np.linspace(0, np.pi, 50)
2993 theta_p, phi_p = np.meshgrid(theta_p, phi_p)
2994
2995 psi = 2 * np.pi * (S_lambda_ajustada * (1 - np.cos(phi_p)) + (1/(2*vueltas)))
2996
2997 E = (np.sin(np.pi/(2 * vueltas)) *
2998      (np.sin(vueltas * psi/2) / np.sin(psi/2 + 1e-9)) *
2999      np.cos(theta_p))
3000
3001 E = np.abs(E) / np.max(np.abs(E))
3002
3003 scale = 0.1 + 0.9 * progress
3004 Xp = factor * scale * E * np.sin(phi_p) * np.cos(theta_p)
3005 Yp = factor * scale * E * np.sin(phi_p) * np.sin(theta_p)
3006 Zp = factor * E * np.cos(phi_p) + altura_z
3007
3008 return E, Xp, Yp, Zp
3009
3010 def run_simulation(self):
3011     """Ejecuta la simulacin esttica (similar a ventana.py)"""
3012     try:
3013         params = self.get_simulation_parameters()
3014
3015         # Obtener parmetros necesarios
3016         Q = params['Q']
3017         V = params['V']
3018         I = params['I']
3019         opcion = params['opcion']
3020         valordeflujo = params['valordeflujo']
3021         alpha = params['alpha']
3022         valordecircunferencia = params['valordecircunferencia']
3023         opcion_circunferencia = params['opcion_circunferencia']
3024         vueltas = params['vueltas']
3025         potenciovalor = params['potenciovalor']
3026         n = params['n']
3027         factor = params['factor']
3028
3029         # Funciones auxiliares
3030         def flujo(opcion):
3031             if opcion == 1:
3032                 return 1e-11
3033             elif opcion == 2:
3034                 return 1e-9
3035             elif opcion == 3:
3036                 return 1e-7
3037             elif opcion == 4:
3038                 return 1e-5
3039
3040         def ordenc(opcion_circunferencia):
3041             if opcion_circunferencia == 1:
3042                 return .1
3043             elif opcion_circunferencia == 2:
3044                 return 1
3045             elif opcion_circunferencia == 3:
3046                 return 10
3047             elif opcion_circunferencia == 4:
3048                 return 100
3049
3050         # Clculos
3051         Flujo = valordeflujo * flujo(opcion)
3052         capacitancia = Q / V
3053         inductancia = Flujo / I
3054         C = valordecircunferencia * ordenc(opcion_circunferencia)
3055         R = C / (2 * np.pi)
3056         S = C * np.tan(alpha * np.pi / 180)
3057         L = np.sqrt((C**2) + (S**2))
3058         hmax = vueltas * S
3059
3060         # Potencimetro
3061         Impedanciaminima = (2*np.pi * 3e8)**2 * (Q * Flujo) / ((C/.75)**2)
3062         Impedanciamaxima = (2*np.pi * 3e8)**2 * (Q * Flujo) / ((C/1.25)**2)
3063         impedancia_ajustada = Impedanciaminima + potenciovalor * (Impedanciamaxima - Impedanciaminima)
3064         corriente_ajustada = V / impedancia_ajustada
3065         inductancia_ajustada = Flujo / corriente_ajustada
3066         frecuencia_ajustada = 1 / (2 * np.pi * np.sqrt(inductancia_ajustada * capacitancia))
3067         longitud_onda_ajustada = 3e8 / frecuencia_ajustada
3068         S_lambda_ajustada = S / longitud_onda_ajustada
3069
3070         # Trayectoria
3071         theta = np.linspace(0, vueltas * 2 * np.pi, n)
3072         z = (S / (2 * np.pi)) * theta
3073         x = R * np.cos(theta)

```

```

3074     y = R * np.sin(theta)
3075
3076     # Superficie de la helicoida
3077     theta_surf = np.linspace(0, vueltas * 2 * np.pi, 50)
3078     r_surf = np.linspace(0, R, 50)
3079     theta_surf, r_surf = np.meshgrid(theta_surf, r_surf)
3080     x_surf = r_surf * np.cos(theta_surf)
3081     y_surf = r_surf * np.sin(theta_surf)
3082     z_surf = (hmax / (vueltas * 2 * np.pi)) * theta_surf
3083
3084     self.clear_plot()
3085
3086     self.ax.plot(x, y, z, color='black', linewidth=3, alpha=0.7, label='Trayectoria')
3087
3088     # Dibujar punto inicial y final
3089     self.ax.scatter(x[0], y[0], z[0], c='green', s=100, edgecolors='black', linewidth=2, label='Inicio')
3090     self.ax.scatter(x[-1], y[-1], z[-1], c='red', s=100, edgecolors='black', linewidth=2, label='Fin')
3091
3092     # Calcular y dibujar patrón de radiación en posición media
3093     mid_idx = n // 2
3094     U, Xp, Yp, Zp = self.power_pattern(z[mid_idx], 0.5, params)
3095     self.ax.plot_surface(
3096         Xp, Yp, Zp,
3097         facecolors=plt.cm.plasma(U),
3098         alpha=0.6,
3099         rstride=1, cstride=1
3100     )
3101
3102     # Configurar límites
3103     max_range = max(R * 1.2, hmax/2)
3104     self.ax.set_xlim(-max_range, max_range)
3105     self.ax.set_ylim(-max_range, max_range)
3106     self.ax.set_zlim(0, hmax * 1.1)
3107
3108     # Actualizar título
3109     self.ax.set_title(f"Simulación Estática - Antena Helicoidal\nVueltas: {vueltas}, Frecuencia: {frecuencia_ajustada/1e6:.2f} MHz",
3110                     fontsize=14, fontweight='bold')
3111
3112     # Añadir leyenda
3113     self.ax.legend(loc='upper right', fontsize=10)
3114
3115     # Mostrar parámetros en el gráfico
3116     info_text = f"R = {R:.2f}m\nS = {S:.2f}m\nhmax = {hmax:.2f}m\nf = {frecuencia_ajustada/1e6:.2f} MHz\nS / = {S_lambda_ajustada:.3f}"
3117     self.ax.text2D(0.02, 0.98, info_text, transform=self.ax.transAxes,
3118                  fontsize=10, verticalalignment='top',
3119                  bbox=dict(boxstyle='round', facecolor='wheat', alpha=0.8))
3120
3121     self.canvas.draw()
3122
3123     except Exception as e:
3124         self.show_error_message(f"Error en simulación: {str(e)}")
3125
3126     def calculate_parameters(self):
3127         """Calcula y muestra los parámetros de la antena"""
3128         try:
3129             params = self.get_simulation_parameters()
3130
3131             # Extraer parámetros
3132             V = params['V']
3133             I = params['I']
3134             opcion = params['opcion']
3135             valordeflujo = params['valordeflujo']
3136             alpha = params['alpha']
3137             valordecircunferencia = params['valordecircunferencia']
3138             opcion_circunferencia = params['opcion_circunferencia']
3139             vueltas = params['vueltas']
3140             Q = params['Q']
3141
3142             # Funciones auxiliares
3143             def flujo(opcion):
3144                 if opcion == 1:
3145                     return 1e-11
3146                 elif opcion == 2:
3147                     return 1e-9
3148                 elif opcion == 3:
3149                     return 1e-7
3150                 elif opcion == 4:
3151                     return 1e-5
3152
3153             def ordenc(opcion_circunferencia):
3154                 if opcion_circunferencia == 1:
3155                     return .1
3156                 elif opcion_circunferencia == 2:
3157                     return 1
3158                 elif opcion_circunferencia == 3:
3159                     return 10
3160                 elif opcion_circunferencia == 4:

```

```

3161         return 100
3162
3163     # Clculos
3164     Impedancia = V / I
3165     Flujo = valordeflujo * flujo(opcion)
3166     capacitancia = Q / V
3167     inductancia = Flujo / I
3168     C = valordecircunferencia * ordenc(opcion_circunferencia)
3169     R = C / (2 * np.pi)
3170     S = C * np.tan(alpha * np.pi / 180)
3171     L = np.sqrt((C**2) + (S**2))
3172     hmax = vueltas * S
3173
3174     # Frecuencia y longitud de onda
3175     frecuencia_antena = 1 / (2 * np.pi * np.sqrt(inductancia * capacitancia))
3176     longitud_onda = 3e8 / frecuencia_antena
3177
3178     # Potencimetro
3179     Impedanciaminima = (2*np.pi * 3e8)**2 * (Q * Flujo) / ((C/.75)**2)
3180     Impedanciamaxima = (2*np.pi * 3e8)**2 * (Q * Flujo) / ((C/1.25)**2)
3181     impedancia_ajustada = Impedanciaminima + params['potencimetro_valor'] * (Impedanciamaxima - Impedanciaminima)
3182     corriente_ajustada = V / impedancia_ajustada
3183
3184     # Parmetros ajustados
3185     inductancia_ajustada = Flujo / corriente_ajustada
3186     frecuencia_ajustada = 1 / (2 * np.pi * np.sqrt(inductancia_ajustada * capacitancia))
3187     longitud_onda_ajustada = 3e8 / frecuencia_ajustada
3188     S_lambda_ajustada = S / longitud_onda_ajustada
3189     C_lambda_ajustada = C / longitud_onda_ajustada
3190
3191     # Mostrar resultados
3192     result_text = f"""
3193     PARAMETROS CALCULADOS:
3194
3195     Impedancia: {Impedancia:.2f}
3196     Flujo: {Flujo:.2e} Wb
3197     Capacitancia: {capacitancia:.2e} F
3198     Inductancia: {inductancia:.2e} H
3199
3200     Geometra:
3201     Radio (R): {R:.3f} m
3202     Paso (S): {S:.3f} m
3203     Circunferencia (C): {C:.3f} m
3204     Altura total: {hmax:.3f} m
3205
3206     Frecuencia original: {frecuencia_antena/1e6:.2f} MHz
3207     Longitud de onda original: {longitud_onda:.2f} m
3208
3209     Con potencimetro:
3210     Impedancia ajustada: {impedancia_ajustada:.2f}
3211     Corriente ajustada: {corriente_ajustada:.3f} A
3212     Frecuencia ajustada: {frecuencia_ajustada/1e6:.2f} MHz
3213     ajustada: {longitud_onda_ajustada:.2f} m
3214     S/: {S_lambda_ajustada:.3f}
3215     C/: {C_lambda_ajustada:.3f}
3216     """
3217
3218     QMessageBox.information(self, "Parmetros Calculados", result_text)
3219
3220     # Actualizar grafico con geometra bsica
3221     self.clear_plot()
3222
3223     # Trayectoria bsica
3224     theta = np.linspace(0, vueltas * 2 * np.pi, 200)
3225     z = (S / (2 * np.pi)) * theta
3226     x = R * np.cos(theta)
3227     y = R * np.sin(theta)
3228
3229     # Dibujar helicoida
3230     self.ax.plot(x, y, z, color='black', linewidth=2, alpha=0.7, label='Helicoida')
3231
3232     # Configurar lmites
3233     max_range = max(R * 1.5, hmax/2)
3234     self.ax.set_xlim([-max_range, max_range])
3235     self.ax.set_ylim([-max_range, max_range])
3236     self.ax.set_zlim([0, hmax * 1.2])
3237
3238     self.ax.set_title(f"Antena Helicoida - {vueltas} vueltas\nRadio: {R:.2f}m, Altura: {hmax:.2f}m",
3239                     fontsize=14, fontweight='bold')
3240     self.ax.legend()
3241     self.canvas.draw()
3242
3243     except Exception as e:
3244         self.show_error_message(f"Error en clculo: {str(e)}")
3245
3246     def generate_animation(self):
3247         """Genera la animacin en un hilo separado"""
3248         try:

```

```

3249         params = self.get_simulation_parameters()
3250
3251         # Deshabilitar botones durante la animación
3252         self.animate_btn.setEnabled(False)
3253         self.calc_btn.setEnabled(False)
3254         self.simulate_btn.setEnabled(False)
3255         self.animate_btn.setText("Generando...")
3256
3257         # Mostrar barra de progreso
3258         self.progress_bar.setVisible(True)
3259         self.progress_bar.setValue(0)
3260
3261         # Crear y ejecutar hilo de animación
3262         self.animation_thread = AnimationThreadV4(params)
3263         self.animation_thread.finished.connect(self.animation_finished)
3264         self.animation_thread.error.connect(self.animation_error)
3265         self.animation_thread.progress.connect(self.update_progress)
3266         self.animation_thread.start()
3267
3268     except Exception as e:
3269         self.show_error_message(f"Error al iniciar animación: {str(e)}")
3270
3271     def update_progress(self, value):
3272         """Actualiza la barra de progreso"""
3273         self.progress_bar.setValue(value)
3274
3275     def animation_finished(self, save_path):
3276         """Se llama cuando la animación termina exitosamente"""
3277         self.animate_btn.setEnabled(True)
3278         self.calc_btn.setEnabled(True)
3279         self.simulate_btn.setEnabled(True)
3280         self.animate_btn.setText("Generar Animación")
3281         self.progress_bar.setVisible(False)
3282
3283         QMessageBox.information(self, "Animación Completada",
3284                                 f"Animación guardada como:\n{save_path}")
3285
3286     def animation_error(self, error_msg):
3287         """Se llama cuando hay un error en la animación"""
3288         self.animate_btn.setEnabled(True)
3289         self.calc_btn.setEnabled(True)
3290         self.simulate_btn.setEnabled(True)
3291         self.animate_btn.setText("Generar Animación")
3292         self.progress_bar.setVisible(False)
3293
3294         self.show_error_message(f"Error en animación: {error_msg}")
3295
3296     def clear_plot(self):
3297         """Limpia el gráfico"""
3298         self.ax.clear()
3299         self.ax.set_xlabel("X", fontsize=14, fontweight='bold')
3300         self.ax.set_ylabel("Y", fontsize=14, fontweight='bold')
3301         self.ax.set_zlabel("Z", fontsize=14, fontweight='bold')
3302         self.ax.set_title("Simulador de Antena Helicóide RLC", fontsize=16, fontweight='bold', pad=20)
3303         self.ax.tick_params(axis='both', which='major', labelsize=11)
3304         self.canvas.draw()
3305
3306     def show_error_message(self, message):
3307         """Muestra un mensaje de error"""
3308         QMessageBox.critical(self, "Error", message)
3309
3310 if __name__ == "__main__":
3311     app = QApplication(sys.argv)
3312     app.setStyle('Fusion')
3313     main_window = MainWindow()
3314     main_window.show()
3315
3316     sys.exit(app.exec_())

```